

การผลิตโมโนอีซิลกอลีเชอรอลจากการกลีเซอโรไลซีสของน้ำมันปาล์ม  
โดยเอนไซม์ไอลิปเสเตริงรูป

Production of Monoacylglycerol from Glycerolysis of Palm Oil  
by Immobilized Lipase

โสภา พรมดวง

Sopa Prumduang

เลขที่	8K898.E58 ๘๙๘ ๘๘๙	๘.๒
Order Key	28819	
Bib Key	177593	
	10 ๐.๐. ๒๕๔๓	/

วิทยานิพนธ์วิทยาศาสตร์มหาบัณฑิต สาขาวิชาเทคโนโลยีชีวภาพ  
มหาวิทยาลัยสงขลานครินทร์

Master of Science Thesis in Biotechnology

Prince of Songkla University

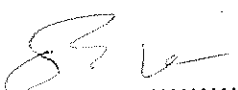
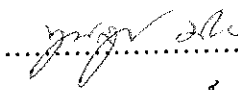
2543

(1)

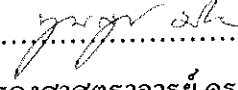
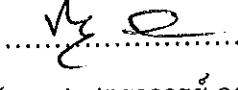
ชื่อวิทยานิพนธ์	การผลิตโน้มโน尉เชิงกลีเซอรอลจากกระบวนการกลีเซอโรไลซีสของน้ำมันปาล์ม
ผู้เขียน	โดยเอ็นไซม์ไอลีปสตเริงรูป
สาขาวิชา	นางสาว索ภา พรมดวง เทคโนโลยีชีวภาพ

---

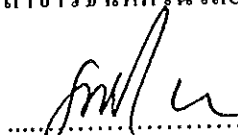
คณะกรรมการที่ปรึกษา

.....ประธานกรรมการ  
(ผู้ช่วยศาสตราจารย์ ดร. อรุณ หันพงศ์กิตติกุล)  
  
.....กรรมการ  
(รองศาสตราจารย์ ดร. พุณสุข ประเสริฐสารพ)

คณะกรรมการสอบ

.....ประธานกรรมการ  
(ผู้ช่วยศาสตราจารย์ ดร. อรุณ หันพงศ์กิตติกุล)  
  
.....กรรมการ  
(รองศาสตราจารย์ ดร. พุณสุข ประเสริฐสารพ)  
  
.....กรรมการ  
(รองศาสตราจารย์ ดร. ประเสริฐ สันตินาภิค)

บัณฑิตวิทยาลัย มหาวิทยาลัยสงขลานครินทร์ อนุมัติให้นับวิทยานิพนธ์ฉบับนี้เป็นส่วนหนึ่ง  
ของการศึกษา ตามหลักสูตรวิทยาศาสตรมหาบัณฑิต สาขาวิชาเทคโนโลยีชีวภาพ

.....  
(รองศาสตราจารย์ ดร. นพรัตน์ บำรุงรักษ์)

คณบดีบัณฑิตวิทยาลัย

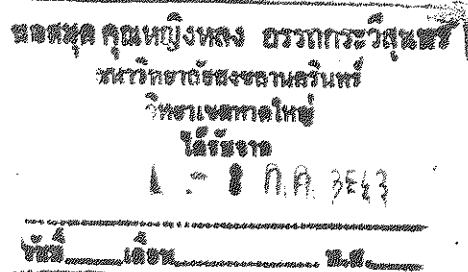
ชื่อวิทยานิพนธ์	การผลิตโมโนเอชิลกลีเซอรอลจากการถ่ายเชื้อโรไอลซีสของน้ำมันปาล์มโดยเอนไซม์ไอลペสต์รีงรูป
ผู้เขียน	นางสาว索ภา พรมวงศ์
สาขาวิชา	เทคโนโลยีชีวภาพ
ปีการศึกษา	2542

### บทคัดย่อ

การคัดเดือกเอนไซม์ไอลペส (*triacylglycerol hydrolases : E.C. 3.1.1.3*) ทางการค้า 5 ชนิด คือ ไอลペส LP (*Chromobacterium viscosum*), ไอล佩ส M (*Mucor javanicus*), ไอลเปส PS (*Pseudomonas sp.*), ไอลเปส AK (*Pseudomonas fluorescens*) และ ไอลเปส D (*Rhizopus delemar*) เพื่อผลิตโมโนเอชิลกลีเซอรอลจากบัญชีกริยาถ่ายเชื้อโรไอลซีสของน้ำมันปาล์ม พนว่าเอนไซม์ไอลเปส LP มีกิจกรรมจำเพาะการย่อยสลายน้ำมันปาล์มสูงสุด (233.0 ยูนิตต่อมิลลิกรัม โปรตีน) เมื่อนำเอนไซม์นี้ไปใช้ในบัญชีกริยาถ่ายเชื้อโรไอลซีส เกิดโมโนเอชิลกลีเซอรอลสูงสุด 70 เปอร์เซ็นต์ ที่อุณหภูมิ 30 องศาเซลเซียส เป็นเวลา 72 ชั่วโมง เอนไซม์ไอลเปส LP มีพีเอชและอุณหภูมิที่เหมาะสมต่อ กิจกรรมการย่อยสลายน้ำมันปาล์มเท่ากับ 6.5 และ 55 องศาเซลเซียส เมื่อตรึงเอนไซม์ไอลเปส LP ด้วยวิธีดูดซับบนตัวพยุง 6 ชนิด คือ แคลเซียมคาร์บอเนต แคลเซียมซัลเฟต แคลเซียมไฟฟอฟอสเฟต ซีไฮท์ ซิลิกาเจล และแอคคูเรล พนว่าเอนไซม์ไอลเปส LP ที่ตรึงบนซีไฮท์และแอคคูเรล มีกิจกรรมเอนไซม์หลังการยึดเกาะสูงสุด คือ 82.81 เปอร์เซ็นต์ และ 80.28 เปอร์เซ็นต์ ตามลำดับ เมื่อนำเอนไซม์ไอลเปส LP ที่ตรึงบนตัวพยุงชนิดต่างๆ มาใช้ในบัญชีกริยาถ่ายเชื้อโรไอลซีสของน้ำมันปาล์ม พนว่าเอนไซม์ไอลเปส LP ตรึงบนซีไฮท์ และแอคคูเรลให้ปริมาณโมโนเอชิลกลีเซอรอลสูงสุดเป็น 28.6 และ 27.5 เปอร์เซ็นต์ ตามลำดับ ที่อุณหภูมิ 30 องศาเซลเซียส เป็นเวลา 72 ชั่วโมง สภาวะที่เหมาะสมต่อการตรึงเอนไซม์ไอลเปส LP บนซีไฮท์ คือ ความเข้มข้นของเอนไซม์ 2.5 มิลลิกรัมต่อมิลลิลิตร ซีไฮท์ 2.0 กรัม อุณหภูมิ 4-30 องศาเซลเซียส และระยะเวลาในการตรึง 1 ชั่วโมง ภายใต้สภาวะที่เหมาะสมต่อการตรึงเอนไซม์ พนว่าเอนไซม์ไอลเปส LP ที่ตรึงได้มีกิจกรรมเอนไซม์ที่เหมาะสมต่อการตรึงเอนไซม์

ผลการยึดเกาะบนตัวพยุง 95.05 เปอร์เซ็นต์ โดยมีกิจกรรมของเอนไซม์ที่ถูกตรึงเท่ากับ 0.60 ยูนิตต่อมิลลิกรัมตัวพยุง

สภาวะที่เหมาะสมต่อการผลิตโนโนเอชิกลีเชอรอลจากน้ำมันปาล์มโดยเอนไซม์ไลප์ LP ตรีรงรูป คือ ปริมาณของเอนไซม์ 15 ยูนิต สัดส่วนไมลของกลีเชอรอลต่อน้ำมันปาล์มเท่ากับ 3.7 ปริมาณน้ำในกลีเชอรอล 8 เปอร์เซ็นต์ อุณหภูมิ 40 องศาเซลเซียส เป็นเวลา 24 ชั่วโมง แล้วตามด้วยอุณหภูมิ 30 องศาเซลเซียส เป็นเวลา 72 ชั่วโมง เกิดโนโนเอชิกลีเชอรอลสูงสุด 80 เปอร์เซ็นต์ เมื่อนำเอนไซม์ไลป์ LP ตรีรงรูปมาใช้เป็นครั้งที่ 3 ได้โนโนเอชิกลีเชอรอลต่ำสุด 28 เปอร์เซ็นต์ และคงเหลือกิจกรรมการย่อยสลายน้ำมันปาล์ม 0.18 ยูนิตต่อมิลลิกรัมตัวพยุง



Thesis Title                    Production of Monoacylglycerol from Glycerolysis of Palm Oil  
                                  by Immobilized Lipase

Author                         Miss Sopa Prumduang

Major Program               Biotechnology

Academic Year              1999

### **Abstract**

Five commercial lipases (triacylglycerol hydrolases : E.C. 3.1.1.3) of lipase LP (*Chromobacterium viscosum*), lipase M (*Mucor javanicus*), lipase PS (*Pseudomonas* sp.), lipase AK (*Pseudomonas fluorescens*) and lipase D (*Rhizopus delemar*) were used for monoacylglycerol production from glycerolysis of palm oil. Lipase LP had the highest specific activity of 233.0 units/mg protein. When this lipase was used in the glycerolysis reaction, it provided the highest yield of 70% monoacylglycerol at 30 °C after 72 hours. Lipase LP had the optimum temperature and pH for hydrolytic activity of palm oil at 55 °C and 6.5 respectively. Immobilization of lipase by physical adsorption on calcium carbonate, calcium sulphate, calcium pyrophosphate, celite, silica gel and accurel showed that the enzyme immobilized on celite and accurel had the highest binding activity of 82.81 and 80.28% respectively. When lipase LP adsorbed on various supports was used for glycerolysis reaction of palm oil, celite and accurel were the best support with the highest glycerolytic activity of 28.6 and 27.5 % respectively at 30 °C after 72 hours. The optimal immobilized conditions were 2.5 mg/ml of enzyme concentration, 4-30 °C, 1 hour of immobilized time. Under these conditions, the immobilized enzyme retained 95.05% of its original activity and 0.60 units/mg celite.

Optimal conditions for glycerolysis reaction of palm oil by immobilized lipase LP were observed in a reaction mixture containing 15 units of immobilized enzyme, 3.7 molar ratio of glycerol to palm oil and 8% water content in glycerol at 40 °C for 24 hours and followed by 30 °C for 72 hours. The highest monoacylglycerol production was 80%. Reusability of immobilized enzyme was 3 times for glycerolysis reaction of palm oil and produced less than 28% monoacylglycerol. The immobilized lipase had hydrolytic activity of 0.18 units/mg celite.

## กิตติกรรมประกาศ

ขอขอบพระคุณ ผู้ช่วยศาสตราจารย์ ดร. อรัญ หันพงศ์กิตติฤทธิ์ ประธานกรรมการที่ปรึกษาที่ปรึกษาให้คำปรึกษา คำแนะนำ ตลอดการทำวิจัยการค้นคว้าและการเขียนวิทยานิพนธ์ฉบับนี้ ขอขอบพระคุณ รองศาสตราจารย์ ดร. พุนสุข ประเสริฐบรรพ์ กรรมการที่ปรึกษาร่วมที่ให้คำแนะนำต่างๆ ในการทำวิจัยและทำการทดลองแก่ไขวิทยานิพนธ์ ขอขอบพระคุณ รองศาสตราจารย์ ดร. ประเสริฐ สันตินาโนเลิศ กรรมการผู้แทนคณะอุตสาหกรรมเกษตร และดร. รพีพร โสตถิพันธุ์ กรรมการผู้แทนบัณฑิตวิทยาลัย ที่กรุณาให้คำแนะนำและตรวจสอบแก่ไขวิทยานิพนธ์ให้ถูกต้องและสมบูรณ์ยิ่งขึ้น

ขอขอบคุณ สำนักงานพัฒนาวิทยาศาสตร์และเทคโนโลยีแห่งชาติ ที่ให้ทุนอุดหนุน การศึกษาและวิจัย ขอขอบคุณ บัณฑิตวิทยาลัย มหาวิทยาลัยสงขลานครินทร์ ที่ให้ทุนอุดหนุนการวิจัย

ขอกราบขอบพระคุณ คุณพ่อ คุณแม่ และพี่ ที่ให้กำลังใจและกำลังทรัพย์ในการศึกษามาโดยตลอด ขอขอบพระคุณพี่ๆ น้องๆ เพื่อนๆ และเจ้าหน้าที่คณะอุตสาหกรรมเกษตร ตลอดจนทุกท่านที่มิได้กล่าวมา ณ ที่นี่ด้วย ที่มีส่วนช่วยเป็นกำลังใจในการทำวิจัย และให้คำแนะนำให้วิทยานิพนธ์ฉบับนี้สำเร็จสมบูรณ์ด้วยดี

ไสว พรมดวง

## สารบัญ

	หน้า
บทคัดย่อ	(3)
Abstract	(5)
กิตติกรรมประกาศ	(7)
สารบัญ	(8)
รายการตาราง	(10)
รายการภาพประกอบ	(11)
คำย่อ	(13)
บทที่	
1. บทนำ	1
บทนำต้นเรื่อง	1
ตรวจเอกสาร	2
วัตถุประสงค์	42
2. วัสดุ อุปกรณ์ และวิธีการ	43
วัสดุ	43
อุปกรณ์	44
วิธีการวิเคราะห์	44
วิธีการศึกษา	47
3. ผลและวิจารณ์	53
4. สรุป	83
เอกสารอ้างอิง	85
ภาคผนวก	93
ภาคผนวก ก วิธีการวิเคราะห์	93
ภาคผนวก ข การเตรียมสารเคมี	103

สารบัญ (ต่อ)

หน้า

ประวัติผู้เขียน

107

(9)

## รายการตาราง

ตารางที่	หน้า
1. คุณลักษณะทางเคมีและฟิสิกส์ของน้ำมันปาล์ม	3
2. การจำแนกชนิดของการเรียงตัวของกรดไขมันในโครงสร้างไตรเอชีล กelite เชอรอลของน้ำมันปาล์มตามคุณสมบัติความอิ่มตัว	5
3. ปริมาณและคุณสมบัติของกรดไขมันในน้ำมันปาล์มโอลีวิน	7
4. ตัวอย่างเอนไซม์ไอลเปสที่ผลิตทางการค้า	12
5. การแบ่งกลุ่มเอนไซม์ไอลเปสทางการค้า	14
6. ตัวอย่างการตรวจเอนไซม์ไอลเปสเพื่อเร่งปฏิกิริยาการย่อยสลายน้ำมัน และไขมัน	25
7. การสังเคราะห์โนโนเอชีลกelite เชอรอล โดยปฏิกิริยาเอสเทอราฟิเคลชัน	33
8. เอนไซม์ไอลเปสที่ใช้ในปฏิกิริยา กelite เชอรอล ของน้ำมันและไขมัน	35
9. คิจกรรมการย่อยสลายน้ำมันปาล์มในระบบ two-phase emulsion system ของไอลเปสชนิดต่างๆ	54
10. ปริมาณสารประกอบต่างๆ ในปฏิกิริยา กelite เชอรอล ไอลซีสของน้ำมันปาล์ม ที่อุณหภูมิ 30 องศาเซลเซียส โดยใช้เอนไซม์ไอลเปส 5 ชนิด	55
11. การตรวจเอนไซม์ไอลเปส LP จากเชื้อ <i>Chromobacterium viscosum</i> บนตัวพยุงชนิดต่างๆ	63
12. ผลของความเข้มข้นของเอนไซม์ไอลเปส LP จากเชื้อ <i>Chromobacterium viscosum</i> ต่อการตรวจเอนไซม์กับชีไลท์	66
13. การตรวจเอนไซม์ไอลเปส LP บนชีไลท์ที่อุณหภูมิต่างๆ	67
14. ผลของระยะเวลาต่อการตรวจเอนไซม์ไอลเปส LP บนชีไลท์	69
15. ผลของสัดส่วนกelite เชอรอลต่อน้ำมันปาล์มในการผลิตโนโนเอชีลกelite- เชอรอล โดยเอนไซม์ไอลเปสทรงรูป	72
16. การนำเอนไซม์ไอลเปสทรงรูปกลับมาใช้ใหม่	82

## รายการภาพประกอบ

ภาพที่	หน้า
1. โครงสร้างของเอชิลกีเซอรอล	4
2. แนวทางการใช้ประโยชน์ของน้ำมันปาล์มและน้ำมันจากเม็ดปาล์ม	9
3. การเร่งปฏิกิริยาต่างๆ ของเอนไซม์ไลเปส	16
4. การจำแนกวิธีการตรึงเอนไซม์	24
5. การผลิตโมโนเอชิลกีเซอรอลโดยใช้เอนไซม์ไลเปส	30
6. ผลของอุณหภูมิ (A) และพีเอช (B) ต่อการย่อยสลายน้ำมันปาล์มของเอนไซม์ไลเปส LP จากเชื้อ <i>Chromobacterium viscosum</i>	57
7. แสดงความคงตัวต่ออุณหภูมิของเอนไซม์ไลเปส LP จากเชื้อ <i>Chromobacterium viscosum</i>	59
8. ความคงตัวต่อพีเอชของเอนไซม์ไลเปส LP จากเชื้อ <i>Chromobacterium viscosum</i> ที่อุณหภูมิ 55 องศาเซลเซียส	60
9. ความคงตัวต่อพีเอชของเอนไซม์ไลเปส LP จากเชื้อ <i>Chromobacterium viscosum</i> ที่อุณหภูมิ 30 องศาเซลเซียส	61
10. การผลิตโมโนเอชิลกีเซอรอลจากการกลีเซอโรไลซีตันน้ำมันปาล์ม โดยเอนไซม์ไลเปส LP ที่ถูกตรึงบนตัวพยุงชนิดต่างๆ	64
11. ผลของปริมาณเอนไซม์ LP ต่อการผลิตโมโนเอชิลกีเซอรอล	71
12. ผลของปริมาณน้ำในกลีเซอรอลต่อการผลิตโมโนเอชิลกีเซอรอลจากน้ำมันปาล์ม โดยเอนไซม์ไลเปส LP ตรึงรูป	74
13. ผลของอุณหภูมิต่อการผลิตโมโนเอชิลกีเซอรอลจากน้ำมันปาล์ม โดยเอนไซม์ไลเปส LP ตรึงรูป	76
14. สารประกอบต่างๆ ที่เกิดจากปฏิกิริยากลีเซอโรไลซีตันน้ำมันปาล์ม โดยเอนไซม์ไลเปส LP ตรึงรูป ที่อุณหภูมิ 40 องศาเซลเซียส เป็นเวลา 72 ชั่วโมง	77

## รายการภาพประกอบ (ต่อ)

ภาพที่	หน้า
15. ผลของระยะเวลาการบ่มต่อการผลิตโนโนเอชิกลีเชอรอลจากน้ำมันปาล์มโดยอ่อนไชม์ไลเปส LP ตรึงรูป อุณหภูมireิ่มต้น 40 องศาเซลเซียส เป็นเวลา 6, 12, 24 และ 48 ชั่วโมงแล้วลดอุณหภูมิ เป็น 30 องศาเซลเซียส (A) และ 25 องศาเซลเซียส (B) จนครบเวลา 120 ชั่วโมง	79
16. ผลของระยะเวลาการบ่มต่อการผลิตโนโนเอชิกลีเชอรอลจากน้ำมันปาล์มโดยอ่อนไชม์ไลเปส LP ตรึงรูป อุณหภูมireิ่มต้น 40 องศาเซลเซียส เป็นเวลา 6, 12, 24 และ 48 ชั่วโมง และลดอุณหภูมิ เป็น 10 องศาเซลเซียส (A) และ 5 องศาเซลเซียส (B) จนครบเวลา 120 ชั่วโมง	80
ภาพภาคผนวก ก1	95
ภาพภาคผนวก ก2	97
ภาพภาคผนวก ก3	101

## កំយ៉ា

AOT-RM	= sodium bis (2-ethylhexyl) sulphosuccinate reverse micelles
DAG	= diacylglycerol
DHA	= docohexaenoic acid
EPA	= eicosapentaenoic acid
FFA	= free fatty acid
MAG	= monoacylglycerol
MCT	= medium-chain triglycerides
PEG	= polyethylene glycol
PVC	= polyvinylchloride
SME	= sulphonated methyl ester
TAG	= triacylglycerol

## บทที่ 1

### บทนำ

#### บทนำต้นเรื่อง

ปาล์มน้ำมันเป็นพืชเศรษฐกิจที่สำคัญอย่างหนึ่งของประเทศไทย มีการปลูกกันมากในพื้นที่ภาคใต้ของประเทศไทย อย่างไรก็ตามอุตสาหกรรมปาล์มน้ำมันก็ยังประสบกับการไม่มีเสถียรภาพในส่วนของคุณภาพและราคา เนื่องจากรูปแบบการใช้ประโยชน์จากน้ำมันปาล์มภายในประเทศโดยส่วนใหญ่ใช้เพื่อการประกอบอาหารเพียงอย่างเดียว แต่ในปัจจุบันน้ำมันปาล์มสามารถนำไปแปรรูปเป็นผลิตภัณฑ์ใหม่ที่มีมูลค่าเพิ่ม โดยการใช้เทคโนโลยีทางด้านโอลิโอดิเคมี (oleochemistry) เช่น กรดไขมัน เมทิลเอสเตอร์ แฟตต์แอลกอฮอล์ แฟตต์อเมิน โนโนเอซิลก็อเชอรอลและกลีเชอรอล เป็นต้น ซึ่งจำเป็นต้องใช้เป็นส่วนประกอบในการผลิตในอุตสาหกรรมต่างๆ อีกหลายประเภท เช่น อุตสาหกรรมสิ่งทอ ยางรถยนต์ พลาสติก ยาและเครื่องสำอาง ผงซักฟอกและกระดาษ เป็นต้น อุตสาหกรรมต่อเนื่องเหล่านี้กำลังอยู่ในภาวะการขยายตัว ทำให้ผู้ประกอบการอุตสาหกรรมดังกล่าวมีการนำเข้าเคมีภัณฑ์เหล่านี้เป็นจำนวนมาก ทั้งๆ ที่ประเทศไทยมีศักยภาพที่จะผลิตได้ปีหนึ่งๆ ไม่ต่ำกว่า 100 ล้านบาท (เกิดชัย วิรุพานิช, 2533) จึงนับว่าเป็นโอกาสหรือช่องทางใหม่ที่น่าสนใจในการผลิตสินค้าเพิ่มมูลค่าจากน้ำมันปาล์ม อีกทั้งยังจะมีส่วนช่วยเกือบหนุนให้อุตสาหกรรมปาล์มน้ำมันมีเสถียรภาพดีขึ้นด้วย

การผลิตโนโนเอซิลก็อเชอรอลซึ่งใช้เป็นสารลดแรงตึงผิวในอุตสาหกรรมอาหาร และใช้เป็นอิมัลซิไฟเออร์ในอุตสาหกรรมยา เครื่องสำอาง เป็นต้น ได้จากการสังเคราะห์โดยกระบวนการทางเคมีจากการกลีเชอโรไลซิสของน้ำมันและไขมัน ซึ่งต้องใช้อุณหภูมิและความดันสูง ( $200-250^{\circ}\text{C}$ ) ผลิตภัณฑ์ที่ได้จึงมีสีเข้มและคุณภาพไม่ดี เกิดสีและกลิ่นอันไม่พึงประสงค์ จึงต้องเพิ่มขั้นตอนการแยกและทำให้บริสุทธิ์อีกครั้งหนึ่ง ทำให้สีเปลี่ยนไปตามพลังงาน และปฏิกริยาไม่มีความจำเพาะเจาะจง ส่งผลให้ปริมาณผลผลิตและคุณภาพของผลิตภัณฑ์ต่ำ การใช้ออนไซด์ไอลเปสในการผลิตโนโนเอซิลก็

เชอรอลจากการกลีเซอโร ไอลีส์ของน้ำมันและไขมัน ปัจจุบันได้รับความสนใจและศึกษา กันอย่างกว้างขวาง เพราะวิธีนี้มีข้อได้เปรียบหลายประการ เมื่อเปรียบเทียบกับกรรมวิธีการย่อยสลายโดยใช้วิธีทางเคมี พิสิกส์ คือ เกิดปฏิกิริยาไม่รุนแรงเกิดได้ที่ความดันบรรยายกาศ อุณหภูมิ 30-50 องศาเซลเซียส ใช้ขนาดของถังปฏิกิริย์เล็กกว่า ทำให้ประหยัดพลังงาน ปฏิกิริยามีความจำเพาะเจาะจงสูง เกิดของเสียและวัสดุเหลือทิ้งน้อย แต่อย่างไรก็ตาม การนำเอนไซม์ไปเปลี่ยนใช้ในอุตสาหกรรมเพื่อผลิตทางการค้ายังมีน้อย เนื่องจากข้อจำกัดในเรื่องราคาของเอนไซม์ที่สูง อัตราการเกิดปฏิกิริยาต่ำ และข้อจำกัดในด้านการละลายของน้ำมันในน้ำ ทำให้การควบคุมปฏิกิริยาทำได้ยาก ตลอดระยะเวลา 10 ปีที่ผ่านมาการศึกษาเกี่ยวกับการตรึงรูปเอนไซม์ได้พัฒนาไปมาก เพื่อแก้ปัญหาการใช้เอนไซม์ไปเปลี่ยนสารในการย่อยสลายน้ำมันปาล์ม การศึกษาระดับนี้ จึงมุ่งเน้นที่จะศึกษาวิธีการตรึงเอนไซม์ เนื่องจากเอนไซม์ตึงรูปมีข้อดีคือ การควบคุมปฏิกิริยาทำได้จ่ายกว่าการใช้เอนไซม์อิสระสามารถทำปฏิกิริยาได้ทันทีโดยเพียงแต่แยกเอาเอนไซม์ตึงรูปออกมา มีความคล่องตัวในการผลิตหรือสามารถใช้ได้ทั้งในการผลิตแบบกะหรือแบบต่อเนื่องและสามารถปรับการผลิตให้เหมาะสมได้ตามต้องการ เอนไซม์ตึงรูปมีความคงตัวต่ออุณหภูมิและพิเศษที่เปลี่ยนแปลงได้ดีกว่าเอนไซม์อิสระ นอกจากนี้ยังสามารถนำเอนไซม์กลับมาใช้ใหม่จึงเป็นการลดต้นทุนการผลิตลงได้

## การตรวจสอบสาร

### 1. ปาล์มน้ำมันและน้ำมันปาล์ม

ปาล์มน้ำมัน (*Elaeis guineensis*) เป็นพืชเศรษฐกิจสำคัญของภาคใต้ของชาวยางพารา นิยมปลูกกันมากในจังหวัด กระเบน สุราษฎร์ธานี ชุมพร สตูล และตรัง ผลผลิตของปาล์มน้ำมันจะถูกนำไปแปรรูปเป็นน้ำมันปาล์ม ซึ่งมีแนวโน้มการผลิตสูงขึ้นทุกๆ ปี

กระบวนการสกัดน้ำมันปาล์มในประเทศไทย มี 3 วิธี คือกระบวนการผลิตแบบใช้เอนไซม์เป็นวิธีมาตรฐาน กระบวนการผลิตแบบย่างผลปาล์มหรือหินน้ำมันสม และกระบวนการผลิตแบบทอดผลปาล์ม ซึ่งจะได้น้ำมันปาล์ม 2 ชนิดใหญ่ๆ คือ ถ้าได้จากเนื้อในเมล็ดปาล์ม (palm kernel) เรียกว่า น้ำมันเมล็ดปาล์ม (palm kernel oil) ส่วนที่

ได้จาก mesocarp เรียกว่า น้ำมันปาล์ม (palm oil) เมื่อนำน้ำมันปาล์มไปแยกส่วนและทำให้บริสุทธิ์จะได้ส่วนของของเหลว ที่เรียกว่า น้ำมันปาล์มโอลีอีน (palm olein) ซึ่งเป็นน้ำมันปาล์มที่ใช้กันทั่วไป และได้ส่วนของแข็งที่เรียกว่า ปาล์มสเตียริน (palm stearin)

น้ำมันปาล์มมีส่วนประกอบของกรดไขมันที่แตกต่างกันขึ้นอยู่กับ สายพันธุ์ของปาล์มน้ำมัน พื้นดินบริเวณเพาะปลูกและภูมิอากาศ น้ำมันเมล็ดปาล์มและน้ำมันปาล์มมีคุณสมบัติทางเคมีและฟิสิกส์ต่างกัน เช่น น้ำมันจากเมล็ดปาล์มนี้เปอร์เซ็นต์ของกรดไขมันอิมตัวสูง (78.82%) ในขณะที่น้ำมันปาล์มนี้เปอร์เซ็นต์ของกรดไขมันอิมตัวและไม่อิมตัวในปริมาณที่ใกล้เคียงกันคือ ร้อยละ 48.05 และ 51.95 ตามลำดับ (ตารางที่ 1) จึงนำไปใช้ประโยชน์ที่แตกต่างกัน

ตารางที่ 1 คุณสมบัติทางเคมีและฟิสิกส์ของน้ำมันปาล์ม

	น้ำมันเมล็ดปาล์ม	น้ำมันปาล์ม
Iodine Value	14-20	43-59
Acid Value	20	15
Saponification Value	240-257	195-210
Unsaponification matter (%)	1	1
Colour(Lovibond)*	10Y:1R25	Y:2.5R
Total saturated fatty acid (%)	78.82	48.05
Total unsaturated fatty acid (%)	21.18	51.95

\* :cell, 5 in.

ที่มา : คัดแปลงจากไฟจิตร จันทวงศ์ (2530)

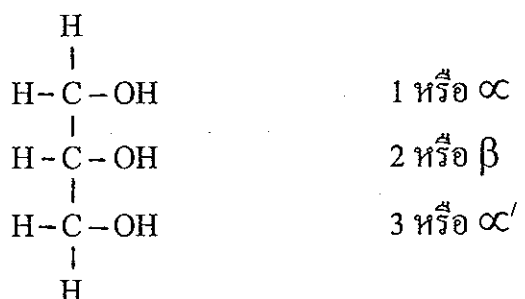
## 2. เอเชิลกเลิเซอรอล

เอเชิลกเลิเซอรอลหรือ ไขมันเป็นกล้าง เป็นอสเทอร์ระหว่างกรดไขมันกับแอลกอฮอล์กเลิเซอรอลดังแสดงในภาพที่ 1 ซึ่งเป็นส่วนประกอบที่สำคัญของเนื้อยื่นพูนได้ทั่วไปในน้ำมันพืชและไขมันสัตว์ เอเชิลกเลิเซอรอลแบ่งออกเป็น ไตรเอเชิลกเลิเซอรอล

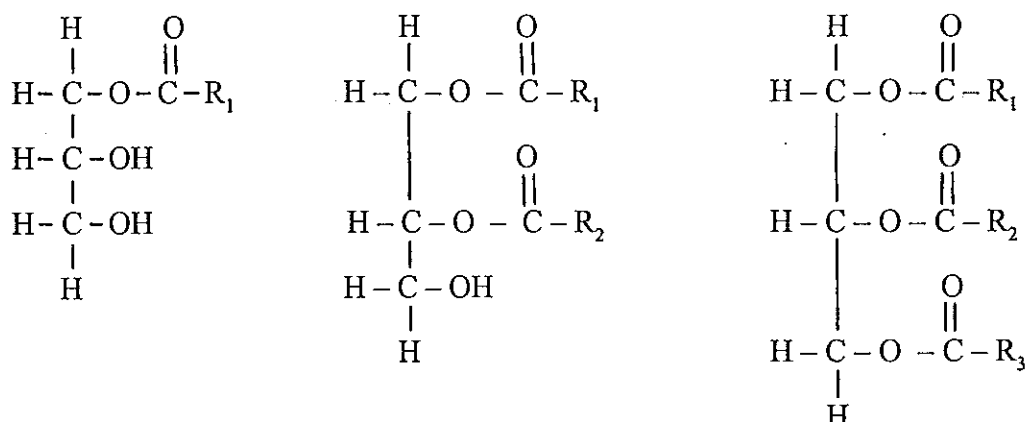
(triacylglycerol, TAG) "ไดเอชิลกีเซอรอล (diacylglycerol, DAG) และโมโนไนเอชิลกีเซอรอล (monoacylglycerol, MAG)

ตำแหน่งการบอนอะตอม

หมู่เอชิด



กลีเซอรอล



1- โมโนไนเอชิลกีเซอรอล

1,2- ไดเอชิลกีเซอรอล

ไตรเอชิลกีเซอรอล

ภาพที่ 1 โครงสร้างของเอชิลกีเซอรอล

ที่มา : อาภัสสรา ชนิดที่ (2537)

## 2.1 ไตรอเชิลกีเซอรออลหรือไตรกลีเซอไรด์

ไตรอเชิลกีเซอรออลหรือไตรกลีเซอไรด์เป็นอเชิลกีเซอรออลที่พบมากที่สุด ประกอบด้วยกรดไขมันที่มีพันธะเอสเตอเรกับหมู่ไขครอกซิลทั้งสามหมู่ของกลีเซอรออล ถ้าเป็นกรดไขมันชนิดเดียวกันเรียกว่าไตรอเชิลกีเซอรออลธรรมชาติ (simple triacylglycerol) เช่น ไตรปาลmitoyl glycerol) แต่โดยทั่วไปจะประกอบด้วย กรดไขมันตั้งแต่ 2 ชนิดขึ้นไป เรียกว่าไตรอเชิลกีเซอรออลผสม (mixed triacylglycerol) เช่น 1-ปาลmitoyl ไดสเตียรอยล์อเชิลกีเซอรออล (1-palmitoyl distearoyl glycerol) (ากัสสรา ชmidที, 2537) ในน้ำมันปาล์มมีโมเลกุลของไตรอเชิลกีเซอรออลที่ประกอบด้วยกรดไขมันอิ่มตัว 2 ตำแหน่งมากที่สุดร้อยละ 48 รองลงมา คือ ไตรอเชิลกีเซอรออลที่ประกอบด้วยกรดไขมันไม่อิ่มตัว 2 ตำแหน่งร้อยละ 34.6 ดังแสดงในตารางที่ 2 ซึ่งลักษณะโครงสร้างโมเลกุลของไตรอเชิลกีเซอรออลมีผลโดยตรงกับการตกผลึกของน้ำมัน

ตารางที่ 2 การจำแนกชนิดของการเรียงตัวของกรดไขมันในโครงสร้างไตรอเชิลกีเซอรออลของน้ำมันปาล์มตามคุณสมบัติความอิ่มตัว

Triglyceride Type	Composition (%)
Trisaturated (GS <sub>3</sub> )	10.2
Disaturated (GS <sub>2</sub> U)	48.0
Monosaturated (GSU <sub>2</sub> )	34.6
Triunsaturated (GU <sub>3</sub> )	6.8

ที่มา : Hui (1996)

## 2.2 โนโน-และไಡอเชิลกีเซอรออล

โนโน-และไಡอเชิลกีเซอรออลเป็นเอสเตอเรกของกลีเซอรออลกับกรดไขมันเพียงหนึ่งและสองโมเลกุล ตามลำดับ และมีหมู่ไขครอกซิโลสิระเหสีออยู่ ถ้าเป็นโนโนอเชิลกีเซอรออลจะมีหมู่ไขครอกซิโลสิระเหสีออยู่ 2 หมู่ อเชิลกีเซอรออลทั้งสองชนิดนี้ไม่ค่อยพบมากในธรรมชาติ แต่จะพบในไขมันที่เกิดจากการไขโตรไลซิสที่ไม่สมบูรณ์ โดย

จะมีประโยชน์ในการนำไปใช้ในการสังเคราะห์หรือดัดแปลงโครงสร้างไตรเอซิลก็อชอรอลที่มีความสำคัญทางเศรษฐกิจหรือนำโนโนเอซิลก็อชอรอลใช้เป็นสารอินัลซิไฟเออร์ในผลิตภัณฑ์อาหาร ยาและเครื่องสำอาง ชนิดต่างๆ (Howe-Grant, et al., 1994 ถึงโดย Rosu, et al., 1997)

### 3. กรดไขมัน (Fatty acid)

กรดไขมันเป็นกรดอินทรีย์ที่ส่วนใหญ่มีจำนวนคาร์บอน 4-24 อะตอม ปลายข้างหนึ่งเป็นหมู่คาร์บอซิลปลา yal อิกข้างมีลักษณะเป็นสายโซ่ยาวของอนโน พลาร์ไซโตรคาร์บอน ไซโตรคาร์บอนทำให้กรดไขมันไม่ละลายน้ำ ในธรรมชาติกรดไขมันมีจำนวนคาร์บอนอะตอมเป็นเลขคู่ และเป็นโซ่ยาวที่อิ่มตัว(ไม่มีพันธะคู่) หรือไม่อิ่มตัวคือมีพันธะคู่ หรือมีพันธะสาม (triple bond) 1 คู่หรือมากกว่า กรดไขมันแต่ละชนิดมีความยาวของสายโซ่ จำนวนและตำแหน่งของพันธะไม่อิ่มตัวแตกต่างกัน กรดไขมันที่พบในเซลล์พืชหรือสัตว์จะไม่พบในรูปอิสระแต่จะอยู่ร่วมกันเป็นลิปิดด้วยพันธะโคava เลนต์ ซึ่งถูกย่อยลายได้โดยการใช้ออนไซม์หรือสารเคมี

กรดไขมันที่พบในพืชและสัตว์ชั้นสูงจะมีจำนวนคาร์บอนอะตอมเป็นเลขคู่ อยู่ระหว่าง 14-22 อะตอม โดยเฉพาะ C16 และ C18 พฤติกรรมที่สุด และถ้าหากมีพันธะคู่มากกว่า 1 คู่ก็จะเป็นแบบอนค่อนจูเกต (nonconjugated double bond) (-CH=CH-CH<sub>2</sub>-CH=CH-) โดยมีตอนพิคุรชันแบบซีส์ กรดไขมันที่มีสายโซ่ยาวๆ (C16-C18) ละลายน้ำไม่ได้ แต่เกลือของมันสามารถสร้างไมเซลล์ (micelles) ในน้ำได้ และไมเซลล์สามารถคงรูปอยู่ได้ด้วยอันตรกิริยาแบบไฮโดรฟอฟิก (hydrophobic interaction) (อาภัสสรานิมิตท์, 2537)

กรดไขมันชนิดอิ่มตัวที่มีปริมาณมากที่สุดในน้ำมันปาล์ม คือ กรดปาล์มิติก มีอยู่ประมาณร้อยละ 37.9 ถึง 47.7 และกรดไขมันชนิดไม่อิ่มตัวที่พบมากได้แก่ กรดโอลีอิก มีอยู่ร้อยละ 40.7 ถึง 43.9 สำหรับกรดไขมันไม่อิ่มตัวมาก (polyunsaturated fatty acid) ซึ่งได้แก่ กรดไลโนเลอิก มีร้อยละ 10.4 ถึง 13.4 และกรดแอลฟ่าไลโนลินิก มีร้อยละ 0.1 ถึง 0.6 (ตารางที่ 3) นอกจากส่วนที่เป็นกรดไขมันแล้ว น้ำมันปาล์มยังมีส่วนที่ไม่สามารถ

เกิดสนับได้ ซึ่งได้แก่ คาโรทีนอยด์ (carotenoid) และโทโคเฟอรอล (tocopherol) สูง ซึ่งเมื่อผ่านกระบวนการวิธีทำให้บริสุทธิ์แล้วปริมาณของคาโรทีนอยด์จะลดลง (Maclellan, 1983)

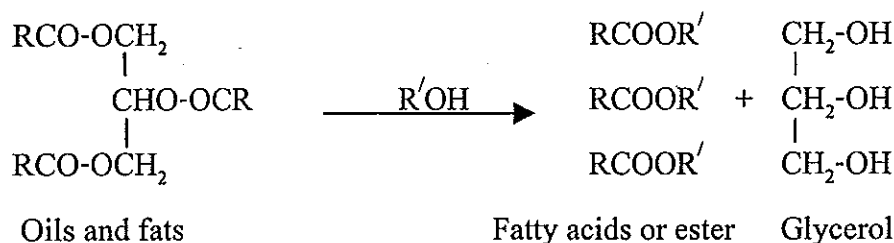
ตารางที่ 3 ปริมาณและคุณสมบัติของกรดไขมันในน้ำมันปาล์ม โอลีอิน

กรดไขมัน	จุดหลอมเหลว (องศาเซลเซียส)	ปริมาณ (ร้อยละของกรดไขมันทั้งหมด)
Lauric (Lauric)	44.2	0.1-1.1
Myristic (Myristic)	52.0	0.9-1.4
Palmitic (Palmitic)	63.1	37.9-47.7
Stearic (Stearic)	69.6	4.0-4.8
Oleic (Oleic)	13.4	40.7-43.9
Linoleic (Linoleic)	-17.0	10.4-13.4
Linolenic (Linolenic)	-17.0	0.1-0.6

ที่มา : Meclellan (1983)

#### 4. โอลีอิโคมีจากน้ำมันปาล์ม

โอลีอิโคอมี คือ สารเคมีที่ได้จากการน้ำมันและไขมัน ซึ่งสามารถใช้เป็นวัตถุดับท่อแทนที่สำคัญในอุตสาหกรรมต่างๆ มากมาย ซึ่งเดิมวัตถุดับเหล่านี้ได้มาจากการอุตสาหกรรมปีโตรเคมี ขั้นตอนการย่อยสลาย (hydrolysis) หรือการทำปฏิกิริยากับหมู่แอลกอฮอล์ (alcoholysis) ของน้ำมันและไขมันเป็นขั้นตอนพื้นฐานที่สำคัญสำหรับอุตสาหกรรมโอลีอิโคอมี ผลิตภัณฑ์ที่ได้คือ กรดไขมัน หรืออีสเทอร์ของกรดไขมัน ตามลำดับดังสมการ

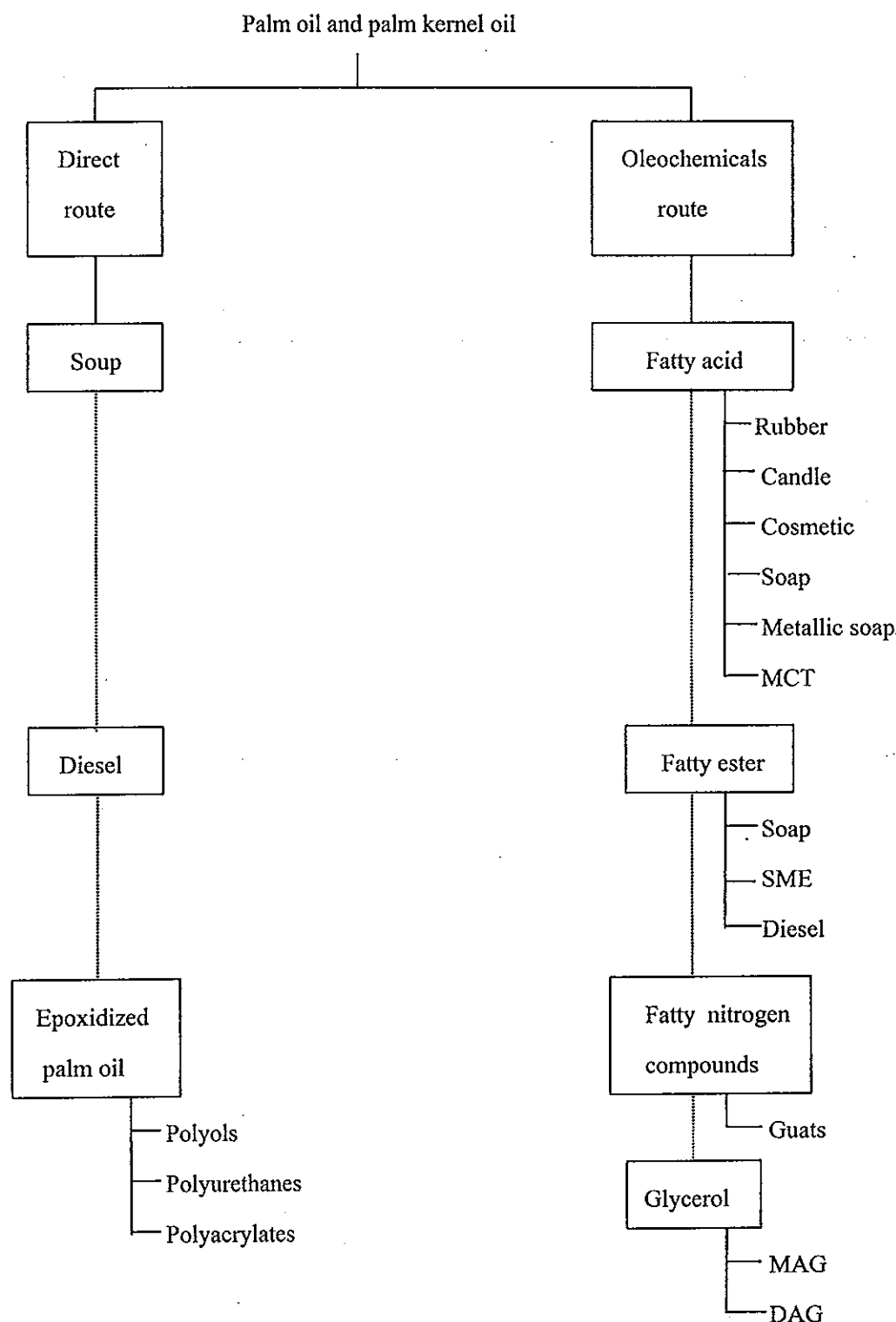


In hydrolysis, R' = H., In alcoholysis, R' = alkyl group.

กรดไขมัน หรืออีสเทอร์ของกรดไขมัน ใช้เป็นวัตถุคิบเริ่มต้นสำหรับการผลิตแฟตตี้แอลกออล์ แฟตตี้อีสเทอร์ และสารประกอบแฟตต์ในโตรเจน ซึ่งใช้เป็นวัตถุคิบโดยตรงหรือนำไปดัดแปลงหมุ่โครงสร้างเพื่อผลิตสารอนุพันธ์ที่สำคัญในอุตสาหกรรมต่างๆ ได้มากmay ดังตัวอย่างแสดงดังภาพที่ 2 คาดว่าในปี ก.ศ. 2000 ประเทศไทยกลุ่มอาชีวกรรมสามารถผลิต basic oleochemical ได้ถึงร้อยละ 35 ของโลกโดยวัตถุคิบหลักจะผลิตจากน้ำมันปาล์มและน้ำมันมะพร้าว (Hui, 1996)

#### 4.1 การใช้ประโยชน์จากโนโนเอชิกลีเชอรอล

โนโนเอชิกลีเชอรอลมีใช้กันมากเพื่อเป็นอิมัลซิไฟเออร์ในอุตสาหกรรมอาหาร ยา และเครื่องสำอาง (Thude, *et al.*, 1997) นอกจากนี้ยังประยุกต์ใช้ในอุตสาหกรรมอื่นๆ เช่น ยาสีฟัน (Sonntag, 1982) Li และ Ward (1993) อธิบายว่าโนโนเอชิกลีเชอรอลที่มี n-3-polyunsaturated fatty acid เป็นองค์ประกอบ เช่น eicosapentaenoic acid (EPA) และ docosahexaenoic acid (DHA) สามารถช่วยป้องกันโรคต่างๆ ในคน ส่วน monopentadecanoylglycerol ใช้ในผลิตภัณฑ์บำรุงรักษาเส้นผม (hair care additive) (Bornscheuer, 1995) ในอุตสาหกรรมยา มีการใช้โนโนเอชิกลีเชอรอลเป็นสารช่วยยึดเกาะในยาเม็ด และผสมในตัวยาที่ต้องการให้ออกฤทธิ์นาน (Jackson and King, 1997) ส่วนอุตสาหกรรมอาหาร มีการใช้โนโนเอชิกลีเชอรอลเป็นอิมัลซิไฟเออร์ในผลิตภัณฑ์เบเกอรี นาครีน ผลิตภัณฑ์นม ลูก瓜ด และเครื่องชูรส (Jackson and King, 1997) ในอุตสาหกรรมเครื่องสำอาง มีการใช้โนโนเอชิกลีเชอรอลเป็น texturing agent เพื่อให้ครีมหรือโลชั่นมีความเข้มข้น และปรับปรุงความหนืดของครีมหรือโลชั่น (Stevenson, *et al.*, 1993) นอกจากนี้ยังมีการใช้ในอุตสาหกรรมสิ่งทอ ผสมในน้ำมันสำหรับใช้ในเครื่องจักร เนื่องจากโนโนเอชิกลีเชอรอลมีคุณสมบัติเป็นสารหล่อลื่น (lubricant) และคุณสมบัติเป็นพลาสติก (plasticizing) (Coteron, *et al.*, 1998)



ภาพที่ 2 แนวทางการใช้ประโยชน์ของน้ำมันปาล์มและน้ำมันจากเม็ดปาล์ม  
ที่มา : Hui (1996)

## 5. เอนไซม์ไลเปส (Lipase)

เอนไซม์ไลเปส (E.C. 3.1.1.3) หรือเรียกอีกอย่างหนึ่งว่า “ไตรอีซิลิกอิเซอรอล ไฮโดรเลส (triacylglycerol hydrolases) เป็นเอนไซม์ที่ทำหน้าที่เร่งปฏิกิริยาไฮโดรไลซ์โมเลกุลของไตรอีซิลิกอิเซอรอล ได้ผลิตภัณฑ์เป็น ไดเอชิลิกอิเซอรอล โนโนเอชิลิกอิเซอรอล กรดไขมันและกลีเซอรอล (Macrae, 1983) ปฏิกิริยาสามารถเกิดแบบย้อนกลับได้ขึ้นอยู่กับการควบคุมสภาวะแวดล้อมของสารต่างๆ ในปฏิกิริยา

Shahani (1975) กล่าวว่า “ไลเปสเป็นเอนไซม์กลุ่มนี้ในอสเทอเรส เนื่องจากนิยามของอสเทอเรสเป็นเอนไซม์ที่สามารถย่อยสลายพันธะอสเทอร์ได้ แต่ไลเปสเท่านั้นที่สามารถเร่งปฏิกิริยาการย่อยสลายอสเทอร์ที่ไม่ละลายน้ำ เช่น ไตรอีซิลิกอิเซอรอล ได้ดี (Kazlauskas and Bornscheuer, 1997) นอกจากนี้ไลเปสยังสามารถเร่งปฏิกิริยาการย่อยสลายสารประกอบประเภทอินทรีย์ที่ประกอบด้วยหมู่คาร์บอชิลิกอสเทอร์ ซึ่งไม่ใช่เอชิลิกอิเซอรอลทั้งที่มีในธรรมชาติหรือจากการสังเคราะห์โดยที่ปฏิกิริยาจะมีความจำเพาะเจาะจงกับโครงสร้างไอโซเมอร์ของสับสเตรทสูง (Malcata, et al., 1992) จุดเด่นของไลเปสคือ มีสับสเตรทหลายชนิดและมีความจำเพาะเจาะจงสูง ในปัจจุบันนี้เอนไซม์ไลเปสจึงถูกนำมาประยุกต์ใช้ในการสังเคราะห์สารอินทรีย์ต่างๆ ทั้งแทนการสังเคราะห์ทางเคมีเพื่อผลิตสารที่สำคัญ ได้แก่ การสังเคราะห์ตัวยาที่ใช้ทางค้าน kanschกรรม การสังเคราะห์สารตัวกลางและการปรับปรุงโครงสร้างของไขมันธรรมชาติ ดังนั้นปัจจุบันไลเปสจึงนำมาประยุกต์ในอุตสาหกรรมต่างๆ มากมาย ได้แก่ อุตสาหกรรมอาหาร เครื่องสำอางและยา เครื่องหนัง เป็นต้น นอกจากนี้เอนไซม์ไลเปสสามารถเกิดปฏิกิริยาอินเตอร์อสเทอริฟิคेनของน้ำมันและไขมันเพื่อผลิตผลิตภัณฑ์ที่มีคุณค่า เช่น cocoa butter, fatty acid ester และผลิตสารประกอบกลีเซอไรด์ เช่น ไดเอชิลิกอิเซอรอลหรือโนโนเอชิลิกอิเซอรอล (Berger, et al., 1992 อ้างโดย Bornscheuer, 1995) รวมทั้งการนำบัคน้ำเสียจากชุมชนและจากโรงงานอุตสาหกรรมอาหาร (Godtfredsen, 1993; Bosley, 1996)

### 5.1 แหล่งของเอนไซม์ไอลเปส

ไอลเปสพบได้ทั่วไปทั้งในพืช สัตว์ และจุลินทรีย์ที่คัดเลือกจากธรรมชาติหรือที่ได้จากการปรับปรุงสายพันธุ์ซึ่งอาจจะผลิตเอนไซม์ไอลเปสทั้งที่อยู่ภายในและปลดปล่อยออกมานอกเซลล์ (Balcalo, et al., 1996) ไอลเปสได้จากพืชได้แก่ ไอลเปสจากเมล็ดกระหุ่ง เมล็ดฝ้าย และจากชั้นผิวพอกข้าวสาลี ข้าวไรย์และข้าวนาร์เลย์ ไอลเปสจากสัตว์จะพบในเนื้อเยื่ออวัยวะ เช่น ตับอ่อน หัวใจ ไต สมอง กล้ามเนื้อ และซีรัม สำหรับไอลเปสจากตับอ่อนนิยมนิยมนำมาใช้มากเนื่องจากมีความเข้มข้นสูงและสามารถแยกสกัดออกมาได้ง่าย (Schwimmer, 1981) ไอลเปสจากจุลินทรีย์ปัจจุบันได้รับความสนใจอย่างมากเนื่องจากมีความคงตัวสูงกว่าไอลเปสจากพืชและสัตว์ (Malcata, et al., 1992) สามารถผลิตเอนไซม์ได้ในปริมาณมากเนื่องจากจุลินทรีย์มีการเจริญเติบโตอย่างรวดเร็ว ควบคุมการผลิตได้ง่ายและคุณภาพสม่ำเสมอ นอกจากนี้ยังสามารถเพิ่มผลผลิตต่อหน่วยโดยวิธีการปรับปรุงทางพันธุกรรมของจุลินทรีย์ ทำให้ปัจจุบันมีจุลินทรีย์ที่สามารถผลิตเอนไซม์ไอลเปสทางการค้าหลายชนิดดังแสดงในตารางที่ 4 จุลินทรีย์ทั้งปีสต์ รา และแบคทีเรียสามารถผลิตไอลเปสที่มีคุณสมบัติแตกต่างกันขึ้นอยู่กับชนิดของจุลินทรีย์และการควบคุมสภาวะในการผลิต ปีสต์ที่นิยมนิยมนำมาผลิตไอลเปสทางการค้าได้แก่ *Candida cylindracea* หรือ *Candida rugosa* (Vercraraagavan and Gibbs, 1989) สำหรับราที่ผลิตไอลเปสอยู่ในกลุ่ม *Rhizomucor* และแบคทีเรียที่นิยมผลิตไอลเปสทางการค้าได้แก่ แบคทีเรียในกลุ่ม *Pseudomonas* และ *Staphylococcus* (Kazlauskas and Bornscheuer, 1997)

ตารางที่ 4 ตัวอย่างเอนไซม์ไอลิปaseที่ผลิตทางการค้า

ชนิด	แหล่งที่มา	ชื่ออื่นๆ	บริษัทที่ผลิต ทางการค้า
<b>Mammalian lipases</b>			
PPL	Porcine pancreas		Amano, Sigma, Fluka, Sigma, Boehringer Mannheim
CE (BSSL)	Pancreatic cholesterol esterase		Genzyme, Sigma
<b>Fungal lipases</b>			
CRL	<i>Candida rugosa</i>	<i>Candida cylindracea</i>	Altus Biologics, Sangyo, Amano, Boehringer Mannheim
CAL-A	<i>Candida antarctica A</i>		Boehringer Mannheim, Novo Nordisk
CAL-B	<i>Candida antarctica B</i>		Boehringer Mannheim, Sigma, Novo Nordisk
CLL	<i>Candida lipolytica</i>		Amano
GCL	<i>Geotrichum candidum</i>		
HLL	<i>Humicola lanuginosa</i>	<i>Thermomyces l.</i>	Boehringer Mannheim, Novo Nordisk
PcamL	<i>Penicillium camembertii</i>	<i>P. cyclopium</i>	Amano
RJL	<i>Rhizomucor javanicus</i>	<i>Mucor javanicus</i>	Amano
RML	<i>Rhizomucor miehei</i>	<i>Mucor miehei</i>	Boehringer Mannheim, Amano, Novo Nordisk, Fluka
ROL	<i>Rhizopus oryzae</i>	<i>R. javanicus,</i> <i>R. delemar, R. niveus</i>	Amano, Fluka, Sigma, Seikagaku Kogyo Co.
ANL	<i>Aspergillus niger</i>		Amano
ProqL	<i>Penicillium roqueforti</i>		Amano

ตารางที่ 4 (ต่อ)

ชนิด	แหล่งที่มา	แหล่ง และชื่ออื่นๆ	บริษัทที่ผลิต ทางการค้า
<b>Bacterial lipases</b>			
PCL	<i>Pseudomonas cepacia</i>	<i>Burkholderia cepacia</i>	Altus Biologics, Amano, Boehringer Mannheim, Fluka, Sigma
PCL-AH	<i>Pseudomonas cepacia</i>		Amano
PFL	<i>Pseudomonas fluorescens</i>		Amano, Biocatalysts Ltd.
PfragiL	<i>Pseudomonas fragi</i>		Wako Pure Chemical
CVL	<i>Chromobacterium viscosum</i>		Sigma, Genzyme, Asahi
	<i>Pseudomonas sp.</i>	<i>Pseudomonas glumae</i>	Chemical, Biocatalysts Ltd., Amano
BTL2	<i>Bacillus thermocatenulatus</i>		Boehringer Mannheim
	<i>Alcaligenes species</i>		Meito Sangyo

ที่มา : ดัดแปลงจาก Kazlauskas และ Bornscheuer (1997)

## 5.2 การแบ่งกลุ่มไลප์สทางการค้า

การแบ่งกลุ่มเอนไซม์ไลเพสทางการค้าตามแหล่งของจุลินทรีย์บางครั้งพบว่าไลเพสบางชนิดมีโครงสร้างที่เหมือนกัน ดังนั้น Kazlauskas และ Bornscheuer (1997) เสนอว่าวิธีการที่ง่ายที่สุดในการแบ่งกลุ่มคือการแบ่งตามการจัดเรียงตัวของกรดอะมิโนในโครงสร้างโปรตีนของไลเพส ซึ่งมีผลโดยตรงต่อโครงสร้างสามมิติของเอนไซม์ สามารถแบ่งออกเป็น 3 กลุ่มดังตารางที่ 5 คือ ไลเพสจากสัตว์ ไลเพสจากยีสต์ และ ไลเพสจากแบคทีเรีย สำหรับไลเพสจากยีสต์และราบეงออกได้เป็น 2 กลุ่ม คือกลุ่ม *Candida rugosa* และกลุ่ม *Rhizomucor* ส่วนไลเพสจากแบคทีเรียสามารถแบ่งออกได้เป็นกลุ่มของ *Pseudomonas* และกลุ่ม *Staphylococcus* ไลเพสในกลุ่ม *Candida rugosa* (CRL), *Geotricum candidum* (GCL) และ pancreatic cholesterol esterase (CE) เป็น

เอนไซม์ที่มีโมเลกุลใหญ่ (60-65 kD) แต่ *Candida lipase B* มีน้ำหนักโมเลกุลน้อย (30-35 kD) ดังนั้นจึงไม่ได้จัดไว้ในกลุ่มนี้แม้ว่าจะเป็นไลเปสที่ได้จากยีสต์ *Candida* ก็ตาม ไลเปสในกลุ่ม *Rhizomucor* เป็นไลเปสที่ได้จากการหลายชนิด ได้แก่ *Rhizopus*, *Rhizomucor*, *Penicillium camembertii* (PcamL), *Humicola lanuginosa* (HLL) และ *Candida antarctica B* (CAL-B) สำหรับในกลุ่ม *Pseudomonas* เป็นไลเปสจากเชื้อ *Pseudomonas* ทุกตัวรวมทั้งไลเปสจากเชื้อ *Chromobacterium viscosum*

ไลเปสบางตัวยังไม่ได้แบ่งกลุ่น เนื่องจากยังไม่ทราบการจัดเรียงตัวของกรดอะมิโน ได้แก่ ไลเปสจากเชื้อ *Aspergillus niger* (ANL) สำหรับไลเปสจากเชื้อ *Candida antarctica A* (CAL-A) แม่ทราบการจัดเรียงตัวของกรดอะมิโนแต่มีลักษณะที่เหมือนกับไลเปสในแต่ละกลุ่มน้อยมากจึงจัดไว้ในกลุ่มนี้ (Hoegh, et al., 1995)

#### ตารางที่ 5 การแบ่งกลุ่มเอนไซม์ไลเปสทางการค้า

การแบ่งกลุ่ม	น้ำหนัก โมเลกุล	ตัวอย่าง
ไลเปสจากสัตว์	50 kD	PPL
ไลเปสจากยีสต์และรา		
<i>Candida rugosa</i>	59-65 kD	CRL, GCL, CE
<i>Rhizomucor</i>	29-42 kD	CAL-B, RML, ROL, PcamL, HLL
ไลเปสจากแบคทีเรีย		
<i>Pseudomonas</i>	30-35 kD	PCL, PFL, CVL
<i>Staphylococcus</i>	68-73 kD	BTL2
ยังไม่สามารถแบ่งกลุ่ม		ANL, CAL-A, CLL

ที่มา : Kazlauskas และ Bornscheuer (1997)

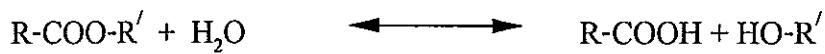
### 5.3 คุณสมบัติด้านเคมีและการขจัดของไอลเปปส์

โดยทั่วไปแล้วไอลเปปส์จะถูกทำลายได้ดีในน้ำ แต่ไม่ถูกทำลายในตัวทำละลายอินทรีย์ที่ไม่มีชื่อ (Kwon, et al., 1996) ส่วนใหญ่แล้วไอลเปปส์ได้จากสัตว์มีพิเศษที่เหมาะสมต่อการทำงานในช่วงที่เป็นค่า (พีเอช 8-9) แต่จะเข้าอยู่กับชนิดของสับสเตรท ปริมาณเกลือ และชนิดของสารอิมัลซิฟายเออร์ที่ใช้ อาจมีผลต่อการเปลี่ยนแปลงค่าพีเอชที่เหมาะสมให้อยู่ในช่วงที่เป็นกรดได้ (Macalta, et al., 1992) ส่วนไอลเปปส์ที่ทำงานได้ดีช่วงพีเอชเป็นกรดพบมากในไอลโซไซด์ในส่วนเนื้อเยื่อสัตว์เลี้ยงลูกด้วยนมหลายชนิด สำหรับไอลเปปส์จากจุลินทรีย์ โดยทั่วไปจะทำงานได้ดีในช่วงพีเอช 5.6 ถึง 8.5 และมีความคงตัวสูงในช่วงพีเอชที่เป็นกลาง ไอลเปปส์ส่วนใหญ่ทำงานได้ดีในช่วงอุณหภูมิ 30 ถึง 40 องศาเซลเซียส และไอลเปปส์จากจุลินทรีย์มีความคงตัวต่ออุณหภูมิสูงกว่าไอลเปปส์จากพืชและสัตว์ (Yamane, 1987) โดยเฉพาะไอลเปปส์จากเชื้อ *Pseudomonas* สามารถทนอุณหภูมิได้สูงถึง 100 องศาเซลเซียส (Gilbert, 1993) ความคงตัวต่อความร้อนของไอลเปปส์จะเพิ่มสูงขึ้นถ้าหากรวมอยู่กับสับสเตรท เป็นไปได้ว่าสับสเตรททำหน้าที่ช่วยกำจัดน้ำส่วนเกินออกจากโครงสร้างสามมิติของเอนไซม์ได้ (Malcata, et al., 1992)

### 5.4 การทำงานของเอนไซม์ไอลเปปส์

Gandhi (1997) แบ่งการทำงานของเอนไซม์ไอลเปปส์ไว้ 2 กลุ่มหลักคือ การย่อยสลายเอสเทอร์ (hydrolysis) และการสังเคราะห์เอสเทอร์ (synthesis) ซึ่งปฏิกริยาการสังเคราะห์เอสเทอร์สามารถแบ่งย่อยออกเป็น 4 ชนิด คือ อะซิโดไลซิส (acidolysis) เอสเทอเรฟิเคชัน (esterification) อินเตอร์เอสเทอเรฟิเคชัน (interesterification) และแอลกอฮอลล์ไลซิส (alcoholysis) สำหรับสำหรับสามปฏิกริยาหลังนักวิจัยหลายท่านจัดไว้ในกลุ่มเดียวกัน โดยใช้ชื่อว่าทรานเอสเทอเรฟิเคชัน (transterification) อย่างไรก็ตาม Yamane (1987) ได้จัดปฏิกริยาอะมิโนไอลซิส (aminolysis) อยู่ในกลุ่มเดียวกับทราน-เอสเทอเรฟิเคชันด้วยดังแสดงในภาพที่ 3

**1. Hydrolysis of ester**

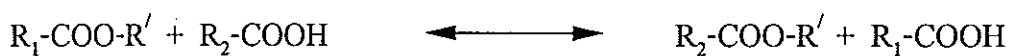


**2. Synthesis of ester**



**3. Transesterification**

**3.1 Acidolysis**



**3.2 Alcoholysis**



**3.3 Ester Exchange (Interesterification)**



**3.4 Aminolysis**



ภาพที่ 3 การเร่งปฏิกิริยาต่างๆ ของเอนไซม์ไลප์ส

ที่มา : Yamane (1987)

## 5.5 ความจำเพาะของเอนไซม์ไอลิปase

Malcata และ คณะ (1992) แบ่งความจำเพาะของเอนไซม์ไอลิปase โดยใช้หลักในการพิจารณา 5 แบบ คือ

- 1) ความจำเพาะต่อกลุ่มของดิบปีค
- 2) ความจำเพาะต่อตำแหน่งของเอชิลิกลีเซอรอล
- 3) ความจำเพาะต่อชนิดของกรดไขมัน
- 4) ความจำเพาะต่อโครงสร้างสแตอโริโอลิโนเมอร์ของสันสเตรท
- 5) หลายๆอย่างรวมกัน

เอนไซม์ไอลิปase ที่มีความจำเพาะต่อกลุ่มดิบปีคตัวอย่างเห็นได้ชัดในพลาสมาของสัตว์ซึ่งประกอบด้วยไอลิปase ที่ทำหน้าที่เร่งปฏิกิริยาการย่อยสลายเฉพาะ “ไตรเอชิล-กีดีเซอรอล” ไดเอชิลิกลีเซอรอล หรือโมโนเอชิลิกลีเซอรอล “ไอลิปase จาก *Penicillium cyclopium* มีกิจกรรมต่อโมโนเอชิลิกลีเซอรอลสูง แต่มีกิจกรรมต่อไดเอชิลิกลีเซอรอลและไตรเอชิลิกลีเซอรอลต่ำมาก (Okumura, et al., 1980 ถึงโดย Malcata, et al., 1992)

การแบ่งความจำเพาะต่อตำแหน่งเอชิลิกลีเซอรอลแบ่งได้ 3 แบบคือไอลิปase ที่ไม่มีความจำเพาะต่อตำแหน่งของกรดไขมันบนโมเลกุลของไตรเอชิลิกลีเซอรอล (nonspecific) ไอลิปase ที่มีความจำเพาะต่อกรดไขมันบนตำแหน่ง 1 และ 3 บนโครงสร้างโมเลกุลของไตรเอชิลิกลีเซอรอล (sn-1,3 specific) และไอลิปase ที่มีความจำเพาะต่อกรดไขมันบริเวณตำแหน่งที่ 2 บนโครงสร้างโมเลกุลของไตรเอชิลิกลีเซอรอล (sn-2 specific) ไอลิปase ที่ไม่มีความจำเพาะต่อตำแหน่งบนโมเลกุลของไตรเอชิลิกลีเซอรอลจะสามารถย่อยสลายพันธะเอสเตอโรร์ได้อย่างสมบูรณ์ การเร่งปฏิกิริยาจะไม่มีการผันกลับ (nonreverse) ซึ่งจะได้กรดไขมันและกลีเซอรอลเป็นผลิตภัณฑ์อยู่ในระดับที่สูง แต่อาจจะพบไดเอชิลิกลีเซอรอล และโมโนเอชิลิกลีเซอรอลเป็นอินเตอร์มีเดียที่ในปฏิกิริยาได้ได้แก่ เอนไซม์ไอลิปase จาก *Chromobacterium viscosum*, *Pseudomonas fluorescens*, *Candida cylindracea*, *C. rugosa* และ *Penicillium cylindracea* (Okumura, et al., 1981) สำหรับเอนไซม์ไอลิปase ที่มีความจำเพาะต่อตำแหน่งของกรดไขมันส่วนใหญ่แล้วจะเป็นไอลิปase ที่มีความจำเพาะต่อกรดไขมันบริเวณตำแหน่ง 1 และ 3 ซึ่งจะตัดไขมันตรงตำแหน่งที่ 1 และ 3 ในโครงสร้างของไตรเอชิลิกลีเซอรอลได้ดีกว่าตำแหน่งที่ 2 ทำให้

ได้ 2-โนโนเอชิกลีเซอรอล ซึ่งปัจจุบันนำมาประยุกต์ใช้ในการผลิตกรดไขมันไม่อิ่มตัว สูงกลุ่มโอมega 3 ได้แก่ การผลิต EPA และ DHA จากน้ำมันปลา ตัวอย่าง เช่น ไขม์ในกลุ่มนี้ได้แก่ ไลเปสจากตับอ่อนและจากจุลทรรศพวะ *Rhizopus arrhizus, R. delemar, Aspergillus niger* และ *Mucor miehei* (Li and Ward, 1993 )

ไลเปสที่มีความจำเพาะต่อชนิดของกรดไขมันพบในธรรมชาติน้อยมาก แต่พบว่าความจำเพาะยังขึ้นอยู่กับการควบคุมสภาวะแวดล้อมในปฏิกริยา ไลเปสโดยทั่วไปจะมีความจำเพาะต่อการเร่งปฏิกริยาของกรดไขมันสายสั้นที่ไม่อิ่มตัวน้อยมากเมื่อเปรียบเทียบกับกรดไขมันสายยาวที่อิ่มตัว อย่างไรก็ตาม Malcata และคณะ (1992) รายงานว่า ไลเปสบางชนิด เช่น ไลเปสจาก *Mucor miehei* มีความสามารถในการย่อยสลายกรดไขมันที่มีจำนวนคาร์บอน C4 และ C6 ได้สูงที่อ่อน 5.3 หรือ 8.0 ซึ่งมีประโยชน์ใน การผลิตสารที่มีกลิ่นรสในเนยแข็งและ ไลเปสจาก *Chromobacterium viscosum* มีความจำเพาะต่อกรดไขมันที่มีจำนวนคาร์บอน C8 ถึง C10 ได้ดีกว่ากรดไขมันตัวอื่น

## 6. การตรึงเอนไซม์ไลเปส

การใช้เอนไซม์ไลเปสในการย่อยสลายไขมันในรูปเอนไซม์อิสระ แม้จะเป็นวิธีการที่ทำกันได้ง่ายและรวดเร็ว ก็ตาม แต่ก็มีข้อจำกัดในด้านราคา ความคงตัวของเอนไซม์ รูปแบบการใช้มีลักษณะไม่ต่อเนื่อง ต้องทำให้บริสุทธิ์ก่อนใช้งาน การแยกเอนไซม์ออกจากผลิตภัณฑ์ทำได้ยาก และสภาวะการเกิดปฏิกริยามีความจำเพาะ(ปราสาท อ่านเปรื่อง, 2535) ซึ่งการตรึงรูปเอนไซม์จะสามารถแก้ปัญหาต่างๆ ให้ลดลงได้ แต่ยังไห้ก็ตามผลกระทบของการตรึงรูปเอนไซม์ก็อาจมีได้ เช่น แยกตัวออกจากจลดลง เนื่องจากโครงสร้างสามมิติเปลี่ยนแปลงไป ปัญหารื่องการถ่ายเทมวลสาร (mass transfer) ปัญหาการปนเปื้อนเนื่องจากตัวพยุงหรือตัวพยุงทำปฏิกริยากับผลผลิต

### 6.1 ตัวพยุงสำหรับการตรึงเอนไซม์

องค์ประกอบที่สำคัญในการตรึงเอนไซม์ คือ ชนิดของเอนไซม์และตัวพยุงที่ใช้ การคัดเลือกตัวพยุงที่ใช้ในการตรึงให้เหมาะสมสมบูรณ์เป็นปัจจัยหลักสำหรับการตรึงเอนไซม์ คุณสมบัติของตัวพยุงที่ดี คือ มีพื้นที่ผิวสำหรับยึดเกาะมาก มีคุณสมบัติในการ

คัดเลือกการซึมผ่านของสาร (permeability) และมีลักษณะชอบน้ำ (hydrophilicity) แต่ไม่ละลายในน้ำ มีความคงตัวต่อสารเคมี แรงกล และความร้อน มีความแข็งแรง มีขนาดและรูปร่างที่เหมาะสม สามารถป้องกันการทำลายจากจุลินทรีย์ได้ และสามารถนำกลับมาใช้ใหม่ได้ (Kennedy and Cabral, 1987)

เมื่อแบ่งชนิดของตัวพยุงตามลักษณะรูปร่างสามารถแบ่งได้ 2 กลุ่ม คือกลุ่มที่มีลักษณะเป็นรูพรุน (porous) และกลุ่มที่ไม่มีรูพรุน (non-porous) แต่เมื่อแบ่งตามลักษณะทางเคมีสามารถแบ่งได้ 2 กลุ่ม คือ

ก) ตัวพยุงที่เป็นสารอินทรีย์ (organic carriers) ได้แก่ cellulose, agarose, starch, dextran, nylon, collagen, DEAE-cellulose, carrageenan, chitin, chitosan, silk, gelatin, albumin, polyamides และ polyacrylamide (Kennedy and Cabral, 1987)

ข) ตัวพยุงที่เป็นสารอนินทรีย์ (inorganic carriers) ที่นิยมใช้ได้แก่ attapulgite clays, bentonite, kieselgur, pumic stone, non-porous glass, controlled pore alumina และ controlled pore titania (Kennedy and Cabral, 1987)

หมู่ต่างๆ บนตัวพยุงมีผลต่อ กิจกรรมเอนไซม์ หลังการยึดเกาะและกิจกรรมการเร่งปฏิกิริยาของเอนไซม์ แตกต่างกันออกไป นอกจากนี้ตัวพยุงบางชนิดมีหมู่ต่างๆ ที่มีความไวต่อการทำปฏิกิริยากับบริเวณเร่งของเอนไซม์ มีผลทำให้กิจกรรมของเอนไซม์ลดลง ตัวอย่างหมู่ต่างๆ บนตัวพยุง ได้แก่

หมู่ไดโอดีโซเนียม (diazonium group)	$-N^+ = N$
หมู่ไอโซไซแนท (isocyanate group)	$-N-CO$
หมู่ไอโซไธโไฮไซแนท (isothiocyanate group)	$-N-CS$
หมู่แอคทีฟไฮลิด (active halide group)	$-Br, -I, -F, -Cl$
หมู่แอคทีฟไซโนโน (active cyano group)	$-C=N$
หมู่แอคทีฟอะมิโน (active amino group)	$-NH_2$
หมู่แอคทีฟคาร์บอชิล (active carboxyl group)	$-COOH$
หมู่แอคทีฟไดซัลไฟด์ (active disulfide group)	$-S-S-$
หมู่แอคทีฟอลดีไฮด์ (active aldehyde group)	$-CHO$

การย่อyle plastic ไขมันและน้ำมันในการคัดเลือกตัวพูง นอกจากพิจารณาที่กิจกรรมของเอนไซม์แล้ว ยังต้องพิจารณาถึงความเหมาะสมในการนำไปใช้คือ ความเหมาะสมในค่าน้ำหนัก ถึงปฏิกิริยาที่ใช้ และความเสถียรต่อสภาพแวดล้อมในปฏิกิริยา เช่น อุณหภูมิ พิเศษ และสารตัวกลางต่างๆ ในปฏิกิริยา

Kimura และคณะ (1983 อ้างโดย Wang and Ruckenstein, 1993) ตรึงเอนไซม์ไลเปสบนตัวพูงหลายชนิดทั้งที่เป็นสารอินทรีย์และสารอนินทรีย์ พบร่วมกับการตรึงเอนไซม์ไลเปสบนตัวพูงที่มีคุณสมบัติไม่ชอบน้ำ เช่น polypropylene, Celgard 2500 จะให้กิจกรรมการย่อyle plastic น้ำมันมะกอกมากที่สุด

Brady และคณะ (1988) คัดเลือกตัวพูงที่เหมาะสมที่สุดสำหรับการตรึงเอนไซม์ไลเปสซึ่งได้แก่ celite, cellulose, ethyl cellulose, silica gel, kieselgur, clay, alumina, CPG-100, carbon, Accurel, Celgard 2500, Profax PP, microthene HDPE และอื่นๆ พบร่วมกับการใช้ตัวพูงทุกชนิดในการตรึงให้กิจกรรมของเอนไซม์ลดลง แต่ตัวพูงที่ให้กิจกรรมการย่อyle plastic ของเอนไซม์สูงสุดคือ Accurel กับ Celgard 2500

Suree และ Pawinee (1992) ตรึงเอนไซม์ไลเปสจาก *Candida cylindracea* บนตัวพูง 5 ชนิด คือ celite 545, dowex 50, silica gel, sephadex LH-20 และ sephadex LH-60 เพื่อย่อyle plastic น้ำมันมะกอกและน้ำมันปาล์มใน hexane พบร่วมกับตัวพูงที่เหมาะสมที่สุดคือ celite 545 และ sephadex LH-60 สำหรับ dowex 50 ให้กิจกรรมการย่อyle plastic ต่ำเนื่องจากมีคุณสมบัติในการขอบน้ำมากที่สุด

Kosugi และ คณะ (1995) พบร่วมกับการเติมตัวละลายอินทรีย์ที่มีชื่อ เช่น เอಥานอล หรือไอโซโพร์พิลแอลกอฮอล์ ลงในร้อยละ 50 ในสารละลายไลเปส ที่มีค่า ionic strength ต่ำกว่า 0.1 มีผลช่วยเพิ่มค่ากิจกรรมจำเพาะ (specific activity) ของเอนไซม์ที่ถูกตรึงบน polypropylene และค่าเปอร์เซ็นต์การตรึง (immobilization ratio) สูงถึงร้อยละ

97

Cao และคณะ (1996) ตรึงเอนไซม์ไลเปสบนตัวพูง 3 ชนิด คือ polyethylenimine, อะลิจีโนท (alginic) และกลูตาราลเดไฮด์ (glutaraldehyde) พบร่วมกับปฏิกิริยาเอสเตเทอเรฟิเคชั่นของกรดอะริโนมากกว่า 21 เท่าเมื่อเปรียบเทียบกับเอนไซม์อิสระ และมีกิจกรรมและความคงตัว 72 เปอร์เซ็นต์เมื่อใช้ต่อเนื่อง 10 วัน

Kawakami (1996) ตรึงเอนไซม์ไอลิปเปสจาก *Candida cylindracea* โดยห่อหุ้มใน methyl-substituted organic silicates บันชีไลท์ 545 และ hyflo super-col พบว่า เออนไซม์ทำงานได้ดีและคงตัวที่อุณหภูมิสูงที่ 65 องศาเซลเซียส

Yang และ Parkin (1994) พลิตโนโนเอซิลก็อเจอรอลจากไขมันเนย โดยปฏิกิริยาคลีเซอโรไลซ์ของจากเอนไซม์ไอลิปเปสที่รูปแบบตัวพุ่ง 2 ชนิดคือ polyethyleneglycol-based และ polyethyleneglycol-based gel โดยวิธีห่อหุ้มปฏิกิริยาจะเกิดได้ที่ 35-40 องศาเซลเซียส ที่มีไขมันเนย 25 เปอร์เซ็นต์ละลายในบีวิทานอล เออนไซม์ 5-10 มิลลิกรัม และกลีเซอรอล 0.10 มิลลิกรัมต่อปริมาตร ของสารละลาย สับสเตรท ปริมาณน้ำ 6 เปอร์เซ็นต์ (ปริมาตรต่อปริมาตร) เวลา 72 ชั่วโมง

Rosu และคณะ (1997) ศึกษาการใช้เอนไซม์ไอลิปเปสที่รูปผลิตโนโนเอซิลก็อเจอรอลโดยปฏิกิริยาคลีเซอโรไลซ์ของน้ำมันมะกอก นำกลับมาใช้ใหม่เพื่อลดต้นทุนการผลิต ตัวพุ่งที่นำมาตรเร่งได้แก่ แคลเซียมคาร์บอเนต แคลเซียมซัลเฟต แคลเซียมไฟโรฟอสเฟต และซีไลท์ พบว่า แคลเซียมคาร์บอเนต ตรึงเอนไซม์ไอลิปเปสจาก *Pseudomonas* sp. คือที่สุด ได้ผลผลิตโนโนเอซิลก็อเจอรอล 90 เปอร์เซ็นต์ เมื่อใช้ซ้ำเป็นครั้งที่ 5 และ 80 เปอร์เซ็นต์, 60 เปอร์เซ็นต์ เมื่อใช้เป็นครั้งที่ 7 และ 10 ตามลำดับ

วุฒิชัย พิชัยยุทธ (2540) ตรึงเอนไซม์ไอลิปเปส OF จาก *Candida rugosa* บนตัวพุ่ง 4 ชนิด ได้แก่ แอคูเรล ซีไลท์ ชิลิกาเจล และพงถ่าน พบว่าเอนไซม์ไอลิปเปส OF ที่ตรึงบนแอคูเรลมีกิจกรรมเอนไซม์หลังการยึดเกาะของเอนไซม์สูงสุด 89 เปอร์เซ็นต์ โดยมีกิจกรรมการย้อมสีอย่างสลายน้ำมันปาล์มเท่ากับ 11,860 ยูนิตต่อกรัมตัวพุ่ง

ฉัตรชัย สังข์มุกด (2542) ศึกษาการตรึงเอนไซม์ OF โดยใช้วิธีการซึดเกาะกับตัวพุ่ง 4 ชนิด คือ แอคูเรล Ambertile XAD-4 DEAE-Sephadex A50 และ polyvinylchloride (PVC) พบว่าการยึดเกาะแบบแลกเปลี่ยนประจุระหว่างเอนไซม์กับ DEAE-Sephadex A50 เกิดการจับกันอย่างสมบูรณ์ โดยให้กิจกรรมที่ยึดเกาะสูงสุด 97 เปอร์เซ็นต์

## 6.2 ปัจจัยที่มีผลต่อการตรึงเอนไซม์ไอลิเปส

ปัจจัยต่างๆ ที่มีผลต่อการตรึงเอนไซม์ไอลิเปสจะแตกต่างกัน โดยจะขึ้นอยู่กับชนิดของตัวพยุง กรรมวิธีในการตรึง บางครั้งมีการเติมสารเชื่อมพันธะเพื่อเพิ่มความแข็งแรงในการยึดเกาะ ได้แก่ กลูตราลีไซด์ แต่อย่างไรก็ตามปัจจัยหลักที่มีผลต่อการตรึงเอนไซม์บนตัวพยุงมีดังต่อไปนี้

### 6.2.1 การเตรียมตัวพยุง

ตัวพยุงบางชนิด โดยธรรมชาติแล้วอาจจะไม่มีหมู่ที่สามารถยึดเกาะกับหมู่ต่างๆ บนโครงสร้างโมเลกุลของเอนไซม์ได้ ทำให้กิจกรรมเอนไซม์หลังการยึดเกาะต่ำ ดังนั้นในขั้นตอนการ pretreatment เป็นขั้นตอนที่สำคัญมากในการนำตัวพยุงมาใช้อย่างมีประสิทธิภาพการใช้ PVC ที่ pretreatment กับ alkyldiamine เพื่อให้เกิดหมู่อะมิโน จากนั้นเติมกลูตราลีไซด์เพื่อช่วยเพิ่มกิจกรรมเอนไซม์หลังการยึดเกาะ ก่อนที่จะนำไปใช้ในการตรึงเอนไซม์ไอลิเปส (Shaw, et al., 1989) หรือการ pretreatment แอกคูเรลด้วยอุหานอลจะช่วยเพิ่มค่ากิจกรรมการย่อยสลายของเอนไซม์ไอลิเปสที่ถูกตรึง โดยการ pretreatment มีส่วนช่วยในการเพิ่มสภาพข้อของแอกคูเรล (Brady, et al., 1988; Montero, et al., 1993)

### 6.2.2 ระยะเวลาในการตรึง

เมื่อเพิ่มระยะเวลาในการตรึงเอนไซม์จะมีผลต่อการเพิ่มกิจกรรมการยึดเกาะและกิจกรรมการทำงานของเอนไซม์ แต่เมื่อถึงจุดอิ่มตัวแม้จะเพิ่มระยะเวลาในการตรึงเอนไซม์ที่ไม่มีผลต่อการเพิ่มกิจกรรมเอนไซม์หลังการยึดเกาะ ซึ่งระยะเวลาที่เหมาะสมในการตรึงเอนไซม์ขึ้นอยู่กับปัจจัยต่างๆ หลายอย่าง เช่น ชนิดของตัวพยุง วิธีการตรึง สารเชื่อม และความเข้มข้นของเอนไซม์

### 6.2.3 ความเข้มข้นของเอนไซม์

เนื่องจากความเข้มข้นของเอนไซม์เป็นปัจจัยหลักที่มีผลต่อปริมาณของเอนไซม์ที่ถูกดูดซับบนหน้าง่ายพื้นที่ของตัวพยุง โดยกิจกรรมเอนไซม์หลังการยึดเกาะและกิจกรรมการย่อยสลายเอนไซม์บนตัวพยุงจะเพิ่มขึ้นเมื่อเพิ่มระดับความเข้มข้นของเอนไซม์ แต่เมื่อเพิ่มระดับความเข้มข้นของเอนไซม์ให้สูงขึ้นจนถึงระดับอิ่มตัวก็ไม่

มีผลต่อการเพิ่มกิจกรรมสัมพัทธ์ของเอนไซม์ไลเปส (Kang and Rhee, 1989; Kosugi, et al., 1995)

#### 6.2.4 ผลของพีอ็อกและ ionic strength

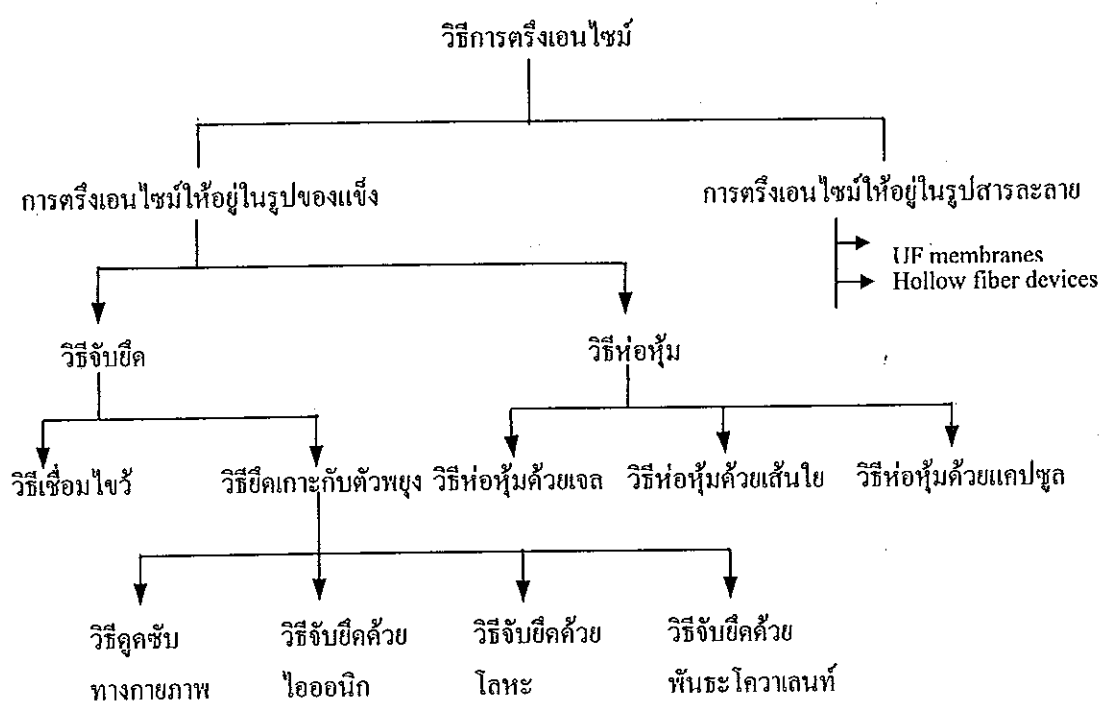
ค่าพีอ็อกของสภาวะแวดล้อมในการตรึงเอนไซม์มีความสำคัญอย่างยิ่ง ต่อ กิจกรรมการทำงานของเอนไซม์ เพราะเอนไซม์มีความไวต่อการเปลี่ยนแปลงคุณสมบัติเมื่อมีการเปลี่ยนแปลงค่าพีอ็อก Suree และ Pawinee (1992) รายงานว่าระดับพีอ็อกที่เหมาะสมที่สุดสำหรับการตรึงเอนไซม์ไลเปส คือ ช่วงพีอ็อกเดียวกับระดับพีอ็อกที่เหมาะสมต่อการเร่งปฏิกิริยาของเอนไซม์แต่ละแหล่ง เช่น เอนไซม์ไลเปสจากต้นอ่อน *Candida rugosa* และ *Rhizopus arrhizus* มีระดับพีอ็อกที่เหมาะสมต่อการเร่งปฏิกิริยาเท่ากับ 8.5, 7.5 และ 5.5 ตามลำดับ แต่หลังจากตรึงรูปบนตัวพุ่งแล้วระดับค่าพีอ็อกที่เหมาะสมต่อการเร่งปฏิกิริยาอาจเพิ่มขึ้นหรือลดลงหรืออาจไม่มีการเปลี่ยนแปลง (Malcata, et al., 1992) สำหรับค่าของ ionic strength ของสารละลายบัฟเฟอร์มีผลต่อการเห็นيyan ทางไฟฟาระหว่างเอนไซม์กับตัวพุ่ง ซึ่งถ้าหากใช้ความเข้มข้นของ ionic strength สูงกิจกรรมเอนไซม์หลังการขึ้นเคเบิลของเอนไซม์บนตัวพุ่งจะต่ำ (Patel, et al., 1995)

#### 6.2.5 ผลของอุณหภูมิ

โดยทั่วไปแล้วอุณหภูมิที่เหมาะสมต่อการทำงานของเอนไซม์ไลเปสอยู่ในช่วง 30-40 องศาเซลเซียส โดยจะถูกยับยั้งกิจกรรมการทำงานเมื่ออุณหภูมิในสภาวะแวดล้อมที่มีอุณหภูมิสูง เนื่องจากเอนไซม์สูญเสียสภาพ ยกเว้น thermophilic lipase เช่น เอนไซม์ไลเปสจาก *Pseudomonas* สามารถทนได้ที่อุณหภูมิ 100 องศาเซลเซียส (Malcata et al., 1992) ดังนั้นในการตรึงเอนไซม์ไลเปสจึงนิยมกระทำในสภาพแวดล้อมที่มีอุณหภูมิต่ำ เพราะที่ระดับอุณหภูมิต่ำเอนไซม์มีความคงตัวสูง ระดับอุณหภูมิที่นิยมใช้ในการตรึงเอนไซม์ประมาณ 4-10 องศาเซลเซียส

### 6.3 กรรมวิธีการตีง่อนไชม์

เอนไชม์ตึงรูป หมายถึง เอนไชม์ที่ถูกทำให้ออยู่ในขบวนเขตจำกัดอาจเชื่อมกับวัสดุหรือสารที่ใช้ยึดเกาะ โดยที่เอนไชม์ยังคงมีกิจกรรมอยู่ สามารถนำกลับมาใช้ได้หลายครั้งและสะดวกต่อการใช้ในระบบต่อเนื่อง Kennedy และ Cabral (1987) ได้จัดแบ่งกรรมวิธีการตีง่อนไชม์ไว้ดังภาพที่ 4 และตัวอย่างวิธีการตีง่อนไชม์ໄลเปลสแบบต่างๆ แสดงดังตารางที่ 6



ภาพที่ 4 การจำแนกวิธีการตีง่อนไชม์

ที่มา : Kennedy และ Cabral (1987)

ตารางที่ 6 ตัวอย่างการตรึงเอนไซม์ไอลิปสเพื่อใช้ร่วงปฏิกริยาการย่อยสลายน้ำมันและไขมัน

วิธีการตรึง	แหล่งเอนไซม์	ตัวพยุง	สารตั้งต้น
Adsorption (แบบคุณชั้บ)	<i>Candida cylindracea</i>	Polypropylene	BFT
	<i>Aspergillus niger</i>	Polypropylene	ไขมันน้ำ
	<i>Thermomyces lanuginosus</i>	NA	น้ำมันมะกอก
	<i>Thermomyces lanuginosus</i>	Acrylic	ไขมันถั่ว
	<i>Rhizopus sp.</i>	PVC	น้ำมันทานตะวัน
	<i>Candida rugosa</i>	Sephadex	น้ำมันมะกอก
	<i>Candida antarctica</i>	Synthetic resin	Tributyrin
	<i>Mucor miehei</i>	Synthetic resin	Tributyrin
	<i>Rhizopus sp.</i>	Celite	น้ำมันปาล์ม
	<i>Mucor miehei</i>	Duolite	ไตรเอซิลกีดีเซอรอล
	<i>Humicola lanuginosus</i>	Ca-alginate	น้ำมันมะกอก
	<i>Candida rugosa</i>	Cellulose	น้ำมันถั่วเหลือง
	<i>Candida rugosa</i>	Sephadex	น้ำมันมะกอก
	<i>Candida rugosa</i>	Polypropylene	ไขมันน้ำ
	<i>Mucor miehei</i>	Synthetic resin	น้ำมันเม็ดคละทุ่ง
	<i>Aspergillus niger</i>	Polypropylene	ไขมันน้ำ
	<i>Thermomyces lanuginosus</i>	NA	ไขมันวัว
	<i>Aspergillus niger</i>	Polypropylene	Butterfat
	<i>Pseudomonas fluorescens</i>	Decylchloroacetate emulsion	Decylchloroacetate

ตารางที่ 6 (ต่อ)

วิธีการตรึง	แหล่งเอนไซม์	ตัวพุ่ง	สารตั้งต้น
	<i>Candida rugosa</i>	Celite, glass	Phosphatidylcholine
	<i>Rhizopus delemar</i>	Polypropylene	
	<i>Rhizopus niveus</i>	Ambertite	
	<i>Candida rugosa</i>	Polypropylene	ไขมันรัว ไขมันหมู น้ำมันมะกอก น้ำมันปาล์ม
	<i>Chromobacterium viscosum</i>	CaCO <sub>3</sub>	น้ำมันมะกอก
	<i>Rhizopus arrhizus</i>	Celite	น้ำมันปาล์ม
Covalent binding (แบบโควาเลนท์)	<i>Candida rugosa</i>	PEG	น้ำมันมะกอก
	<i>Humicola lanuginosa</i>	Ambertite, Diatom	น้ำมันมะกอก
	<i>Porcine pancreas</i>	Cellulose	น้ำมันมะกอก
	<i>Candida cylindracea</i>	Sepharose	Tributyrin
	<i>Porcine pancreas</i>	EPSPS	น้ำมันมะกอก
	<i>Candida rugosa</i>	PVC	น้ำมันมะกอก
	<i>Candida rugosa</i>	Chitin	น้ำมันมะกอก
	<i>Candida rugosa</i>	Agarose	น้ำมันมะกอก
	<i>Candida rugosa</i>	Chitosan	น้ำมันมะกอก
	<i>Candida rugosa</i>	Sepharose	น้ำมันมะกอก
	<i>Candida rugosa</i>	Trisacyl Synthetic resin	น้ำมันมะกอก
	<i>Rhizopus</i> sp.	TAS	น้ำมันปาล์ม

## ตารางที่ 6 (ต่อ)

วิธีการตรึง	แหล่งเออนไข่มรรค	ตัวพยุง	สารตั้งต้น
Cross-linking (วิธีเชื่อมไขว้)	<i>Humicola lanuginosa</i>	Octry-Sepharose	น้ำมันมะกอก
	<i>Rhizopus</i> sp.	PTFE	น้ำมันทานตะวัน
	<i>Candida cylindracea</i>	PTFE, PVC	น้ำมันทานตะวัน
Entrapment (วิธีห่อหุ้ม)	<i>Humicola lanuginosa</i>	ENTP polyurethane	น้ำมันมะกอก
	<i>Rhizopus</i> sp.	PVC	น้ำมันทานตะวัน
	<i>Candida cylindracea</i>	ENT, ENTP	ไขมันนม
	<i>Rhizopus arrhizus</i>	ENT, ENTP	ไขมันนม
	<i>Candida cylindracea</i>	Sodium alginate	Butyl-butanoate
Containment (วิธีจำเก็บขوبเขต)	<i>Candida rugosa</i>	AOT-RM	น้ำมันมะกอก
	<i>Rhizopus delemar</i>	BSP	น้ำมันมะกอก
		Polyurethane	ไขมันนม
	<i>Chromobacterium viscosum</i>	AOT-RM	น้ำมันมะกอก
	<i>Candida cylindracea</i>	AOT-RM	น้ำมันมะกอก
	<i>Pseudomonas fluorescens</i>	AOT-RM	น้ำมันมะกอก
	<i>Candida cylindracea</i>	Polyamide	น้ำมันมะกอก
Precipitation (ตกตะกอน)	Human milk	-	เอชิลกเดี้เซอรอด

ตารางที่ 6 (ต่อ)

วิธีการตรึง	แหล่งเอนไซม์	ตัวพุ่ง	สารตั้งต้น
	<i>Candida rugosa</i>	-	น้ำมันมะกอก
	<i>Candida cylindracea</i>	-	น้ำมันปลาทูน่า
	<i>Pseudomonas fluorescens</i>	-	Anchovy oil Menhaden oil
	<i>Candida cylindracea</i>	-	Borage seed oil
Ion exchange (วิธีแลกเปลี่ยนประจุ)	<i>Rhizopus miehei</i>	Synthetic resin	Lesquerella Fendleri oil
หมายเหตุ :	AOT-RM	= sodium bis (2-ethylhexyl sulphosuccinate reverse micelles	
	BFT	= bleachable fancy tallow	
	BSP	= biomass support particles	
	ENT	= cross-linkable resin prepolymer containing polyethylene glycol	
	ENTP	= cross-linkable resin prepolymer containing polyethylene glycol	
	EPSPS	= epoxypropylsilanized Partisphere-5	
	NA	= not available	
	PEG	= polyethylene glycol	
	PTFE	= polytetrafluoroethylene	

ที่มา : ดัดแปลงจาก Balcao และคณะ (1996)

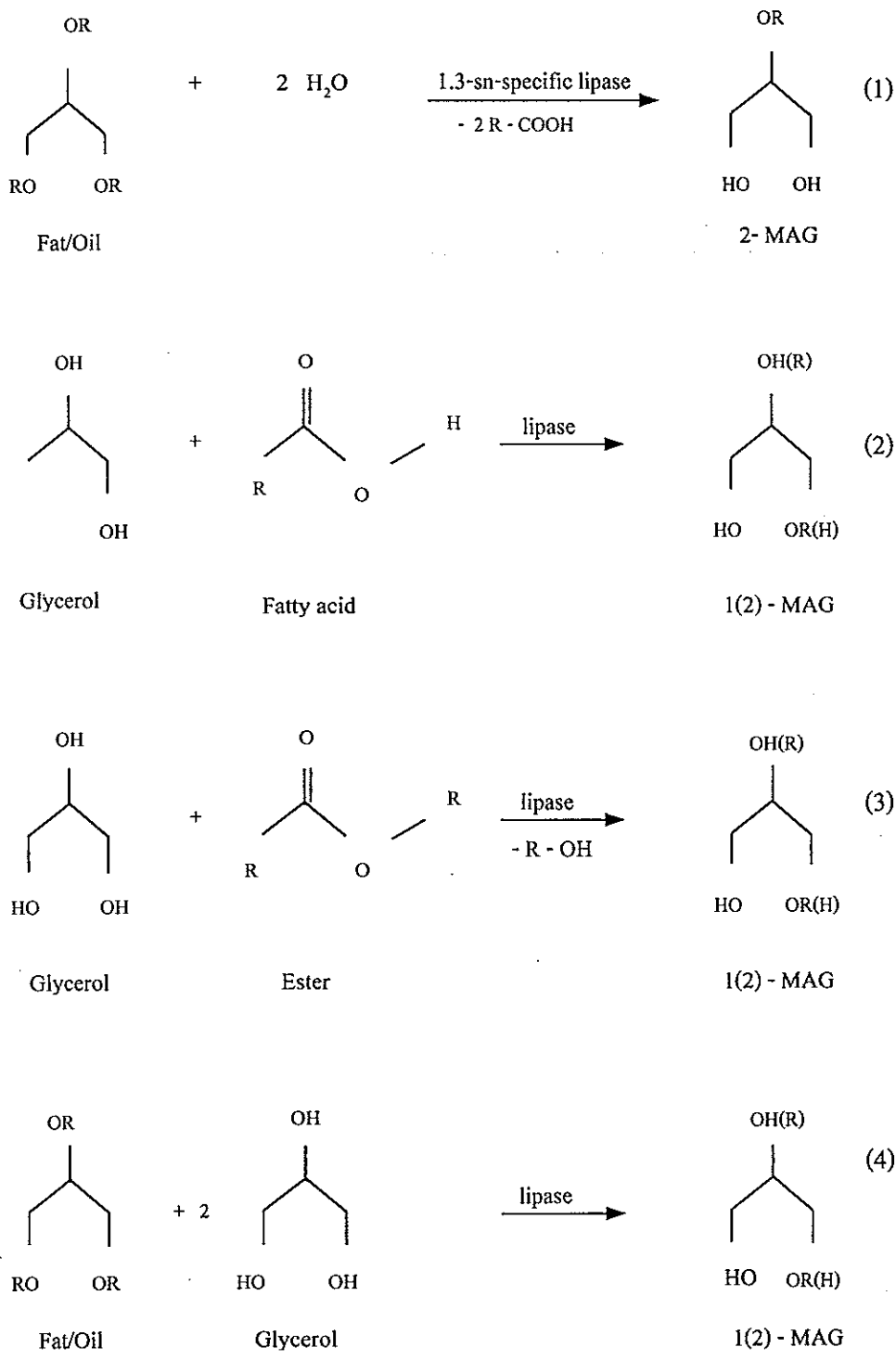
## 7. การผลิตโนโนเอชิกลีเชอรอลโดยใช้เอนไซม์ไอลเปส

ในกระบวนการผลิตโนโนเอชิกลีเชอรอล ในระบบโรงงานอุตสาหกรรมจะผลิตโดยกระบวนการกลีเซอโรไลซีสของน้ำมันและไขมัน ซึ่งต้องใช้อุณหภูมิและความคันสูง ( $200-250^{\circ}\text{C}$ ) เกิดของเสียที่เป็นผลกระทบต่อสิ่งแวดล้อม เกิดสีและกลิ่นอันไม่พึงประสงค์ ได้ผลผลิตน้อย ผลิตภัณฑ์มีกรดและเปอร์ออกไซด์เพิ่มขึ้น (Kimura, *et al.*, 1983) จึงต้องเพิ่มขั้นตอนการแยกและทำให้บริสุทธิ์ในตอนหลังอีกรึ่งหนึ่ง ทำให้สิ้นเปลืองพลังงาน และปฏิกริยาไม่มีความจำเพาะเจาะจง มีผลทำให้ปริมาณผลผลิตและคุณภาพของผลิตภัณฑ์ต่ำ (Kosugi and Tomizuka, 1995) นอกจากนี้ยังได้สารประกอบอื่นๆ เช่น ketone และ hydrocarbon

การสังเคราะห์โนโนเอชิกลีเชอรอลสามารถทำได้หลายวิธี ได้แก่ 1) การย่อยสลายน้ำมันหรือไขมัน โดยใช้เอนไซม์ไอลเปสที่มีความจำเพาะน้ำมัน 2) ปฏิกริยาเอสเทอราฟิเคชั่นของกรดไขมัน 3) ปฏิกริยาทรานเอสเทอราฟิเคชั่นของ fatty ester กับกลีเชอรอล และ 4) ปฏิกริยาคิวโซโรไลซีสของน้ำมันและไขมัน (ภาพที่ 5)

### 7.1 ปฏิกริยาการย่อยสลายของน้ำมันและไขมัน

ปฏิกริยาการย่อยสลายแบบต่อเนื่องของไขมันและน้ำมันในการผลิตกรดไขมันและกลีเชอรอลมีการทำในระดับอุตสาหกรรมนานา โดยใช้อุณหภูมิและความคันสูง ปัจจุบันมีการใช้เอนไซม์ไอลเปสที่ไม่มีความจำเพาะในการย่อยไขมันหรือน้ำมันซึ่งเป็นวิธีการใหม่ในการผลิตกรดไขมันภายใต้สภาวะที่ไม่รุนแรง การผลิตโนโนเอชิกลีเชอรอลโดยใช้เอนไซม์ไอลเปสที่มีความจำเพาะต่อตำแหน่งของกรดไขมันในการย่อยสลาย เป็นวิธีการที่ทำได้ง่าย ให้ผลผลิตเป็น 2-โนโนเอชิกลีเชอรอล (ภาพที่ 5 สมการที่ 1) แต่พบว่าวิธีนี้ให้ผลผลิตโนโนเอชิกลีเชอรอลน้อย เนื่องจากไตรเอชิกลีเชอรอล 1 โมล จะได้ กรดไขมันอิสระ 2 โมล และ โนโนเอชิกลีเชอรอล 1 โมล เพราะมีการบัญชีการนำเข้าและพนักงานที่รับผิดชอบต้องคำนึงถึงความปลอดภัยของผู้บริโภค จึงต้องมีการตรวจสอบและติดตามอย่างต่อเนื่อง ทั้งนี้เพื่อ確保ผลิตภัณฑ์ที่ได้มาจากการผลิตนี้มีคุณภาพและปลอดภัยสำหรับผู้บริโภค



ภาพที่ 5 การผลิตโไมโนเอเซิลกีเซอรอลโดยใช้เอนไซม์ไลปase

ที่มา : Bornscheuer (1995)

Flenk และ Spener (1990 ข้างโดย Bornscheuer, 1995) ย้อนน้ำมันละหุ่งโดยใช้เอนไซม์ไอลเปสที่จำเพาะต่อตำแหน่งของกรดไขมันบนตำแหน่งที่ 1 และ 3 จากเชื้อ *Rhizopus arrhizus* ให้โนโนเอซิลกลีเซอรอล 23 เปอร์เซ็นต์ และกรดไขมัน 66 เปอร์เซ็นต์

Millqvist และคณะ (1994) ศึกษาการสังเคราะห์ 2-โนโนเอซิลกลีเซอรอลจากปฏิกิริยาไฮโดรไอลซีสของไตรปาล์มิติน โดยใช้เอนไซม์ไอลเปสจาก *Rhizopus arrhizus* ที่ครึ่งบนซีไลท์ ให้โนโนเอซิลกลีเซอรอล 97 เปอร์เซ็นต์ ในปฏิกิริยาที่มีเอทานอลเป็นตัวทำละลาย

## 7.2 ปฏิกิริยาเอสเทอโรฟิเคลชั่นของกรดไขมันหรือเอสเทอร์ของกลีเซอรอล

การคืนพนการรักษาความคงตัวของเอนไซม์ไอลเปสในตัวทำละลายอินทรีย์ โดยใช้ปฏิกิริยาขึ้นกัดบองปฏิกิริยาการย่อยสลาย คือ ปฏิกิริยาเอสเทอโรฟิเคลชั่นของกรดไขมันหรือtransesterification ของเอสเทอร์ การผลิตโนโนเอซิลกลีเซอรอลด้วยปฏิกิริยาเอสเทอโรฟิเคลชั่นของกรดไขมันหรือเอสเทอร์ของกลีเซอรอล (ภาพที่ 5 สมการที่ 2, 3) การควบคุมสภาวะจำเป็นมากกว่าปฏิกิริยาการย่อยสลายที่สำคัญคือต้องมีน้ำในปฏิกิริยาน้อย (Goldberg, et al., 1990) ตัวอย่างการสังเคราะห์โนโนเอซิลกลีเซอรอลโดยปฏิกิริยาเอสเทอโรฟิเคลชั่นดังแสดงในตารางที่ 6

## 7.3 ปฏิกิริยากลีเซอโรไลซีส

การผลิตโนโนเอซิลกลีเซอรอลจากปฏิกิริยากลีเซอโรไลซีสของน้ำมันและไขมันโดยใช้ต่างเป็นตัวเร่งปฏิกิริยา เช่น โซเดียมไฮดรอกไซด์ ปฏิกิริยาจะต้องใช้อุณหภูมิสูง ( $220-260^{\circ}\text{C}$ ) ทำให้โนโนเอซิลกลีเซอรอลมีสีดำและไม่มีคุณภาพดี ดังนั้นก่อนนำไปใช้ต้องทำการทำให้บริสุทธิ์อีกครั้ง (Coteron, et al., 1998) ปัจจุบันจึงหันมาใช้เอนไซม์ไอลเปสในการเร่งปฏิกิริยากันมากขึ้น เพื่อแก้ปัญหาดังกล่าว ปฏิกิริยากลีเซอโรไลซีสมีข้อตีกว่าต้องอีนเนื่องจากไตรเอซิลกลีเซอรอล 1 โมล ให้ผลผลิตโนโนเอซิลกลีเซอรอล 3 โมล (ภาพที่ 5 สมการที่ 4) มีการศึกษาปฏิกิริยากลีเซอโรไลซีสของน้ำมันและไขมันโดยใช้เอนไซม์ไอลเปสครั้งแรกโดย Yamane และ คณะ (1986) ศึกษาเอนไซม์ไอลเปสใน

ปฏิกิริยาคลีเซอ โรไอลีซีสของน้ำมันชนิดต่างๆ มีการเติมสารละลายนินทรีย์ในปฏิกิริยาทำให้วิเคราะห์ปริมาณโนโนเอชิลคลีเซอรอลได้ยาก และในปีเดียวกัน Yamane และคณะศึกษาปฏิกิริยาคลีเซอ โรไอลีซีสของน้ำมันข้าวโพดโดยใช้อ่อนไชม์ได้เปลี่ยนจาก *Pseudomonas fluorescens* ในระบบจะไม่มีการเติมสารลดแรงตึงผิว ที่อุณหภูมิ 40 องศาเซลเซียส ปริมาณน้ำในกลีเซอรอล 3.7 เปอร์เซ็นต์ เกิดโนโนเอชิลคลีเซอรอล 20.4 เปอร์เซ็นต์ ปัจจัยที่สำคัญของวิธีการนี้ คือ อุณหภูมิ มีการศึกษาอุณหภูมิที่เหมาะสมของน้ำมันและไขมันแต่ละชนิด เรียกว่า "critical temperature" (Tc) ซึ่งน้ำมันและไขมันแต่ละชนิดจะมีค่า Tc แตกต่างกันขึ้นอยู่กับองค์ประกอบของน้ำมันและไขมันชนิดนั้น ๆ นอกจากนี้ ปริมาณน้ำ สัดส่วนของไตรเอชิลคลีเซอรอลกับกลีเซอรอล รวมทั้งปริมาณและชนิดของอ่อนไชม์ได้เปลี่ยนไปตามที่เหมาะสมซึ่งช่วยเพิ่มปริมาณโนโนเอชิลคลีเซอรอลได้มาก ด้วย (McNeill and Yamane, 1991)

Bornscheuer และคณะ (1994) เปรียบเทียบการสังเคราะห์โนโนลอริลคลีเซอรอล (monolaurylglycerol, MGL) ด้วยอ่อนไชม์ได้เปลี่ยนจาก *Pseudomonas cepacia* โดยปฏิกิริยาต่างๆ ได้แก่ 1) ปฏิกิริยาเอสเทอเรติฟิเคลชั่นของกลีเซอรอล โดยกรดลอริก (lauric acid) ใน bis-(2-ethylhexyl) sulfosuccinate sodium salt (AOT)/isooctane 2) ปฏิกิริยาทรานเสทอเรติฟิเคลชั่นของกลีเซอรอลโดยไวนิลลอเรท (vinyl laurate) ทึ้งสองปฏิกิริยาจะให้ผลผลิตของไดลัลริลคลีเซอรอลมากกว่าโนโนลอริลคลีเซอรอล ปฏิกิริยาคลีเซอ โรไอลีซีสของไตรลอริน (trilaurin) และ 4) ปฏิกิริยาทรานเสทอเรติฟิเคลชั่นของ protected glycerol, 1,2-o-isopropylidene glycerol พนว่าสองปฏิกิริยานี้จะให้ผลผลิตโนโนลอริลคลีเซอรอลมากกว่าไดลัลริลคลีเซอรอล

ตารางที่ 7 การสังเคราะห์โมโนเอชิก\_acid ของบีโภคิริยาอสเทอโรฟิเกชั่น

ไอลเปสต์	สับสสารท์	ผลผลิต
<i>Mucor miehei</i>	กรด ไอ oleic	1-MAG (max. 32%)
<i>Aspergillus niger,</i>	กรด ไอ oleic	1,(3)-MAG
<i>Rhizopus delemar</i>		
<i>Geotrichum candidum,</i>		
<i>Penicillium cyclopium</i>		
<i>Penicillium camembertii</i>	กรด ไอ oleic	MAG (max. 74%)
<i>Penicillium</i> sp., Lipozyme	กรด ไอ oleic	MAG
<i>Rhizopus arrhizus</i>	กรด ไอ oleic	MAG(17.9-44.1%)
<i>Candida antarctica</i>	กรด ไอ oleic, ethyloleate	MAG(7.2-68%)
<i>Rhizopus delemar</i>	กรด ไอ oleic และ อื่นๆ	1-MAG, 50-60% conv.
Lipozyme	กรด ไอ oleic กรดสเตียริก	MAG, 30-70% conv.
Lipozyme	(S)-17-hydroxystearic acid	MAG (max. 84%)
<i>Geotrichum candidum,</i>	EPA, DHA	6.4-65% MAG
<i>Pseudomonas</i> sp.		
<i>Mucor miehei</i>		
<i>Penicillium cyclopium,</i>	Solid FFA ( เช่น C17)	MAG (max. 96%)
<i>Rhizopus</i> sp.		
<i>Chromobactrium viscosum</i>	C6-C18, C18:1	MAG
<i>Humicola lanuginosa</i>	C2-C20	MAG
<i>Candida rugosa</i>	กรดคานาไฟริก	MAG > 90%

max. : maximum, conv. : conversion

ที่มา : Bornscheuer (1995)

## 8. ปัจจัยที่มีผลต่อการผลิตโนโนเอชิลกลีเซอรอลจากปฏิกิริยากรีโซโรไอลซีสของไขมันและน้ำมันโดยเอนไซม์ไอลเปส

### 8.1 ชนิดของเอนไซม์ไอลเปส

McNeill และคณะ (1990) พบว่าการใช้เอนไซม์ไอลเปสจาก *Chromobacterium viscosum* และ *Pseudomonas fluorescens* ในปฏิกิริยากรีโซโรไอลซีสของไขมันวัว ให้ปริมาณโนโนโนเอชิลกลีเซอรอล 70 เปอร์เซ็นต์ และในปีต่อมาพบว่าเอนไซม์ไอลเปสจาก *Geotrichum candidum*, *Penicillium camembertii* และ *Candida rugosa* ไม่สามารถผลิตโนโนโนเอชิลกลีเซอรอลได้ แต่พบว่าการใช้เอนไซม์ไอลเปสจาก *P. camembertii* ร่วมกับ *Humicola lanuginosa* สามารถผลิตโนโนโนเอชิลกลีเซอรอลได้ถึง 70 เปอร์เซ็นต์ โดยใช้น้ำมันปาล์มและไขมันวัว

Stevenson และคณะ (1993) ศึกษาปฏิกิริยากรีโซโรไอลซีสของไขมันวัวโดยใช้ลิโปไนซ์ (*Mucor miehei* ตระกูล) ที่อุณหภูมิ 50 องศาเซลเซียสให้โนโนโนเอชิลกลีเซอรอลสูงสุด 35 เปอร์เซ็นต์ แต่มีลดอุณหภูมิเป็น 42 องศาเซลเซียส ให้โนโนโนเอชิลกลีเซอรอลเป็น 50 เปอร์เซ็นต์

Bornscheuer และ Yamane (1994) ศึกษากิจกรรมและความคงตัวของเอนไซม์ไอลเปสในปฏิกิริยากรีโซโรไอลซีสของไตรโอลิน (trilein) เพื่อผลิตโนโนโนเอชิลกลีเซอรอลโดยใช้เอนไซม์ไอลเปสจากเชื้อ *Chromobacterium viscosum* และ *Pseudomonas cepacia* ที่ถูกต้องบนเซลล์ไลท์ และ sepharose พบว่าเอนไซม์ที่ต้องบนเซลล์ไลท์ จะมีกิจกรรมและความคงตัวสูงกว่า นอกจากนี้ยังมีการศึกษาเอนไซม์ไอลเปสที่ผลิตจากเยลล์และรา พบว่ามีเฉพาะเอนไซม์ไอลเปสที่ผลิตได้จากเชื้อ *Rhizopus delemar* เท่านั้นที่สามารถผลิตโนโนโนเอชิลกลีเซอรอลได้

เอนไซม์ไอลเปสแต่ละชนิดจะเหมาะสมกับไขมันแต่ละชนิดซึ่งมีการศึกษาของนักวิจัยหลายๆ ท่าน ดังสรุปในตารางที่ 8

ตารางที่ 8 เอนไซม์ไอลเปสที่ใช้ในปฏิกริยากลีเซอโรไลซีสของน้ำมันและไขมัน

สับสเตรท	ไอลเปส	โนโนเอชิลก็อกซอรอล	อ้างอิง
		(%)	
น้ำมันข้าวโพด	<i>P. fluorescens</i>	20.1	Yamane และคณะ (1986)
น้ำมันมะกอก	<i>C. viscosum</i>	80	Chang และ Rhee (1991)
น้ำมันมะกอก	<i>C. viscosum</i>	90	Kamlangdee และ Yamane (1996)
ไตรโอลิน	<i>C. viscosum</i>	96	Bornscheuer และ Yamane (1994)
ไขมันวัว	<i>Mucor miehei</i>	50	Stevenson และคณะ (1993)
ไขมันวัว	<i>P. fluorescens</i>	70	McNeill และคณะ (1990)
น้ำมันปลาทะเล	<i>Pseudomonas</i> sp.	42-53	Myrnes และคณะ (1995)
น้ำมันหมู	<i>P. fluorescens</i>	69	McNeill และคณะ (1991)
ปาล์มสเตียริน	<i>P. fluorescens</i>	86	McNeill และคณะ (1991)
น้ำมันพานตะวัน	<i>Rhizopus delemar</i>	53	Tuter และคณะ (1998)

## 8.2 ปริมาณน้ำ

Chang และ Rhee (1991) ศึกษาปฏิกริยากลีเซอโรไลซีสของน้ำมันมะกอกในถังปฏิกรณ์แบบต่อเนื่อง โดยเอนไซม์ไอลเปสจาก *Chromobacterium viscosum* ที่ถูกตรึงบน liposome เพื่อผลิตโนโนเอชิลก็อกซอรอลและไดเอชิลก็อกซอรอล พนว่าปริมาณน้ำในปฏิกริยาไม่ควรเกิน 8 เปอร์เซ็นต์ (น้ำหนักต่อปริมาตร) ถ้าปริมาณน้ำมากจะเกิดกรดไขมันอิสระปริมาณมากด้วย Yamane และคณะ (1986 อ้างโดย Bornscheuer, 1995) เริ่มต้นศึกษาการใช้เอนไซม์ไอลเปสเร่งปฏิกริยากลีเซอโรไลซีสของน้ำมันและไขมันตามธรรมชาติโดยใช้เอนไซม์ไอลเปสจาก *Pseudomonas fluorescens* ในการทดลองแบบกระแสไม่มีการเติม surfactant ที่อุณหภูมิ 40 องศาเซลเซียสและมีปริมาณน้ำในกลีเซอโรล 3.7 เปอร์เซ็นต์ ได้โนโนเอชิลก็อกซอรอล 20.4 เปอร์เซ็นต์ McNeill และคณะ (1991) พนว่าปริมาณน้ำในปฏิกริยากลีเซอโรไลซีสของไขมันวัวสูงกว่า 8 เปอร์เซ็นต์ ทำให้ผลผลิตโนโนเอชิลก็อกซอรอลลดลง

### 8.3 อุณหภูมิ

McNeill และคณะ (1991) พบว่าอุณหภูมิที่เหมาะสมในการเกิดปฏิกิริยาคลี-เซอโร่ໄไลซีสเรียกว่า critical temperture ( $T_c$ ) ซึ่งค่า  $T_c$  จะขึ้นอยู่กับชนิดของไขมันและน้ำมันจะอยู่ระหว่าง 30-46 องศาเซลเซียสสำหรับไขมันและน้ำมันในธรรมชาติ ได้แก่ ไขมันวัว, น้ำมันปาล์ม, ปาล์มสเตียริน ซึ่งจะให้ผลผลิตโนโนเอชิลคลีเซอรอล 65-90 เปอร์เซ็นต์ ในขณะที่น้ำมันที่เป็นของเหลวที่อุณหภูมิห้องได้แก่น้ำมันมะกอก จะมีค่า  $T_c$  เท่ากับ 10 องศาเซลเซียส

McNeill และคณะ (1990) พบว่าอุณหภูมิที่เหมาะสมในการเกิดกลีเซอโร่ໄไลซีสของไขมันวัวคือ 42 องศาเซลเซียส ผลิตโนโนเอชิลคลีเซอรอลได้ 70 เปอร์เซ็นต์โดยเอนไซม์ໄไลเปสจาก *Pseudomonas fluorescens* และ *Chromobacterium viscosum*

Thude และคณะ (1997) สรุปว่าในกระบวนการเกิดกลีเซอโร่ໄไลซีสจาก 42 องศาเซลเซียส ผลิตโนโนเอชิลคลีเซอรอลได้ 70 เปอร์เซ็นต์โดยเอนไซม์ໄไลเปสจาก *Pseudomonas cepacia* (PCL) และ *Chromobacterium viscosum* (CVL) อุณหภูมิเริ่มต้นของการเกิดกลีเซอโร่ໄไลซีส 25 องศาเซลเซียส และตามด้วยอุณหภูมิเย็น 7 องศาเซลเซียส เมื่อใช้ໄไลเปส PCL และໄไลเปส CVL เกิดโนโนเอชิลคลีเซอรอล 86 และ 90 เปอร์เซ็นต์ ตามลำดับ

Tuter และคณะ (1999) ศึกษาปฏิกิริยาคลีเซอโร่ໄไลซีสของน้ำมันปาล์มและน้ำมันเมล็ดปาล์มโดยเอนไซม์ໄไลเปสจาก *Rhizopus delemar* (ໄไลเปส D) พบว่าที่อุณหภูมิ 40 องศาเซลเซียส เอนไซม์ทำงานได้ดีที่สุดและสามารถผลิตโนโนเอชิลคลีเซอรอลได้ 66 และ 64 เปอร์เซ็นต์ จากน้ำมันปาล์มและน้ำมันเมล็ดปาล์ม ตามลำดับ

### 8.4 สถานะการเกิดปฏิกิริยา

Yang และคณะ (1993) ศึกษาปฏิกิริยาคลีเซอโร่ໄไลซีสของไขมันเนยในระบบ liquid-phase โดยเอนไซม์ໄไลเปส จาก *Pseudomonas* sp. บ่มปฏิกิริยาภายใต้สถานะที่อุณหภูมิ 35 องศาเซลเซียส ปริมาณน้ำในกลีเซอรอล 2.5-4.8 เปอร์เซ็นต์ และกลีเซอรอล 0.33-0.44 กรัมต่อกรัมไขมันเนย ให้ผลผลิตโนโนเอชิลคลีเซอรอลสูงสุด 50-55 เปอร์เซ็นต์

Ohta และคณะ (1989) พบว่าการเพิ่มผลผลิตของโมโนเอชิลกลีเซอรอลต้องทำให้เกิดปฏิกิริยาในสภาพ solid-phase โดยไม่มีการเติมตัวทำละลายอินทรีย์ในปฏิกิริยา และผลผลิตถูกปลดปล่อยออกมายังรูปผลึก (crystallization) ถึง 70-99 เปอร์เซ็นต์ โดยใช้น้ำมันและไขมันตามธรรมชาติ ได้แก่ ไขมันวัว, น้ำมันปาล์ม, ปาล์มน้ำเตยริน และน้ำมันมะพร้าว

Stevenson และคณะ (1993) ศึกษาการเกิดปฏิกิริยากลีเซอโรไลซีสของไขมันวัว ในสภาพ solid-phase ด้วยเอนไซม์ไลเปสต์ริงรูปจาก *Mucor miehei* ในระบบจะได้ผลผลิตของโมโนเอชิลกลีเซอรอล 35 เปอร์เซ็นต์ ส่วนระบบต่อเนื่องให้ผลผลิตของโมโนเอชิลกลีเซอรอลน้อยมาก

Bornscheuer และ Yamane (1994) ศึกษาจิกรรมและความคงตัวของเอนไซม์ไลเปสในปฏิกิริยากลีเซอโรไลซีสไตร โอดิน ที่มีสภาพเป็น solid-phase พบว่าเอนไซม์ไลเปสจาก *Chromobacterium viscosum* สามารถสังเคราะห์โมโนเอชิลกลีเซอ-รอลได้มากที่สุด 96 เปอร์เซ็นต์ ส่วนเอนไซม์ไลเปสจาก *Pseudomonas cepacia* จะมีความคงตัวสูงเมื่อตรีงกับเชื้อที่สามารถนำมาผลิตโมโนเอชิลกลีเซอรอลได้ 41 เปอร์เซ็นต์ เมื่อใช้เป็นเวลา 100 ชั่วโมง

### 8.5 สัดส่วนของน้ำมันหรือไขมันกับกลีเซอรอล

Kwon และคณะ (1995) นำเอนไซม์ไลเปสจาก *Mucor miehei*, *Pseudomonas fluorescens* และ *Rhizopus delemar* ถูกตีริงบนซิลิกาเจลผลิตโมโนน้ำมันหรือไดเอชิลกลีเซอโรลในเอกเซน เลือกใช้สัดส่วนของปาล์มน้ำมันกับกลีเซอรอล 5:10 ให้ผลผลิตทึ้งโมโนน้ำมันหรือไดเอชิลกลีเซอโรล 60 เปอร์เซ็นต์

McNeill และ Yamane (1991) พบว่าสัดส่วนโมลที่เหมาะสมในการผลิตโมโนเอชิลกลีเซอโรลของกลีเซอโรลกับไขมันวัวคือ 1: 5 ที่อุณหภูมิ 42 องศาเซลเซียสเป็นเวลา 96 ชั่วโมง โดยใช้เอนไซม์ไลเปสจาก *Pseudomonas fluorescens* และ *Chromobacterium viscosum* ทำงานได้ดีที่สุดและให้ผลผลิตโมโนเอชิลกลีเซอโรล 70 เปอร์เซ็นต์

Tuter และคณะ (1999) ศึกษาปฏิกริยาคลีเซอร์โร่ไลซีสของน้ำมันปาล์มและน้ำมันเมล็ดปาล์ม โดยใช้สัดส่วนโน้มของน้ำมันปาล์มต่อคลีเซอร์อลเท่ากับ 1:2 ที่อุณหภูมิ 40 องศาเซลเซียส ใช้อ่อนไชม์ไลเพสจาก *Rhizopus delemar* ให้ผลผลิตโมโน-ซิลิกลีเซอร์อล 66 และ 64 เปอร์เซ็นต์จากน้ำมันปาล์มและน้ำมันเมล็ดปาล์ม ตามลำดับ

### 8.6 ระยะเวลาการบ่ม

McNeill และ Yamane (1990) พบว่าในปฏิกริยาคลีเซอร์โร่ไลซีสของไขมันวัวโดยอ่อนไชม์ไลเพสจาก *Chromobacterium viscosum* เมื่อลดอุณหภูมิจาก 50 องศาเซลเซียส (20 ชั่วโมง) เป็น 40 องศาเซลเซียส จนกระทั่งครบ 50 ชั่วโมงจะได้โมโนเอชิลิกลีเซอร์อลสูงขึ้นเป็น 70 เปอร์เซ็นต์

Kamlangdeel และ Yamane (1996) ศึกษาปฏิกริยาคลีเซอร์โร่ไลซีสของน้ำมันมะกอกโดยใช้อ่อนไชม์ไลเพสจากเชื้อ *Chromobacterium viscosum* โดยใช้อุณหภูมิเริ่มต้น 25 องศาเซลเซียสเป็นเวลา 1 ชั่วโมงแล้วลดอุณหภูมิเป็น 10 องศาเซลเซียส ตามด้วย 5 องศาเซลเซียส จนครบ 72 ชั่วโมง เกิดโมโนเอชิลิกลีเซอร์อล 90 เปอร์เซ็นต์

Stevenson และคณะ (1993) ใช้ลิโปไชม์ในปฏิกริยาคลีเซอร์โร่ไลซีสของไขมันวัวเพื่อผลิตโมโนเอชิลิกลีเซอร์อลพบว่าถ้าใช้อุณหภูมิ 50 องศาเซลเซียสลดลง ปฏิกริยา เกิดโมโนเอชิลิกลีเซอร์อล 35 เปอร์เซ็นต์ แต่เมื่อใช้อุณหภูมิ 50 องศาเซลเซียส เป็นเวลา 24 ชั่วโมงแล้วลดอุณหภูมิลงเป็น 42 องศาเซลเซียส จนสิ้นสุดปฏิกริยา เกิดโมโนเอชิลิกลีเซอร์อลเพิ่มขึ้นเป็น 50 เปอร์เซ็นต์

## 9. เทคนิคการวัดปริมาณโมโนเอชิลิกลีเซอร์อล

### 9.1 แก๊สโครมารอยโคGRAFİ (Gas Chromatography, GC)

แก๊สโครมารอยโคGRAFİ เป็นรูปแบบหนึ่งของกระบวนการแยกสารทางโครมารอยโคGRAFİ เกี่ยวข้องกับการแจกแจง (distribution) หรือ พาร์ทิชัน (partitioning) ของการประกอบใดๆ ระหว่างวัตถุภาค (phase) ที่แตกต่างกันสองวัตถุภาค ซึ่งเป็นวัตถุภาคที่เคลื่อนที่ (mobile phase) วัตถุภาคหนึ่ง และวัตถุภาคที่คงที่ (stationary phase) อีกวัตถุภาคหนึ่ง ใน

ของพัฒนาระบบหดหายๆ พาร์ทิชัน หรือแบ่งองค์ประกอบของอยู่แต่กันไประหว่างวัสดุภาคสองวัสดุภาค ขึ้นอยู่กับความสามารถในการละลายสัมพัทธ์ (relative solubility) ในแต่ละวัสดุภาค เมื่อสารประกอบในของพัฒนาระบบเคลื่อนที่ผ่านวัสดุภาคคงที่ โดยมีวัสดุภาคเคลื่อนที่นำไป มันจะถูกเหนี่ยวยังมากน้อยแตกต่างกันไป เนื่องจากความสามารถในการละลายที่ต่างกันและจะถูกแยกออกจากกัน สารใดที่มีความสามารถในการละลายในวัสดุภาคคงที่มากกว่า ก็จะใช้เวลามากกว่า ในการเคลื่อนที่ออกจาก columน์ James และ Martin ผู้ให้กำเนิดเทคนิคแก๊สโคมาโทกราฟได้เป็นผู้เริ่มใช้แก๊สเหลืออยเป็นวัสดุภาคเคลื่อนที่หรือแก๊สพา (carrier gas) ในปี ค.ศ. 1952 ส่วนวัสดุภาคของเหลวที่มีมวลไม่เล็กสูง ซึ่งอยู่ที่พื้นผิวที่ละเอียดของอนุภาคน้ำแข็งรองรับ (solid support) และปัจจุบันนิยมเคลื่อนยานของเหลวที่เป็นวัสดุภาคคงที่ไวบนผนังด้านในของท่อคัพลลารี (capillary tubing) ที่มีขนาดบาง (ากัสตรา ชนิดที่, 2537)

Stevenson และคณะ (1993) ใช้เทคนิคแก๊สโคมาโทกราฟในการแยกสารประกอบในโนนเอซิลิกลีเซอรอล ไคลอฟิลิกลีเซอรอล และไตรเอซิลิกลีเซอรอลออกจากกันโดยเครื่อง Hewlett-Packard HP 5890 ใช้แก๊สไฮโดรเจนเป็นตัวพา ใช้คอลัมน์ชนิด HP Ultra 1 ใช้อุณหภูมิ 340 องศาเซลเซียส เป็นเวลา 10.นาที

Millqvist และคณะ (1994) แยกสารประกอบไขมันโดยใช้เทคนิคแก๊สโคมาโทกราฟ ใช้คอลัมน์ชนิด DB-1 ใช้แก๊สไฮเดรนเป็นแก๊สตัวพา อุณหภูมิ 350 องศาเซลเซียส เป็นเวลา 1 นาที ซึ่งสามารถแยกสารประกอบกลีเซอไรด์ได้ เช่น เอสเตอโร่ กรดไขมัน โนโนเอซิลิกลีเซอรอล ไคลอฟิลิกลีเซอรอล และไตรเอซิลิกลีเซอรอล

## 9.2 โคมาโทกราฟแบบของเหลวสมรรถนะสูง (High performance liquid chromatography หรือ high pressure liquid chromatography, HPLC)

การแยกและการวิเคราะห์สารด้วยวิธีนี้อาศัยหลักของการดูดซับ การแยกเปลี่ยนไออกอน ขนาดหรือโคมาโทกราฟแบบ reverse-phase วิธีนี้ใช้คอลัมน์ขนาดเล็กแต่มีความยาวบรรจุตัวกลางที่ทำด้วยแก้ว หรือพลาสติกที่เคลื่อนที่ด้วยตัวทำละลายที่อยู่กับที่เป็นขั้นบางๆ ส่วนตัวทำละลายเคลื่อนที่เป็นระบบ ตัวทำละลายที่ถูกดันให้เข้าสู่คอลัมน์ที่บรรจุด้วยตัวกลางอย่างแน่น สารละลายที่ต้องการวิเคราะห์ถูกผ่านไปใน

columน์ แล้วผ่านตัวทำละลายเคลื่อนที่ด้วยแรงดันสูง ถึง 10,000 ปอนด์ต่อตารางนิวตัน ซึ่งทำให้ลดเวลาการแยกและการวิเคราะห์สารอย่างมาก การตรวจสอบสารละลายที่ออกจาก columน์ ทำได้โดยการวัดการคุณภาพลีนแสงในช่วงอัลตราไวโอเลต บรรชนีหักเห (refractive index) หรือการวัดฟลูออเรสเซนซ์ (อาภัสสรา ชนิดที่, 2537)

Akoh และคณะ (1992) วิเคราะห์ปริมาณโนโนเอชิกลีเซอรอลที่ผลิตโดยใช้เอนไซม์ไลප์โดยใช้เทคนิค HPLC โดยเครื่อง Varex ELSD II A mass detector ใช้ columน์ชนิด ODS C-18 ขนาด 25 ซม. x 4.6 มม. ตัวทำละลายที่ใช้คือ อะซิโตน : อะซิโตไนโตรส (50 : 50 ปริมาตรต่อปริมาตร) อุณหภูมิ 120 องศาเซลเซียส ใช้แก๊สไนโตรเจน 60 บาร์ 21 ปอนด์ต่อตารางนิวตัน ความเร็ว 1.5 มิลลิลิตรต่อนาที สามารถแยกสารประกอบไตรเอชิกลีเซอรอล 1,3-ไดเอชิกลีเซอรอล โนโนเอชิกลีเซอรอลและกรดไขมัน ได้อย่างสมบูรณ์

### 9.3 Thin layer Chromatography-Flame Ionization Detection (TLC/FID)

Thin layer Chromatography-Flame Ionization Detection (TLC/FID) เป็นการแยกของผสมในสารละลาย เช่น แยกลิปิด ก่อนที่จะใช้วิธีแยกลิปิดชนิดต่างๆ ออกจากกัน ต้องสกัดลิปิดออกมาก่อนโดยใช้สารผสมของคลอโรฟอร์มและเมทานอล แล้วนำมาแยกผ่านแท่งแก้วที่เคลือบบางๆ ด้วยตัวคุดซับ (adsorbent) เช่น ซิลิกาเจล หรือ อะลูมีนา (alumina) แห่งแก้วที่ถูกเคลือบแล้วจะถูกปล่อยให้แห้งแล้วอบด้วยความร้อนที่อุณหภูมิสูงและระยะเวลาที่กำหนดเรียกว่า แอคติเวชัน (activation) เป็นการกำจัดน้ำออกจากตัวคุดซับ เพื่อเพิ่มการคุดซับของตัวคุดซับ การแยกสารด้วยวิธีอาศัยหลักที่ว่า สารแต่ละชนิดมีอัตราการเคลื่อนที่บนตัวคุดซับไม่เท่ากัน สารบางชนิดจะถูกคุดซับไว้ด้วยตัวคุดซับ ซึ่งเป็นส่วนคงที่ แต่บางชนิดจะถูกพาให้เคลื่อนที่ด้วยส่วนเคลื่อนที่ การแยกทำเหมือนกันกับโคมไฟแบบกระดาษ โดยให้ตัวทำละลายจะจากข้างล่างขึ้นไปข้างบน รากฐานการแยกเกี่ยวข้องกับการคุดซับ โดยแรง Vander Waals พันธะไส้โครงสร้าง และการแยกเปลี่ยนประจุ นอกจากนี้ยังมีการแบ่งการละลายเข้ามาเกี่ยวข้องด้วย (อาภัสสรา ชนิดที่, 2537) การตรวจหาตำแหน่งของลิปิดที่แยกออกจากกัน ใช้ hydrogen flame ionization detector

Tanaka และคณะ (1980) ศึกษาการวัดปริมาณของสารประกอบกลีเซอโรลด์ เช่น 1-โนโนเอชิลกลีเซอรอล 2-โนโนเอชิลกลีเซอรอล กรดไขมัน 1,2-ไดเอชิลกลีเซอรอล 1,3-ไดเอชิลกลีเซอรอล รวมทั้งไตรเอชิลกลีเซอรอลด้วย TLC/FID ซึ่งแยกสารแต่ละชนิด ด้วย Chromarod S-II ที่เคลือบด้วยซิลิกาเจล สารตัวทำละลายใช้สารผสมของ คลอโรฟอร์ม : อะซิโตน : กรดอะซิติก (100 : 1 : 1) นำ Chromarod S-II มาหาปริมาณ สารประกอบกลีเซอโรลด์โดยระบบอัตโนมัติโดย hydrogen flame ionization detector ค่าที่ได้จะแสดงในรูปเปื้อร์เซ็นต์ peak

Yamane และคณะ (1986) วัดปริมาณสารประกอบที่ได้จากปฏิกิริยากลีเซอโรไลซีสของไขมันโดย TLC/FID โดยใช้สารตัวทำละลายที่มีส่วนผสมของ เบนซีน : คลอโรฟอร์ม : กรดอะซิติก (70 : 30 : 2) ภายใต้สภาวะที่มีแก๊สไฮโดรเจน 0.7 กิโลกรัม ต่อตารางเมตร, อัตราการไหลของแก๊สเท่ากับ 2,000 มิลลิลิตรต่อนาที เวลาในการ สแกนเท่ากับ 30 วินาทีต่อสแกน โดยระบบอัตโนมัติโดย hydrogen flame ionization detector ค่าที่ได้จะแสดงในรูปเปื้อร์เซ็นต์ peak พบร่วมกับสารแยกการประกอบพวกไตรเอชิลกลีเซอรอล 1,2-ไดเอชิลกลีเซอรอล 1,3-ไดเอชิลกลีเซอรอล 1-โนโนเอชิลกลีเซอรอล 2-โนโนเอชิลกลีเซอรอล กรดไขมันและกลีเซอรอลออกจากกันได้อย่างสมบูรณ์

## วัตถุประสงค์

เพื่อตรึงเอนไซม์ไอลิปสแล้วนำไปผลิตโนโนเอชิกลีเชอรอลจากน้ำมันปาล์มโดยการกลีเชอโร่ไลซีส

### ขอบเขตการวิจัย

1. ศึกษากิจกรรมการย่อยสลายน้ำมันปาล์มของเอนไซม์ไอลิปสชนิดต่าง ๆ
2. คัดเลือกเอนไซม์ไอลิปสที่เกิดปฏิกิริยากลีเชอโร่ไลซีสและให้ผลผลิตโนโนเอชิกลีเชอรอลได้สูงสุด
  3. ศึกษาคุณสมบัติของเอนไซม์ไอลิปสที่คัดเลือกได้
  4. คัดเลือกตัวพยุงที่เหมาะสมในการตรึงเอนไซม์ไอลิปสที่คัดเลือกได้
  5. ศึกษาสภาวะที่เหมาะสมในการตรึงเอนไซม์
  6. ศึกษาสภาวะที่เหมาะสมต่อการนำเอนไซม์ไอลิปสตึงรูปไปใช้ในปฏิกิริยากลีเชอโร่ไลซีสของน้ำมันปาล์มและผลิตโนโนเอชิกลีเชอรอลได้สูงสุด
  7. ศึกษาการนำเอนไซม์ไอลิปสตึงรูปกลับมาใช้ใหม่

## บทที่ 2

### วัสดุอุปกรณ์และวิธีการ

วัสดุ

#### 1. วัตถุคิน

น้ำมันปาล์ม โอลีเยน ชื่อทางการค้า “มรกต” ผลิตโดย บริษัทมรกตอินคัสตรีส์ จำกัด (มหาชน)

#### 2. เอนไซม์

เอนไซม์ไอลเปสทางการค้านิคผง 5 ชนิด คือ ไอลเปส LP (*Chromobacterium viscosum*) ได้รับความเอื้อเพื่อจากบริษัท Asahi Chemical ประเทศญี่ปุ่น ไอลเปส M (*Mucor javanicus*), ไอลเปส PS (*Pseudomonas* sp.), ไอลเปส AK (*Pseudomonas fluorescens*) และ ไอลเปส D (*Rhizopus delemar*) ได้รับความเอื้อเพื่อจากบริษัท Amano Seiyaku ประเทศญี่ปุ่น

#### 3. ตัวพยุง

แคลเซียมคาร์บอเนต ( $\text{CaCO}_3$ , Softon 3200) ผลิตโดย Shiraishi Calcium Co. Ltd, Osaka ประเทศญี่ปุ่น

แคลเซียมซัลเฟต ( $\text{CaSO}_4 \cdot 2\text{H}_2\text{O}$  Type SF) ผลิตโดย Mutsumi Chemical Co. Ltd, Osaka ประเทศญี่ปุ่น

แคลเซียมไฟฟอฟอสเฟต ( $\text{Ca}_2\text{P}_2\text{O}_7$ , Type 504014 T) ผลิตโดย Taihei Chemical Industries Co. Ltd, Osaka ประเทศญี่ปุ่น

ซีไลท์ (Celite Hyflo super-Cel) ผลิตโดย Johns-Manville ประเทศญี่ปุ่น

ซิลิกาเจล 60 (Silica gel 60) ขนาด 200 ไมโครเมตร ผลิตโดย Merck

แอคคูเรล (Accurel หรือ Polypropylene powder EP-100 ผลิตโดย Enka AG Obernberg ประเทศเยอรมัน

#### 4. สารเคมี

สารเคมีที่ใช้ในการหาค่ากิจกรรมของเอนไซม์ไลเปส ปริมาณโปรตีน ค่าสปอร์โนฟิเกชัน (saponification) ปริมาณไตรอซิลก็อตีเซอรอล ไดเอชิลก็อตีเซอรอล โนโนเอชิลก็อตีเซอรอลและกรดไขมัน รายละเอียดในภาคผนวก ก

#### อุปกรณ์

เครื่องกรองแบบสุญญากาศ รุ่น A-3S ของ Tokyo Rikakikai Co., Ltd. ประเทศญี่ปุ่น

เครื่องเขย่าแบบควบคุมอุณหภูมิ รุ่น 3525-ICC ของ Lab-Line Co., Ltd. ประเทศอังกฤษ

เครื่องหมุนเหวี่ยงแยก รุ่น Centurion 8000 ของ Centurion, Scientific Co., Ltd. ประเทศอังกฤษ

สเปกโตร ไฟโตมิเตอร์ รุ่น U-2000 ของ Hitachi Koki Co., Ltd. ประเทศญี่ปุ่น

เครื่องวัดพีเอช รุ่น 320 ของ Denver Instrument Co., Ltd. ประเทศสหรัฐอเมริกา

ตู้ควบคุมอุณหภูมิ รุ่น BE 500 ของ Memmert Co., Ltd. ประเทศเยอรมัน

เดสิเกเตอร์แบบสุญญากาศ ประเทศไทยญี่ปุ่น

อ่างน้ำควบคุมอุณหภูมิ รุ่น W350 ของ Memmert ประเทศไทยเยอรมัน

Thin-Layer Chromatography/Flame Ionization Detection (TLC/FID) รุ่น Iatroscan MK-5 ของ Iatron Laboratories, Tokyo ประเทศไทยญี่ปุ่น

#### วิธีการวิเคราะห์

##### 1. การวิเคราะห์กิจกรรมการย่อยสลายน้ำมันของเอนไซม์ไลเปสอิสระ

ใช้วิธี two-phase emulsion system ดัดแปลงจากวิธีของ Lee และ Rhee (1993)

###### 1.1 สารผสมในปฏิกิริยา

สารผสมในปฏิกิริยาประกอบด้วยน้ำมันปาล์ม โอลีอินท์ลาร์ในไออกเทน

ร้อยละ 10 (น้ำหนักต่อปริมาตร) 1.0 มิลลิลิตร สารละลายน้ำฟเฟอร์ฟีโซช 7.0 ปริมาตร 0.5 มิลลิลิตร ผสมให้เข้ากันในหลอดทดลองฝ่าเกลียวขนาด 5 มิลลิลิตรจากนั้นเติมสารละลายน้ำโซเดียมไฮโดรเจนคาร์บอเนต 0.2 ปริมาตร นำไปปั่นบนเครื่องเพื่อความเร็ว 500 รอบต่อนาที ที่อุณหภูมิ 30 องศาเซลเซียส เป็นเวลา 30 นาที เมื่อครบเวลาจะหยุดปฏิกิริยาโดยการเติมสารละลายกรดไฮโคลอโริกเข้มข้น 6.0 โนลาร์ ปริมาตร 0.3 มิลลิลิตร ปั่นผสมให้เข้ากันอย่างรวดเร็วทั้งไว้ให้แยกชั้น

## 1.2 วิธีวิเคราะห์ปริมาณกรดไขมัน

การวิเคราะห์หาปริมาณกรดไขมันอิสระใช้วิธี cupric acetate method (Kwon and Rhee, 1986) โดยดูดสารละลายส่วนบนในปฏิกิริยาจากข้อ 1.1 มาเจือจางกับไอโซออกเทน ให้ได้ปริมาตร 1 มิลลิลิตร นำไปทำปฏิกิริยากับสารละลาย cupric acetate-pyridine reagent (ภาคผนวก ก) ปริมาตร 0.4 มิลลิลิตร ปั่นผสมให้เข้ากันอย่างรวดเร็วทั้งให้แยกชั้น นำส่วนของไอโซออกเทนไปวิเคราะห์หาปริมาณกรดไขมันอิสระโดยการวัดการดูดกลืนแสงที่ความยาวคลื่น 715 นาโนเมตร วัดปริมาณกรดไขมันที่ปลดปล่อยออกมานเปรียบเทียบกับกราฟมาตรฐานในรูปของกรดปาล์มิติก(ภาคผนวก ก)

กำหนดให้ 1 หน่วยของเอนไซม์ หมายถึงปริมาณของเอนไซม์ไฮเดรตที่สามารถเร่งปฏิกิริยาการย่อยสารอาหารน้ำมันปาล์มให้ได้กรดไขมันอิสระในรูปปาล์มิติก ปริมาณ 1 ไมโคร โนล นานาที ที่อุณหภูมิ 30 องศาเซลเซียส

## 2. การวิเคราะห์กิจกรรมของเอนไซม์ไฮเดรตเริงรูป

การวิเคราะห์กิจกรรมของเอนไซม์ไฮเดรตเริงรูป ทำการทดลองเช่นเดียวกับการวิเคราะห์กิจกรรมเอนไซม์ไฮเดรตอิสระ เพียงแต่ใช้เอนไซม์ตระกูล 5 มิลลิกรัม แทนการใช้สารละลายน้ำโซเดียมไฮเดรต

## 3. การวิเคราะห์หาปริมาณโปรตีนที่เป็นองค์ประกอบของเอนไซม์

การวิเคราะห์หาปริมาณโปรตีนที่เป็นองค์ประกอบของเอนไซม์ใช้วิธีของ

Lowry และคณะ (1951) โดยใช้ bovine serum albumin (BSA) เป็นโปรดต์นมาตรฐาน  
(ภาคผนวก ก)

#### 4. การวิเคราะห์หาปริมาณโนโนเอชิกลีเซอรอล

การวิเคราะห์หาปริมาณโนโนเอชิกลีเซอรอลด้วย方法ของ Rosu และคณะ (1997) สูตรตัวอย่างก่อนและหลังการเกิดปฏิกิริยากลีเซอโรไลซีส 5-10 มิลลิกรัม นำมาละลายในสารละลายผสมคลอโรฟอร์มและเมทานอล (1:1) 0.3 มิลลิลิตร เขย่าและปั่นให้เหวี่ยงแยกที่ความเร็ว 8,100 g เป็นเวลา 5 นาที เพื่อแยก出ไขมันทรีงูปออก ดูดส่วนไถข้างบนมาผสมกับน้ำ 0.1 มิลลิลิตร เขย่าแล้วปั่นให้เหวี่ยงแยกที่ความเร็ว 8,100 g เป็นเวลา 2 นาที เพื่อแยกกลีเซอรอลออก ดูดส่วนล่างซึ่งเป็นส่วนของคลอโรฟอร์มเก็บในไมโครเซนติฟิวต์ ส่วนบนเป็นน้ำสักดือก 2-3 ครั้งด้วยคลอโรฟอร์มครั้งละ 0.1 มิลลิลิตร นำไปทำให้เข้มข้นโดยผ่านแก๊สในโตรเจนเป็นเวลา 10 นาที ก่อนการวิเคราะห์นำมาละลายด้วยคลอโรฟอร์ม 0.2 มิลลิลิตร วิเคราะห์หาปริมาณ ไตรเอชิกลีเซอรอล 1.3 ไดเอชิกลีเซอรอล 1.2 ไดเอชิกลีเซอรอล โนโนเอชิกลีเซอรอล และ กรดไขมันอิสระด้วย Thin-Layer Chromatography/Flame Ionization Detection analyzer (TLC/FID analyzer) สำหรับขั้นตอนและสภาวะที่ใช้ในการวิเคราะห์สารประกอบกลีเซอโรไลต์ด้วย TLC/FID analyzer มีดังนี้

ใช้ quartz rods (Chromarod S-III) ในกรดบอร์บิก (3% น้ำหนักต่อปริมาตร) เป็นเวลา 3 นาที แล้วนำ quartz rods ไปสแกนด้วย TLC/FID analyzer นำตัวอย่างที่เตรียมหายดบน quartz rods ประมาณ 1-3 ไมโครกรัม ทิ้งไว้ให้แห้งประมาณ 5 นาที นำ quartz rods ไปแช่ในสารละลายซึ่งประกอบด้วย เบนซิน : คลอโรฟอร์ม : กรดอะซิติก (70 : 30 : 2) จนสารละลายเคลื่อนที่สูงประมาณ 10 เซนติเมตร นำ quartz rods ไปอบแห้งที่ 120 องศาเซลเซียส เป็นเวลา 5 นาที แล้วนำมาวิเคราะห์ภายใต้สภาวะที่มีอัตราการไอนอลของแก๊สไฮโดรเจน 160 มิลลิลิตรต่อนาที ของอากาศ 2,000 มิลลิลิตรต่อนาที และเวลาที่ใช้สแกนเท่ากับ 30 วินาทีต่อสแกน สแกนโดยระบบอัตโนมัติด้วย Iatroscan ผลการทดลองคำนวนได้จากพื้นที่ของ peak ซึ่งเปรียบเทียบในรูปเปอร์เซ็นต์ของพื้นที่ของแต่ละ peak

## วิธีการศึกษา

ในแต่ละขั้นตอนของการศึกษาจะมีการวางแผนการทดลองแบบสุ่มตกลอต (Completely randomized design , CRD) โดยกำหนดให้จำนวนช้ำ (replication) ในการศึกษาแต่ละครั้งเท่ากับ 3 ช้ำ และวิเคราะห์ความแตกต่างของค่าเฉลี่ยโดยวิธี Duncan' s new multiple - range test (DMRT)

### 1. การวิเคราะห์ค่ากิจกรรมการย่อยสลายน้ำมันปาล์มของเอนไซม์ไอลเปส

ในการทดลองใช้เอนไซม์ 5 ชนิด คือ เอนไซม์ ไอลเปส LP, ไอลเปส M, ไอลเปส PS, ไอลเปส AK และ ไอลเปส D เตรียมสารละลายเอนไซม์ไอลเปส โดยชั่งเอนไซม์ไอลเปส ชนิดพองแต่ละชนิดให้มีความเข้มข้นเท่ากับ 1 มิลลิกรัมต่อมิลลิลิตร ละลายในสารละลายฟอสเฟตบีฟเฟอร์เข้มข้น 0.1 โมลาร์ พีอ็อก 7.0 บ่มปฏิกิริยาที่อุณหภูมิ 30 องศาเซลเซียส เป็นเวลา 30 นาที วิเคราะห์หาค่ากิจกรรมการย่อยสลายของเอนไซม์และปริมาณโปรตีนค่านวณเป็นค่ากิจกรรมจำเพาะ (specific activity) ของเอนไซม์

### 2. การคัดเลือกเอนไซม์ไอลเปสที่ใช้ในปฏิกิริยาถีช่อโรไลซีสของน้ำมันปาล์มเพื่อผลิตโนโนเอชิกลีเชอรอล

การหาชนิดของเอนไซม์ไอลเปสที่เหมาะสมต่อการเกิดกลีเชอโรไลซีสของน้ำมันปาล์ม โดยพิจารณาจากปริมาณโนโนเอชิกลีเชอรอลในปฏิกิริยา ซึ่งมีขั้นตอนในการคัดเลือกดังนี้

ชั่งเอนไซม์ไอลเปสชนิดพองแต่ละชนิดให้มีค่ากิจกรรมการย่อยสลายเท่ากับ 7,000 ยูนิต (ตามที่ระบุทางการค้า) ละลายในกลีเชอรอล 2.84 กรัม ที่มีน้ำ 4% เติมน้ำมันปาล์ม 13.07 กรัม (ตัดส่วนโนโนเอชิกลีเชอรอลต่อน้ำมันปาล์มเท่ากับ 2.0) ทำในสภาพ solid-phase ไม่มีการเติมสารตัวทำละลายในปฏิกิริยา (McNeill, et al., 1990) บ่มที่อุณหภูมิห้อง ใช้ความเร็วในการปั่นสูง 600 รอบต่อนาที โดยใช้เครื่องกวานแบบแม่เหล็ก สุ่มตัวอย่างที่เวลา 0, 6, 24, 48, 72 และ 96 ชั่วโมง วิเคราะห์หาปริมาณโนโนเอชิกลีเชอรอลด้วย TLC/FID analyzer

คัดเลือกเอนไซม์ที่ให้ปริมาณโมโนแอซิลิกสีเชอรอลสูงสุด นำมาศึกษาคุณสมบัติต่างๆ ของเอนไซม์ดังนี้

### 2.1 ผลของอุณหภูมิต่อกิจกรรมการย่อยสลาย

วิเคราะห์กิจกรรมการย่อยสลายของเอนไซม์ที่คัดเลือกได้ที่อุณหภูมิห้อง(30 องศาเซลเซียส) และ อุณหภูมิ 35, 40, 45, 50, 55 และ 60 องศาเซลเซียส ตามลำดับ คำนวณกิจกรรมเอนไซม์เป็นกิจกรรมสัมพัทธ์ (relative activity)

$$\text{กิจกรรมสัมพัทธ์ (\%)} = \frac{\text{กิจกรรมของเอนไซม์ที่สภาพต่างๆ}}{\text{กิจกรรมของเอนไซม์ที่สภาพideal}} \times 100$$

### 2.2 ผลของพีเอชต่อกิจกรรมการย่อยสลาย

วิเคราะห์กิจกรรมของเอนไซม์ที่คัดเลือกได้โดยใช้สารละลายซิเตรทบัฟเฟอร์ (0.1 โมลาร์) พีเอช 4.5, 5.0, 5.5 สารละลายฟอสไฟฟ์บัฟเฟอร์ (0.1 โมลาร์) พีเอช 6.0, 6.5, 7.0, 7.5, 8.0 และ 8.5 โดยบ่มที่อุณหภูมิที่เหมาะสมสมต่อกิจกรรมเอนไซม์ (ข้อ 2.1 ) คำนวณกิจกรรมเอนไซม์เป็นกิจกรรมสัมพัทธ์

### 2.3 ความคงตัวต่ออุณหภูมิของเอนไซม์

นำเอนไซม์ไลเปสที่คัดเลือกได้บ่มในอ่างน้ำแบบควบคุมอุณหภูมิ ที่อุณหภูมิ 30 องศาเซลเซียส และ 35, 40, 45, 50, 55 และ 60 องศาเซลเซียส เป็นเวลา 0, 6, 12, 18 และ 24 ชั่วโมง เมื่อครบเวลานำเอนไซม์ไปวิเคราะห์กิจกรรมของเอนไซม์ โดยใช้อุณหภูมิและพีเอชที่เหมาะสมจากข้อ 2.1 และ 2.2 ตามลำดับ คำนวณกิจกรรมที่ได้เป็นเบอร์เซ็นต์กิจกรรมที่เหลือ (residual activity)

$$\text{กิจกรรมที่เหลือ (\%)} = \frac{\text{กิจกรรมที่ระยะเวลาideal}}{\text{กิจกรรมที่ระยะเวลาเริ่มต้น}} \times 100$$

## 2.4 ความคงตัวต่อพื้นที่ของอนไซน์

นำอนไซน์ไม่ไอลเปสที่คัดเลือกได้ ละลายในบัพเพอร์ ที่มีพื้นที่ทางเดียวกับ 4.5, 5.0, 6.0, 6.5, 7.0, 7.5, 8.0 และ 8.5 (ตามที่ระบุไว้ในข้อ 2.2) บ่มเป็นเวลา 0, 6, 12, 18 และ 24 ชั่วโมง ที่อุณหภูมิที่เหมาะสม (จากข้อ 2.1) เมื่อครบเวลานำไปวิเคราะห์กิจกรรมของอนไซน์โดยใช้อุณหภูมิและพื้นที่เหมาะสม (จากข้อ 2.1 และ 2.2) คำนวณกิจกรรมที่ได้เป็นปอร์เซนต์กิจกรรมที่เหลือ

## 3. การตรึงอนไซน์โดยวิธีการดูดซับบนตัวพยุง

ตรึงอนไซน์ไม่ไอลเปสที่คัดเลือกได้ (จากข้อ 2) ด้วยวิธีการยึดเกาะบนตัวพยุง 6 ชนิด คือ ซีไลท์, แอค幽เรล, ซิลิกาเจล, แคลเซียมคาร์บอนเนต, แคลเซียมซัลเฟตและแคลเซียมไฟฟอฟอสฟेट โดยคัดแปลงวิธีของ Rosn และคณะ (1997) เตรียมสารละลายอนไซน์ไม่ไอลเปสให้มีความเข้มข้นเท่ากับ 2.0 มิลลิกรัมต่อมิลลิลิตรในสารละลายบัพเพอร์ พื้นที่ 7.0 ใช้สารละลายไอลเปสที่เตรียมได้ปริมาตร 5 มิลลิลิตร ผสมกับตัวพยุงแต่ละชนิด 2.0 กรัม ผสมให้เข้ากันด้วยเครื่องวนแบบแม่เหล็กความเร็ว 100 รอบต่อนาที เป็นเวลา 1 ชั่วโมง ที่อุณหภูมิ 30 องศาเซลเซียส เติมอะซิโตน 20 มิลลิลิตร นำส่วนผสมที่ได้ไปกรองผ่านกรรดาษ Whatman เบอร์ 1 ด้วยเครื่องกรองระบบสุญญากาศ เก็บสารละลายที่ได้และนำไปวัดปริมาตรและวิเคราะห์หาค่ากิจกรรมของอนไซน์ที่เหลือและปริมาณโปรตีน ล้างตัวพยุงอีกครั้งด้วยสารละลายอะซิโตน ปริมาตร 20 มิลลิลิตร นำอนไซน์ที่ผ่านการตรึงไปทำแห้งในโอดูดความชื้นที่อุณหภูมิห้อง เป็นเวลา 8 ชั่วโมง ซึ่งนำหันก่อนอนไซน์ที่ผ่านการตรึงทั้งหมด

วิเคราะห์หาประสิทธิภาพการยึดเกาะ (immobilization ratio) และกิจกรรมอนไซน์หลังการยึดเกาะ (activity yield) และวิเคราะห์กิจกรรมการย่อยสลายของอนไซน์ไอลเปสตริงรูปตามวิธีวิเคราะห์ข้อ 2 คำนวณในรูปกิจกรรมอนไซน์หลังการยึดเกาะ ประสิทธิภาพการยึดเกาะ และ นำอนไซน์ไอลเปสตริงรูปที่ได้ไปใช้ในปฏิกริยาคี化的ไอลเปสของน้ำมันปาล์ม โดยทดลองภายใต้สภาวะเดียวกับอนไซน์มีสระ คัดเลือกตัวพยุงที่มีกิจกรรมของอนไซน์ที่ถูกตรึงสูงสุดและสามารถผลิตโนโนเอชิกลีเซอรอลสูงสุด

$$\text{ประสิทธิภาพการยึดเกาะ} = \frac{\text{กิจกรรมทั้งหมด} - \text{กิจกรรมที่ตกค้างในสารละลาย}}{\text{กิจกรรมทั้งหมด}} \times 100$$

(%)

$$\text{กิจกรรมเอนไซม์หลังการยึดเกาะ} = \frac{\text{กิจกรรมทั้งหมดของเอนไซม์ที่ถูกตึง}}{\text{กิจกรรมทั้งหมดของเอนไซม์อิสระ}} \times 100$$

(%)

#### 4. สาขาวิชาระบบท่อการตึงเอนไซม์บนตัวพยุงที่คัดเลือก

นำตัวพยุงที่คัดเลือกได้ในข้อ 3 มาตึงเอนไซม์ โดยศึกษาสาขาวิชาระบบท่อการตึงดังต่อไปนี้

##### 4.1 ความเข้มข้นของเอนไซม์

เตรียมสารละลายเอนไซม์สำหรับการตึงในอัตราความเข้มข้นต่างๆ คือ 0.5, 1.0, 1.5, 2.0, 2.5, 3.0 และ 4.0 มิลลิกรัมต่อมิลลิลิตร มาตึงเอนไซม์บนตัวพยุงที่คัดเลือกในข้อ 3 นำเอนไซม์ที่ตึงได้มาวิเคราะห์กิจกรรมของเอนไซม์ไปเปลี่ยนวิธีวิเคราะห์ข้อ 2 คัดเลือกระดับความเข้มข้นของเอนไซม์ที่น้อยที่สุดที่สามารถให้ค่ากิจกรรมเอนไซม์หลังการยึดเกาะสูงสุดสำหรับการศึกษาขั้นต่อไป

##### 4.2 อุณหภูมิในการตึง

ตึงเอนไซม์โดยใช้ความเข้มข้นที่เหมาะสมในข้อ 4.1 และควบคุมอุณหภูมิในระหว่างการตึง 3 ระดับ คือ อุณหภูมิ 4, 25 และ 30 องศาเซลเซียส วิเคราะห์ค่ากิจกรรมของเอนไซม์ไปเปลี่ยนวิธี คัดเลือกอุณหภูมิที่ให้ค่ากิจกรรมเอนไซม์หลังการยึดเกาะสูงสุดใช้สำหรับการตึงเอนไซม์ในขั้นต่อไป

##### 4.3 ระยะเวลาในการตึงเอนไซม์

ตึงเอนไซม์ใช้สาขาวิชาระบบท่อการตึง 4.1 และ 4.2 แต่ใช้เวลาในการตึงเท่ากับ 15, 30 นาที 1, 6 และ 12 ชั่วโมง คัดเลือกระยะเวลาที่ให้ค่ากิจกรรมเอนไซม์หลัง

การยึดเกาะสูงสุดและวิเคราะห์ค่าประสิทธิภาพการยึดเกาะเพื่อคัดเลือกระยะเวลาต่อๆ กันที่สูดที่ใช้ในการจับกันอย่างสมบูรณ์ระหว่างเอนไซม์กับตัวพยุง

## 5. ปัจจัยที่มีผลต่อปฏิกิริยากลีเซอโรไลซีสของน้ำมันปาล์ม

นำเอนไซม์ไลප์ตรีงูปในสภาวะที่เหมาะสมในข้อ 4 ศึกษาปัจจัยต่างๆ ในปฏิกิริยากลีเซอโรไลซีส เพื่อให้เอนไซม์มีกิจกรรมสูงสุดในการผลิตโมโนเอชิลกลีเซอโรล ปัจจัยที่ศึกษามีดังนี้

### 5.1 ผลของปริมาณเอนไซม์

ศึกษาปฏิกิริยากลีเซอโรไลซีสของน้ำมันปาล์ม เช่นเดียวกับเอนไซม์ไลপ์ อิสระ แต่ใช้ปริมาณเอนไซม์ไลป์ตรีงูป (จากข้อ 4) เท่ากับ 5, 10, 15, 20, 25 และ 30 ยูนิต วิเคราะห์หาปริมาณโมโนเอชิลกลีเซอโรลด้วย TLC/FID analyzer

### 5.2 ผลของสัดส่วนกลีเซอโรลต่อน้ำมันปาล์ม

ทำการทดลองเช่นเดียวกับข้อ 5.1 โดยใช้ปริมาณเอนไซม์ที่เหมาะสมจากข้อ 5.1 และสัดส่วนโมลกลีเซอโรลต่อน้ำมันปาล์มเท่ากับ 2.0, 2.5, 2.7, 3.7 และ 4.8 วิเคราะห์หาปริมาณโมโนเอชิลกลีเซอโรล เช่นเดียวกับข้อ 5.1

### 5.3 ผลของปริมาณน้ำในกลีเซอโรล

ทำการทดลองเช่นเดียวกับข้อ 5.1 โดยใช้ปริมาณเอนไซม์ที่เหมาะสมจากข้อ 5.1 และสัดส่วนกลีเซอโรลต่อน้ำมันปาล์มจากข้อ 5.2 แต่มีปริมาณน้ำในกลีเซอโรลเท่ากับ 0, 2, 4, 6, 8, 10 และ 12 เปอร์เซ็นต์ วิเคราะห์หาปริมาณโมโนเอชิลกลีเซอโรล เช่นเดียวกับข้อ 5.1

#### 5.4 ผลของอุณหภูมิ

ทำการทดลองเช่นเดียวกับข้อ 5.1 โดยใช้ปริมาณเอนไซม์ที่เหมาะสมจากข้อ 5.1 และสัดส่วนกลีเซอรอลต่อน้ำมันปาล์มจากข้อ 5.2 และปริมาณน้ำในกลีเซอรอลที่เหมาะสมจากข้อ 5.3 แต่บ่งที่อุณหภูมิเท่ากับ 30, 35, 40, 45, 50, 55 และ 60 องศาเซลเซียส วิเคราะห์หาปริมาณโมโนเอชิลกลีเซอรอลเช่นเดียวกับข้อ 5.1

#### 5.5 ผลของการเปลี่ยนเวลาในการบ่ม

ทำการทดลองเช่นเดียวกับข้อ 5.1 โดยใช้ปริมาณเอนไซม์ที่เหมาะสมจากข้อ 5.1 และสัดส่วนกลีเซอรอลต่อน้ำมันปาล์มจากข้อ 5.2 ปริมาณน้ำในกลีเซอรอลที่เหมาะสมจากข้อ 5.3 และบ่งที่อุณหภูมิเหมาะสมจากข้อ 5.4 เป็นเวลา 0, 6, 12, 24 และ 48 ชั่วโมง หลังจากนั้นลดอุณหภูมิเป็น 30, 25, 10 และ 5 องศาเซลเซียส จนครบ 120 ชั่วโมง วิเคราะห์หาปริมาณโมโนเอชิลกลีเซอรอลเช่นเดียวกับข้อ 5.1

### 6. การนำเอนไซม์ไอลิปสต์ริงรูปกลับมาใช้ใหม่

ทำการทดลองเช่นเดียวกับข้อ 5 หลังจากปฏิริยาดำเนินไปครบเวลาที่เหมาะสม แยกเอนไซม์ไอลิปสต์ริงรูปออกโดยนำสารละลายมาละลายด้วยอะซิโตน 100 มิลลิลิตร แล้วกรองด้วยกระดาษกรอง แล้วนำเอนไซม์ไอลิปสต์ริงที่ถูกต้องไปทำแห้งในโถดูดความชื้นที่อุณหภูมิห้อง 8 ชั่วโมง เก็บที่อุณหภูมิ 4 องศาเซลเซียส ก่อนนำไปใช้ในครั้งต่อไป ทำขั้นตอนนี้ง่ายกว่าเบอร์เซ็นต์การเกิดโมโนเอชิลกลีเซอรอลลดลงต่ำสุด วิเคราะห์หากิจกรรมการย่อยสลายของเอนไซม์ไอลิปสต์ริงรูป และปริมาณโมโนเอชิลกลีเซอรอลหลังสิ้นสุดปฏิริยาในแต่ละครั้ง

## บทที่ 3

### ผลและวิจารณ์

#### 1. กิจกรรมการย่อยสลายน้ำมันปาล์มของเอนไซม์ไอลเปส

การคัดเดือกชนิดของเอนไซม์ไอลเปสที่เหมาะสมต่อการย่อยสลายน้ำมันปาล์มในตัวทำละลายอินทรีย์โดยใช้ระบบ two-phase emulsion system จากเอนไซม์ไอลเปสทางการค้า 5 ชนิด คือ ไอลเปส LP (*Chromobacterium viscosum*), ไอลเปส PS (*Pseudomonas* sp.), ไอลเปส AK (*Pseudomonas fluorescens*), ไอลเปส D (*Rhizopus delemar*) และ ไอลเปส M (*Mucor javanicus*) ในขั้นต้นวิเคราะห์ค่ากิจกรรมของเอนไซม์ต่อการย่อยสลายน้ำมันปาล์มในไอโซออกเทน ผลการทดลองดังแสดงในตารางที่ 9 พบว่าสารละลายเอนไซม์ไอลเปส LP ซึ่งได้จากเชื้อ *Chromobacterium viscosum* ให้ค่ากิจกรรมการย่อยสลายน้ำมันปาล์มสูงสุดเมื่อเปรียบเทียบกับเอนไซม์ไอลเปสชนิดอื่นๆ โดยมีกิจกรรมเท่ากับ 165.5 ยูนิตต่อมิลลิกรัมเอนไซม์ และมีปริมาณโปรตีน 0.71 มิลลิกรัมต่อมิลลิกรัมเอนไซม์ คิดเป็นค่ากิจกรรมจำเพาะได้เท่ากับ 233.0 ยูนิตต่อมิลลิกรัมโปรตีน ทั้งนี้เนื่องจากเอนไซม์ไอลเปสจาก *Chromobacterium viscosum* เป็นเอนไซม์ที่ไม่มีความจำเพาะต่อการย่อยสลายตัวแทนต่างๆ บนโมเลกุลของไตรกลีเซอไรด์ (Macrae, 1983 ; Kimura, et al., 1983 ; Otero, et al., 1990 ; Malcata, et al., 1992) ทำให้สามารถย่อยสลายพันธะเอสเทอโรได้สมบูรณ์ และปฏิกิริยาจะไม่เกิดแบบข้อนกลับ ทำให้ได้ปริมาณกรดไขมันในปริมาณที่สูง (Okumura, et al., 1981) ส่วนเอนไซม์ไอลเปสจาก *Pseudomonas fluorescens* แม้จะเป็นเอนไซม์ไอลเปสที่ไม่มีความจำเพาะต่อการย่อยสลายโมเลกุลของไตรกลีเซอไรด์ แต่มีค่ากิจกรรมการย่อยสลายน้ำมันปาล์มน้อยกว่าเอนไซม์ไอลเปสจาก *Chromobacterium viscosum* ทั้งนี้อาจเป็นผลเนื่องจากความแตกต่างทางค่าน้ำสบายน้ำ สำหรับไอลเปส PS, D และ M ย่อยสลายน้ำมันปาล์มได้ต่ำกว่าทั้งๆ ที่ใช้ปริมาณเอนไซม์และระยะเวลาที่เท่ากัน ทั้งนี้เนื่องจากเอนไซม์เหล่านี้ส่วนใหญ่มีความจำเพาะต่อกรดไขมันในตัวแทนที่ 1 และ 3 บนโมเลกุลของไตรกลีเซอไรด์ทำให้เกิดการย่อยสลายที่ไม่สมบูรณ์ (Malcata, et al., 1992)

ตารางที่ 9 กิจกรรมการย่อยสลายน้ำมันปาล์มในระบบ two-phase emulsion system ของ  
ไอลเปสชนิดต่างๆ

ชนิดของเอนไซม์	กิจกรรม	โปรตีน	กิจกรรมจำเพาะ
	(ยูนิต/มก.)	(มก./มก.)	(ยูนิต/มก. โปรตีน)
ไอลเปส LP ( <i>C. viscosum</i> )	165.5	0.71	233.0
ไอลเปส PS ( <i>Pseudomonas sp.</i> )	7.5	0.04	186.1
ไอลเปส AK ( <i>P. fluorescens</i> )	7.0	0.18	39.0
ไอลเปส D ( <i>R. delemar</i> )	132.5	0.75	176.6
ไอลเปส M ( <i>M. javanicus</i> )	5.8	0.23	29.0

## 2. เอนไซม์ไอลเปสที่เหมาะสมต่อการผลิตโนโนเอชิกลีเชอรอล

การคัดเลือกชนิดของเอนไซม์ไอลเปส ที่มีความเหมาะสมต่อการผลิตโนโนเอชิกลีเชอรอล โดยปฏิกริยาคลีเซอโรไอลซีสของน้ำมันปาล์ม สามารถที่ใช้ศึกษา คือ เอนไซม์ไอลเปสทางการค้า 7,000 ยูนิต (ระบุทางการค้า) ละลายในกลีเชอรอล 2.84 กรัม ที่มีน้ำ 4% เติมน้ำมันปาล์ม 13.07 กรัม (สัดส่วนโนโนเอชิกลีเชอรอลต่อน้ำมันปาล์มเท่ากับ 2.0) ที่ อุณหภูมิ 30 องศาเซลเซียส เป็นเวลา 72 ชั่วโมง จากการคัดเลือกเอนไซม์ไอลเปสทางการค้า 5 ชนิดดังกล่าวข้างต้น ผลการทดลองดังแสดงในตารางที่ 10 พบว่าเอนไซม์ไอลเปส LP จากเชื้อ *Chromobacterium viscosum* ให้ปริมาณโนโนเอชิกลีเชอรอลสูงสุดเท่ากับ 70 เปอร์เซ็นต์ สอดคล้องกับการทดลองของ McNeill และคณะ (1990) ซึ่งใช้เอนไซม์ไอลเปสจากเชื้อ *Chromobacterium viscosum* ในการคลีเซอโรไอลซีสของไขมันวัว สามารถผลิตโนโนเอชิกลีเชอรอลได้สูงสุด 70 เปอร์เซ็นต์ นอกจากนี้ Bornscheuer และ Yamane (1994) ศึกษาปฏิกริยาคลีเซอโรไอลซีสของไตรโอลินโดยเอนไซม์ไอลเปสจาก *Chromobacterium viscosum* พบว่าให้ปริมาณโนโนเอชิกลีเชอรอลสูงสุด 90 เปอร์เซ็นต์ สำหรับไอลเปส PS, AK, D และ M ให้ปริมาณโนโนเอชิกลีเชอรอลที่ต่ำกว่าทั้งๆ ที่ใช้ปริมาณเอนไซม์และระยะเวลาที่เท่ากัน ดังนั้นจึงคัดเลือกไอลเปส LP สำหรับการทดลองต่อไป

ตารางที่ 10 ปริมาณสารประกอบต่างๆ ในปฏิกิริยาคลีเชอร์ไลซีสของน้ำมันปาล์ม ที่ อุณหภูมิ 30 องศาเซลเซียส โดยใช้อ่อนไชม์ໄไลเปส 5 ชนิด

อ่อนไชม์	สารประกอบ (%)				
	TAG	1,3-DAG	1,2-DAG	MAG	FFA
ໄไลเปส LP	13	8	5	70	4
ໄไลเปส PS	14	11	14	48	12
ໄไลเปส AK	20	20	7	43	10
ໄไลเปส D	20	8	10	60	2
ໄไลเปส M	18	28	8	34	12

## 2.1 ผลของอุณหภูมิต่อการทำงานของอ่อนไชม์

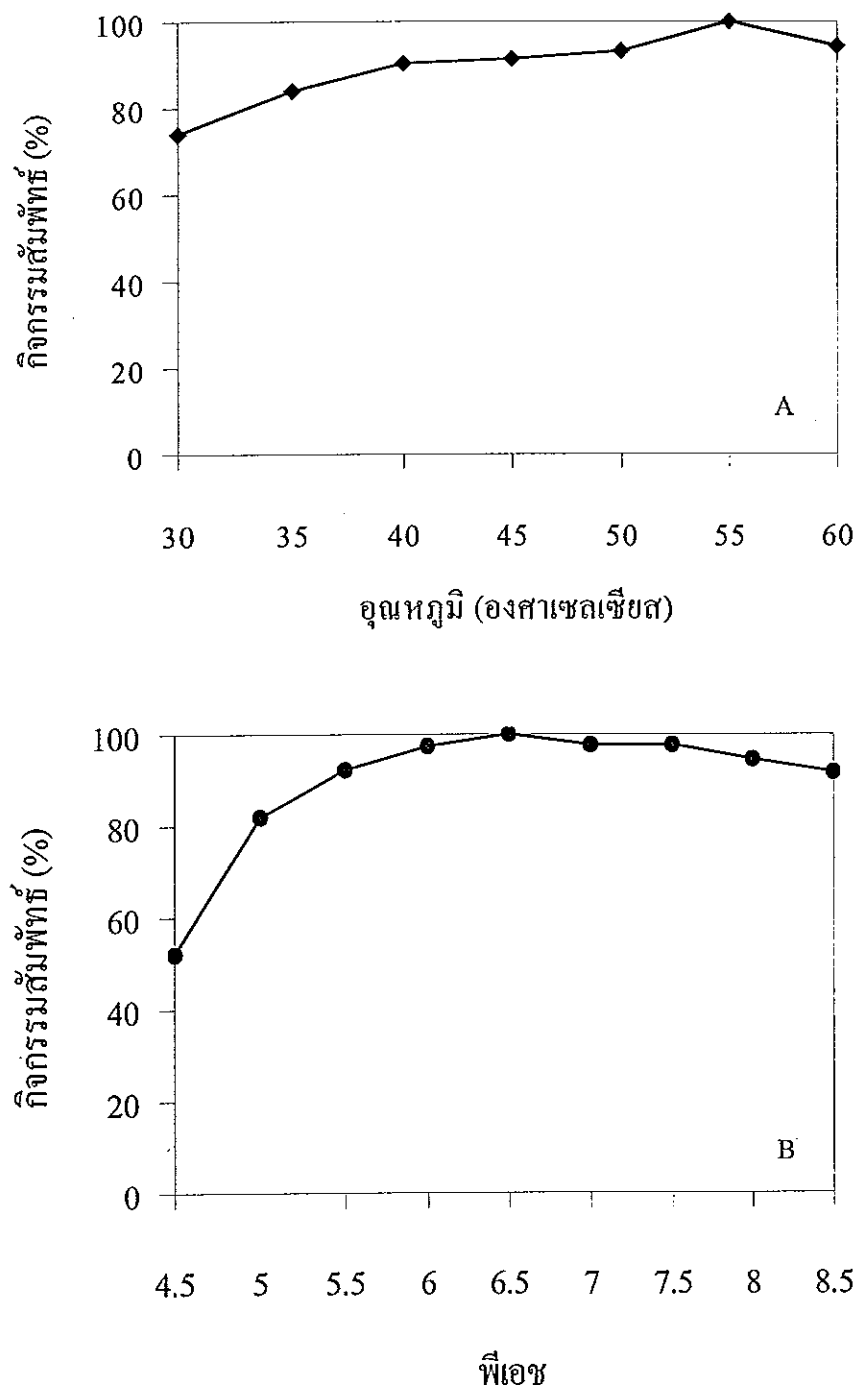
เมื่อวิเคราะห์กิจกรรมการย่อยสลายน้ำมันปาล์มของอ่อนไชม์ໄไลเปส LP ที่ อุณหภูมิต่างๆ ตั้งแต่ 30 ถึง 60 องศาเซลเซียส พบร่วมกับอุณหภูมิเพิ่มขึ้นกิจกรรมการ ย่อยสลายของอ่อนไชม์ก็เพิ่มขึ้นด้วยและมีค่าสูงสุดที่อุณหภูมิ 55 องศาเซลเซียส (223.8 นิตตองมิลลิตร) แต่ที่อุณหภูมิ 60 องศาเซลเซียสกิจกรรมของอ่อนไชม์ลดลงเล็กน้อย (ภาพ ที่ 6A) ซึ่งผลการทดลองสอดคล้องกับการศึกษาของ Castellar และคณะ (1996) พบร่วม อุณหภูมิที่เหมาะสมในการทำงานของอ่อนไชม์ໄไลเปสจาก *Chromobacterium viscosum* เท่ากับ 50 องศาเซลเซียส ซึ่งแตกต่างจากการทดลองของ Prazeresb และคณะ (1992) พบร่วมอุณหภูมิที่เหมาะสมในการทำงานของໄไลเปสจาก *Chromobacterium viscosum* เท่ากับ 35-42 องศาเซลเซียส ความแตกต่างนี้อาจเนื่องจากสับสเตรทที่ใช้ต่างกัน แต่จะเห็นได้ว่าอ่อนไชม์ໄไลเปสจากเชื้อ *Chromobacterium viscosum* สามารถทำงานได้ดีที่อุณหภูมิสูง มากกว่าที่อุณหภูมิต่ำ

## 2.2 ผลของพีเอชต่อการทำงานของเอนไซม์

ผลของพีเอชต่อกิจกรรมของเอนไซม์ เป็นผลของพีเอชต่อการแตกไออกอนของ prototropic group ที่อยู่บริเวณร่องของเอนไซม์ มีผลให้เกิดการเปลี่ยนโครงสร้างสามมิติซึ่งจะมีผลไปสู่การเปลี่ยนแปลงการจับกับสับสับ stereotrophy หรือการเร่งปฏิกิริยา ดังนั้นการทดลองในปฏิกิริยาต้องควบคุมพีเอชให้เหมาะสมที่สุด เพื่อไม่เกิดการบั่นยั้งการทำงานของเอนไซม์ เมื่อวิเคราะห์กิจกรรมการย่อยสลายน้ำมันปาล์มของสารละลายเอนไซม์ໄไลเปส LP ที่พีเอชต่างๆ กันตั้งแต่ 4.5 ถึง 8.5 พบว่าเมื่อพีเอชเพิ่มขึ้นกิจกรรมสัมพัทธ์ของเอนไซม์ก็เพิ่มสูงขึ้น และมีค่าสูงสุดที่พีเอชเท่ากับ 6.5 (247.3 ยูนิตต่อมิลลิลิตร) แต่เมื่อพีเอชสูงขึ้นกิจกรรมสัมพัทธ์ของเอนไซม์ลดลงเพียงเล็กน้อย (ภาพที่ 6B) ซึ่งผลการทดลองสอดคล้องกับการศึกษาของ Sugiura และ Isobe (1974) อ้างโดย Castellar และคณะ (1996) พีเอชที่เหมาะสมต่อกิจกรรมของเอนไซม์ໄไลเปสจากเชื้อ *Chromobacterium viscosum* คือ 6.5 การศึกษาของ Prazeresb และคณะ (1992) พบว่าพีเอชที่เหมาะสมต่อกิจกรรมของเอนไซม์ໄไลเปสจากเชื้อ *Chromobacterium viscosum* คือ 7.0-7.5 แต่การทดลองของ Castellar และคณะ (1996) พบว่าพีเอชที่เหมาะสมต่อการทำงานของเอนไซม์ໄไลเปสจากเชื้อ *Chromobacterium viscosum* เท่ากับ 9.0 มีกิจกรรมจำเพาะเท่ากับ 5000 ยูนิตต่อมิลลิกรัม ทั้งนี้อาจเป็นผลเนื่องจากความแตกต่างของปัจจัยต่างๆ ที่ใช้ในการศึกษาต่างกัน เช่น ชนิดของบัพเพอร์ ชนิดของสับสับทรา ระยะเวลา เป็นต้น

## 2.3 ความคงตัวต่ออุณหภูมิของเอนไซม์

การศึกษาความคงตัวต่ออุณหภูมิของเอนไซม์ໄไลเปส LP โดยบ่มเอนไซม์ที่อุณหภูมิต่างๆ กันตั้งแต่ 30 องศาเซลเซียสถึง 60 องศาเซลเซียส นาน 24 ชั่วโมงพบว่า ที่อุณหภูมิ 30 องศาเซลเซียส เอนไซม์มีกิจกรรมการย่อยสลายเหลืออยู่เท่าเดิมคือ 100 เปอร์เซ็นต์ แต่ที่อุณหภูมิ 35 และ 40 องศาเซลเซียสกิจกรรมการย่อยสลายของเอนไซม์ลดลงเหลือกึ่งหนึ่งเมื่อกิจกรรมการย่อยสลายเหลืออยู่มากกว่า 80 เปอร์เซ็นต์ เมื่อเพิ่มอุณหภูมิในการบ่มเอนไซม์เป็น 45 องศาเซลเซียส เอนไซม์ໄไลเปส LP มีกิจกรรมการย่อยสลายเหลืออยู่เพียง 43 เปอร์เซ็นต์ ส่วนที่อุณหภูมิ 55 และ 60 องศาเซลเซียส เอนไซม์สูญเสียกิจกรรมการย่อยสลายเกือบทั้งหมด เมื่อใช้เวลาในการบ่มเอนไซม์ 24 ชั่วโมง (ภาพที่ 7)

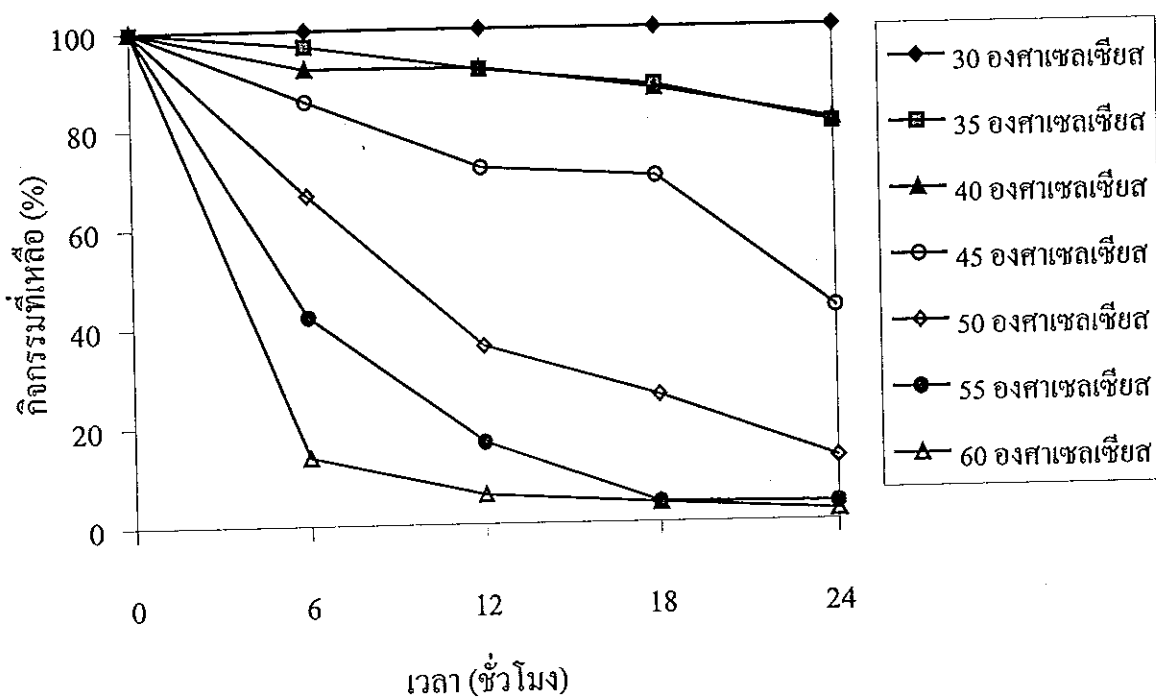


ภาพที่ 6 ผลของอุณหภูมิ (A) และพีเอช (B) ต่อ กิจกรรมการย่อยสารน้ำมันปาล์มของ  
เอนไซม์ไลเปส LP จากเชื้อ *Chromobacterium viscosum*

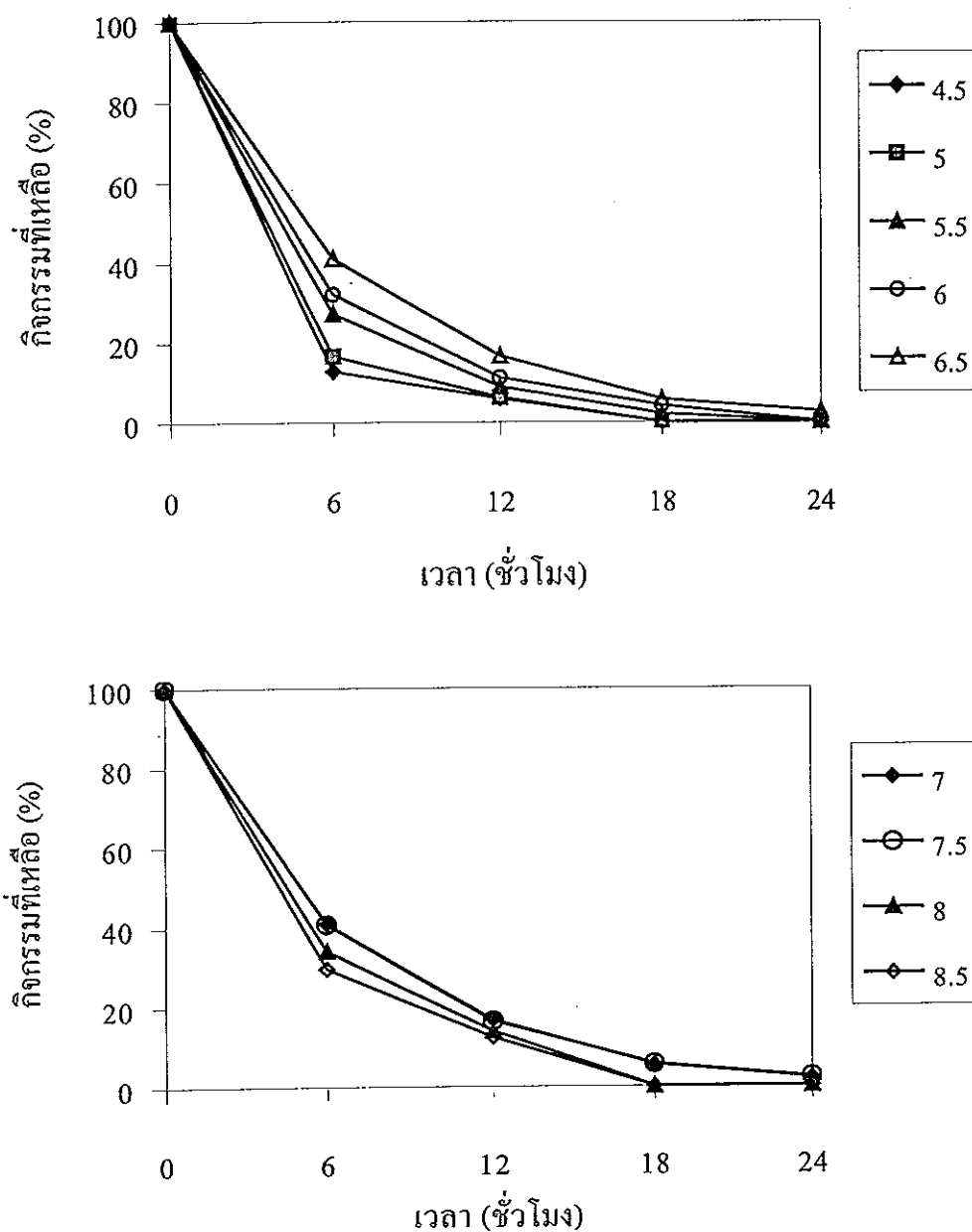
แสดงว่าเอนไซม์ไลเปส LP "ไม่สามารถทนต่ออุณหภูมิสูง" ได้เป็นเวลานาน การทดลองที่ได้สอดคล้องกับการทดลองของ Sugiura และ Isobe (1974) อ้างโดย Castellar และคณะ (1995) พบว่าเอนไซม์ไลเปสจาก *Chromobacterium viscosum* มีความคงตัวสูงมาก ที่ อุณหภูมิ 60 องศาเซลเซียสมีค่าครึ่งชีวิตเท่ากับ 0.75 ชั่วโมง นอกจากนี้ Prazeresb และคณะ (1992) พบว่าเอนไซม์ไลเปสจาก *Chromobacterium viscosum* มีค่าครึ่งชีวิตที่ 50 องศาเซลเซียส เป็นเวลา 60 ชั่วโมง ทั้งนี้อาจเป็นผลเนื่องจากเอนไซม์ต่างสายพันธุ์กัน หรืออาจเป็นเพราะสภาวะที่ใช้ศักยภาพต่างกัน เป็นต้น

#### 2.4 ความคงตัวต่อพิอเขของเอนไซม์

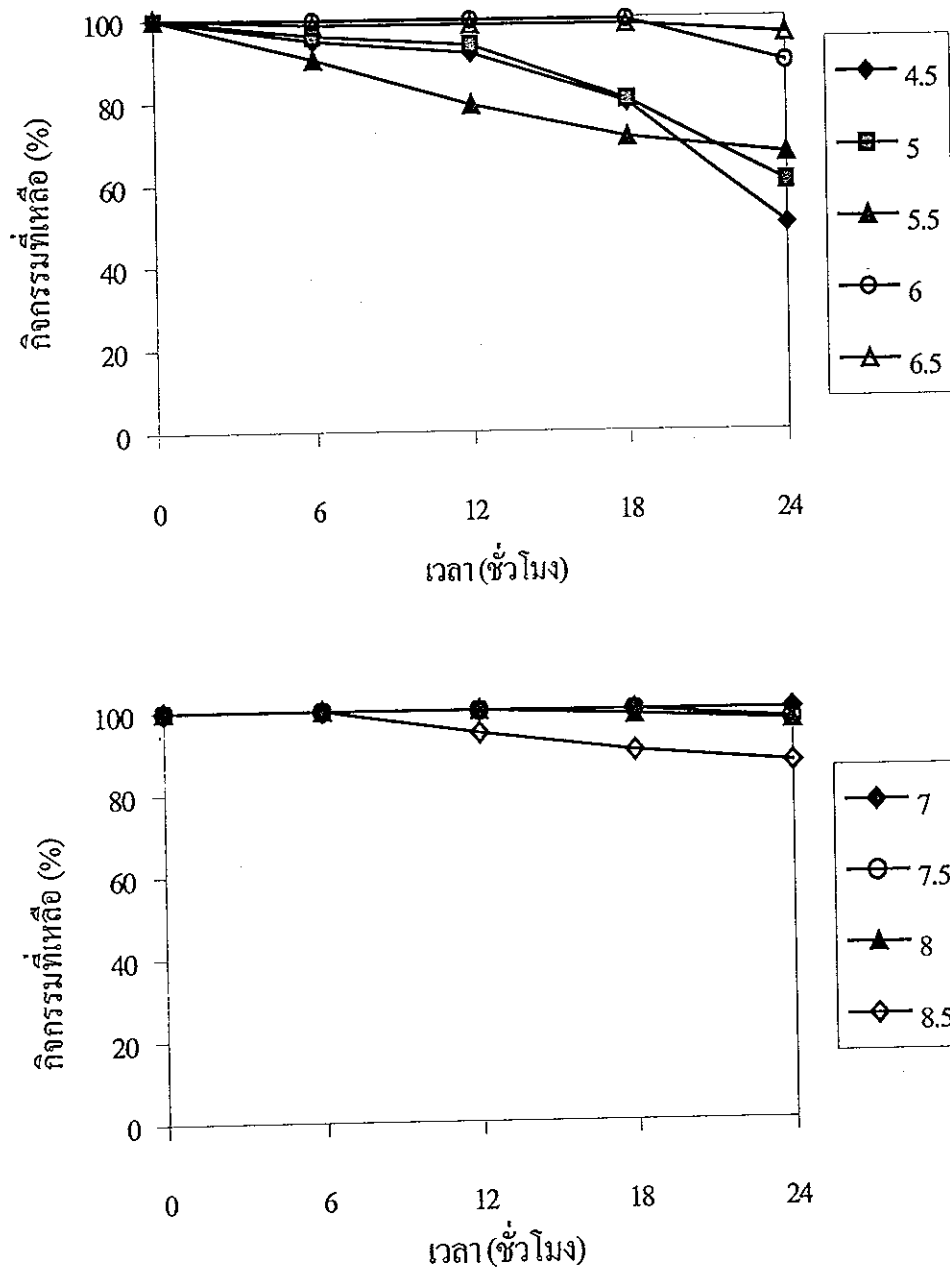
จากการบ่มเอนไซม์ไลเปส LP ที่พิอเข 4.5 ถึง 8.5 ที่อุณหภูมิ 30 และ 55 องศาเซลเซียส นาน 24 ชั่วโมง พบว่ากิจกรรมการย่อยสลายของเอนไซม์ลดลงตามเวลาที่เพิ่มขึ้นและเอนไซม์จะมีความคงตัวน้อยมากเมื่อบ่มที่อุณหภูมิ 55 องศาเซลเซียส (ภาพที่ 8) ในช่วงพิอเข 6.5-7.5 เอนไซม์มีความคงตัวต่อพิอเขได้ดีโดยเอนไซม์ยังคงมีกิจกรรมการย่อยสลายเหลืออยู่มากกว่า 40 เมอร์เซ็นต์ ในเวลา 6 ชั่วโมง ส่วนในช่วงพิอเข 4.5-6.0 และ 8.0-8.5 เอนไซม์คงตัวต่อพิอเขได้น้อยกว่า และที่พิอเข 4.5 พบว่าเอนไซม์จะสูญเสียกิจกรรมการย่อยสลายเกือบทั้งหมดเมื่อบ่มเพียง 12 ชั่วโมง และเอนไซม์จะสูญเสียกิจกรรมทั้งหมดบ่มนาน 24 ชั่วโมง ส่วนการบ่มเอนไซม์ที่อุณหภูมิ 30 องศาเซลเซียส (ภาพที่ 9) พบว่าเอนไซม์มีความคงตัวสูงเกือบทุกๆ พิอเข โดยเฉพาะที่พิอเข 6.5-8.5 เอนไซม์ยังคงเหลือกิจกรรมเกือบ 100 เมอร์เซ็นต์ ส่วนที่พิอเข 4.5 เอนไซม์มีค่ากิจกรรมลดลง 50 เมอร์เซ็นต์ เมื่อบ่มเอนไซม์นาน 24 ชั่วโมง ทั้งนี้อาจเป็นผลเนื่องจากเอนไซม์ไลเปสถูกทำลายหรือถูกทำให้เปลี่ยนแปลงสภาพธรรมชาติของโครงสร้างสามมิติของเอนไซม์ จึงทำให้ความสามารถในการย่อยสลายลดลง (Montero, et al., 1993) การทดลองครั้งนี้สอดคล้องกับการทดลองของ Prazeresb และคณะ (1992) รายงานว่า เอนไซม์ไลเปสจาก *Chromobacterium viscosum* มีความคงตัวสูงที่สุดที่พิอเข 6-8 มีค่าครึ่งชีวิตที่ 50 องศาเซลเซียส เป็นเวลา 60 ชั่วโมง ส่วนที่พิอเขมากกว่า 8.0 เอนไซม์จะสูญเสียกิจกรรมมากกว่า 50 เมอร์เซ็นต์ และเอนไซม์จะสูญเสียกิจกรรมทั้งหมดที่พิอเข 4.0



ภาพที่ 7 ความคงตัวต่ออุณหภูมิของเอนไซม์ไลเปส LP จากเชื้อ *Chromobacterium viscosum* สภาพการศึกษา : วิเคราะห์กิจกรรมที่อุณหภูมิ 55 องค์ชาเคลตเชียส ที่พีเอช 6.5



ภาพที่ 8 ความคงตัวต่อพีเอชของเอนไซม์ไลප์ LP จากเชื้อ *Chromobacterium viscosum* สภาวะการศึกษา : บ่มปฎิกริยาที่อุณหภูมิ 55 องศาเซลเซียส นาน 24 ชั่วโมง วิเคราะห์ กิจกรรมที่อุณหภูมิ 55 องศาเซลเซียส



ภาพที่ 9 ความคงตัวต่อพื้นผิวของเอนไซม์ไลเปส LP จากเชื้อ *Chromobacterium viscosum* สามารถศึกษา : บ่มปฏิกิริยาที่อุณหภูมิ 30 องศาเซลเซียส นาน 24 ชั่วโมง วิเคราะห์กิจกรรมที่อุณหภูมิ 55 องศาเซลเซียส

### 3. การคัดเลือกชนิดของตัวพยุงที่ใช้ตรึงเอนไซม์

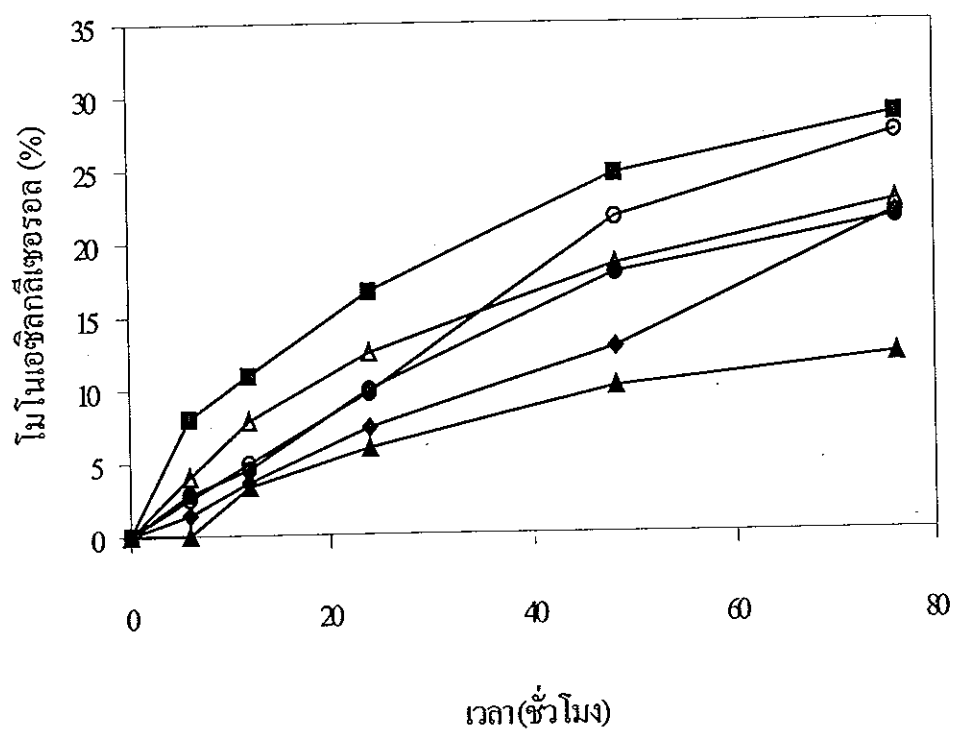
การศึกษาการตรึงเอนไซม์ไอลิปส์ LP โดยใช้ตัวพยุง 6 ชนิด คือ ซีไลท์ แอกคูเรล ชิลิกาเจล แคลเซียมคาร์บอเนต แคลเซียมซัลเฟต และแคลเซียมไฟโรฟอสเฟต ใช้เอนไซม์ไอลิปส์ LP 2.0 มิลลิกรัมต่อมิลลิลิตร ผสมกับตัวพยุง 2 กรัม ที่อุณหภูมิ 30 องศา เชลเซียส เป็นเวลา 1 ชั่วโมง พนว่าการตรึงเอนไซม์ไอลิปส์ LP บนตัวพยุงแต่ละชนิด มีกิจกรรมเอนไซม์หลังการยึดเกาะของเอนไซม์แทกต่างกันดังแสดงในตารางที่ 11 เอนไซม์ที่ตรึงบนซีไลท์และแอกคูเรลมีค่ากิจกรรมเอนไซม์หลังการยึดเกาะของเอนไซม์สูงที่สุดเท่ากับ 82.81 และ 80.28 เปอร์เซ็นต์ และมีค่ากิจกรรมการย่อยสลายน้ำมันปาล์มเท่ากับ 0.46 และ 0.45 ยูนิตต่อมิลลิกรัมตัวพยุง ตามลำดับ ส่วนแคลเซียมคาร์บอเนตให้ค่ากิจกรรมเอนไซม์หลังการยึดเกาะต่ำสุด (14.93 เปอร์เซ็นต์) และเมื่อนำเอนไซม์ไอลิปส์ LP ที่ถูกตรึงบนตัวพยุงชนิดต่างๆ มาใช้ในปฏิกริยาคิลีเซอโรไลซิสของน้ำมันปาล์มโดยมีกิจกรรมการย่อยสลายน้ำมันปาล์มเท่ากับ 10 ยูนิต ภายใต้สภาวะเดียวกันกับการคัดเลือกเอนไซม์ไอลิปส์อิสระ พนว่าเอนไซม์ที่ตรึงบนซีไลท์มีอัตราการเกิดปริมาณไมโนโนเอชิล-กิลีเซอรอล 27.5 เปอร์เซ็นต์ ส่วนเอนไซม์ที่ถูกตรึงบนแคลเซียมซัลเฟตให้ปริมาณไมโนโนเอชิล-กิลีเซอรอล 28.6 เปอร์เซ็นต์ (ภาพที่ 10) เอนไซม์ที่ถูกตรึงบนแอกคูเรลให้ปริมาณไมโนโนเอชิล-กิลีเซอรอล 12.1 เปอร์เซ็นต์ ที่เวลา 72 ชั่วโมง (ตารางที่ 11) ซึ่งผลการทดลองแปรผันตรงกับการย่อยสลายน้ำมันปาล์ม พนว่าซีไลท์เป็นตัวพยุงที่เหมาะสมที่สุดในการตรึงเอนไซม์ไอลิปส์ LP เพื่อใช้ในการย่อยสลายน้ำมันปาล์มเพื่อผลิตไมโนโนเอชิล-กิลีเซอรอล ทั้งนี้เนื่องจากซีไลท์เป็นตัวพยุงที่มีรูพรุนขนาดเล็กๆ ที่สามารถบรรจุเอนไซม์ไว้ภายในได้และมีกิ่งขุ่นของหมู่ไฟชั้น (สารประกอบทางเคมีของซีไลท์ประกอบด้วย : 86% $\text{SiO}_2$ , 1% $\text{CaO}$ , 7% $\text{Al}_2\text{O}_3$ , 2% $\text{Fe}_2\text{O}_3$ ) ที่สามารถจับกับเอนไซม์ไอลิปส์ได้ดีกว่าตัวพยุงชนิดอื่นๆ (Rosu, et al., 1997) ผลการทดลองครั้งนี้สอดคล้องกับการทดลองของ Bornscheuer และ Yamane (1994) พนว่าซีไลท์เป็นตัวพยุงที่ดีที่สุดสำหรับตรึงเอนไซม์ไอลิปส์จาก *Pseudomonas cepacia* เพื่อผลิตไมโนโนเอชิล-กิลีเซอรอล นอกจากนี้ Millqvist และคณะ (1994) ตรึงเอนไซม์ไอลิปส์จาก *Rhizopus arrhizus* บนซีไลท์เพื่อผลิตไมโนโนเอชิล-กิลีเซอรอลโดยปฏิกริยาแอกโกรอไลซิสของไตรกลีเซอโรค์

ตารางที่ 11 การตรึงเอนไซม์ไอลิปส์ LP จากเชื้อ *Chromobacterium viscosum* บนตัวพยุงชนิดต่าง ๆ

ตัวพยุง	ประสิทธิภาพการยึดเกาะ <sup>a</sup> (%)	กิจกรรมเอนไซม์ หลังการยึดเกาะ <sup>b</sup> (%)	กิจกรรมเอนไซม์ที่ถูกตรึง <sup>c</sup> (ยูนิต/มก.ตัวพยุง)	MAG (%)
ซีไลท์	81.46	82.81	0.46	28.6
แอคคูรล	99.88	80.28	0.45	27.5
ซิลิกาเจล	91.33	44.80	0.26	21.5
แคลเซียมคาร์บอนเนต	95.20	14.93	0.08	21.8
แคลเซียมซัลไฟต์	91.39	52.86	0.30	12.1
แคลเซียมไไฟโร-	87.07	64.05	0.36	22.6
ฟอสเฟต				

$$^a \text{ ประสิทธิภาพการยึดเกาะ } (\%) = \frac{\text{กิจกรรมทั้งหมด-กิจกรรมที่ตกค้างในสารละลาย}}{\text{กิจกรรมทั้งหมด}} \times 100$$

$$^b \text{ กิจกรรมเอนไซม์หลังการยึดเกาะ } (\%) = \frac{\text{กิจกรรมทั้งหมดของเอนไซม์ที่ถูกตรึง}}{\text{กิจกรรมทั้งหมดของเอนไซม์อิสระ}} \times 100$$



ภาพที่ 10 การผลิตไมโนไซลิกเลเชอร์ลดจากการกลีเซอโรไลซีสันมั่นปานีโดย  
เอ็นไซม์ไลප์ส LP ที่ถูกตรึงบนตัวพยุงชนิดต่างๆ ปริมาณ 10 ยูนิต :  
แคลเซียมคาร์บอเนต (◆), ชีไลท์ (■), แคลเซียมซัลเฟต (▲), แคลเซียมไพร-  
อฟอสฟेट (△), แอคคูเรล (○) และซิสิกาเจล (●)

## 4. สภาพะที่เหมาะสมต่อการตรึงเอนไซม์ไอลเปปสันตัวพยุงที่คัดเลือกได้

### 4.1 ความเข้มข้นของเอนไซม์

การคัดเลือกความเข้มข้นของเอนไซม์ไอลเปปส์ LP ที่เหมาะสมเพื่อใช้ในการตรึงบันชีไไลท์ โดยใช้สารละลายความเข้มข้นตั้งแต่ 0.5 ถึง 4.0 มิลลิกรัมต่อมิลลิลิตรมาใช้ในขั้นตอนการตรึง ใช้บริรวมเอนไซม์ 5 มิลลิลิตร ตรึงกับชีไไลท์ 2.0 กรัม ที่อุณหภูมิ 30 องศาเซลเซียส เป็นเวลา 1 ชั่วโมง พนว่าเมื่อระดับความเข้มข้นของเอนไซม์เพิ่มขึ้นกิจกรรมเอนไซม์หลังการยึดเกาะของเอนไซม์บนตัวพยุงก็เพิ่มขึ้นด้วย ที่ระดับความเข้มข้นของเอนไซม์เท่ากับ 2.5 มิลลิกรัมต่อมิลลิลิตร จะให้ค่ากิจกรรมเอนไซม์หลังการยึดเกาะของเอนไซม์บนตัวพยุงเท่ากับ 94.9 เปอร์เซ็นต์ มีค่ากิจกรรมการย่อยสลายน้ำมันปาล์มเท่ากับ 0.60 ยูนิตต่อมิลลิกรัมตัวพยุง เมื่อความเข้มข้นของเอนไซม์สูงขึ้นเป็น 3.0 และ

4.0 มิลลิกรัมต่อมิลลิลิตร กิจกรรมเอนไซม์หลังการยึดเกาะของเอนไซม์ลดลงเป็น 55.7 และ 40.3 เปอร์เซ็นต์ ตามลำดับ (ตารางที่ 12) ทั้งนี้อาจเป็นผลเนื่องจากความเข้มข้นของเอนไซม์ซึ่งเป็นปัจจัยหลักที่มีผลต่อบริรวมของเอนไซม์ที่ถูกดูดซับบนหนังหน่วยพื้นที่ผิวของตัวพยุง กิจกรรมเอนไซม์หลังการยึดเกาะของเอนไซม์บนตัวพยุงจะมีค่าเพิ่มขึ้นเมื่อความเข้มข้นของเอนไซม์เพิ่มขึ้น แต่เมื่อตัวพยุงถูกดูดซับเอนไซม์จนถึงจุดอิ่มตัวแล้วแม้จะเพิ่มความเข้มข้นของเอนไซม์อีกก็ไม่ทำให้กิจกรรมเอนไซม์หลังการยึดเกาะของเอนไซม์เพิ่มสูงขึ้น (Bernath and Vankatasubramanain, 1986) ตั้งนี้ในขั้นตอนนี้จึงเลือกใช้ความเข้มข้นของเอนไซม์ไอลเปปส์ LP ใน การตรึงเอนไซม์ด้วยวิธีดูดซับบันชีไไลท์ คือ 2.5 มิลลิกรัมต่อมิลลิลิตร (413.75 ยูนิตต่อมิลลิลิตร) ซึ่งผลการทดลองแตกต่างกับ Rosu และคณะ (1997) เลือกใช้ความเข้มข้นของเอนไซม์ไอลเปปส์จาก *Chromobacterium viscosum* 10,000 ยูนิตต่อมิลลิลิตร ในการตรึงกับตัวพยุง 2.0 กรัม นอกจากนี้ Kamlangdee และ Yamane (1996) ใช้เอนไซม์ไอลเปปส์จาก *Chromobacterium viscosum* 40,000 ยูนิต ในสารละลาย 5 มิลลิลิตร ตรึงกับแกลเชียร์บอเนต 2.0 กรัม ให้ค่ากิจกรรมเอนไซม์ที่ถูกตรึงเท่ากับ 2.30 ยูนิตต่อมิลลิกรัมตัวพยุง โดยใช้น้ำมันมะกอกเป็นสับสเตรท ทั้งนี้เนื่องจากปัจจัยที่ใช้ในการศึกษาต่างกัน เช่น วิธีการศึกษา กรรมการย่อยสลาย ชนิดของสับสเตรท เป็นต้น จึงทำให้ผลการทดลองแตกต่างกัน

ตารางที่ 12 ผลของความเข้มข้นของเอนไซม์ไลප์ติกของเชื้อ *Chromobacterium viscosum* ต่อการตรึงเอนไซม์กับซีลีฟท์

ความเข้มข้นเอนไซม์ (มิลลิกรัม/มิลลิลิตร)	ประสิทธิภาพการยึดเกาะ (%)	กิจกรรมเอนไซม์ หลังการยึดเกาะ (%)	กิจกรรมเอนไซม์ ที่ถูกตรึง (ยูนิต/ มก.ตัวพยุง)
0.5	53.08	10.83	0.04
1.0	58.96	16.27	0.08
1.5	66.17	44.28	0.25
2.0	81.50	82.00	0.46
2.5	95.31	94.90	0.60
3.0	96.23	55.70	0.63
4.0	98.75	40.30	0.78

#### 4.2 อุณหภูมิในการตีริงเอนไซม์

เมื่อตีริงเอนไซม์ไอลิปส์ LP บนชีวไลท์ที่อุณหภูมิต่างๆ กันคือ 4, 25 และ 30 องศาเซลเซียส พบร่วมกับการตีริงเอนไซม์ที่อุณหภูมิดังกล่าวให้ค่ากิจกรรมเอนไซม์หลังการยึดเกาะของเอนไซม์บนตัวพยุงไม้แตกต่างกัน คือ 95.3, 95.0 และ 94.9 เปอร์เซ็นต์ และมีค่ากิจกรรมเอนไซม์เท่ากับ 0.61, 0.60 และ 0.60 ยูนิตต่อมิลลิกรัมตัวพยุงตามลำดับ (ตารางที่ 13) ดังนั้นการตีริงเอนไซม์ไอลิปส์ LP ด้วยวิธีคุณซับทางกายภาพสามารถทำได้ดังแต่อุณหภูมิ 4-30 องศาเซลเซียส สอดคล้องกับการทดลองของ Kamlangdee และ Yamane (1996) ศึกษาการตีริงเอนไซม์ไอลิปส์จาก *Chromobacterium viscosum* ที่อุณหภูมิ 25 องศาเซลเซียสให้ค่ากิจกรรมเอนไซม์เท่ากับ 2.30 ยูนิตต่อมิลลิกรัมตัวพยุง นอกจากนี้ Millqvist และคณะ (1994) ตีริงเอนไซม์ไอลิปส์จาก *Rhizopus arrhizus* บนชีวไลท์ที่อุณหภูมิห้องเพื่อใช้ในการผลิตโมโนเอซิลก็อเซอรอล Bornscheuer และ Yamane (1994) ตีริงเอนไซม์ไอลิปส์ จาก *Pseudomonas cepacia* บนชีวไลท์ที่อุณหภูมิห้อง เป็นเวลา 2 ชั่วโมง เพื่อนำไปผลิตโมโนเอซิลก็อเซอรอล โดยปฏิกริยาแก๊สโซโรไลซ์ต ได้ผลผลิตมากกว่า 90 เปอร์เซ็นต์

ตารางที่ 13 การตีริงเอนไซม์ไอลิปส์ LP บนชีวไลท์ที่อุณหภูมิต่างๆ

อุณหภูมิ (°C)	ประสิทธิภาพการยึดเกาะ (%)	กิจกรรมเอนไซม์ หลังการยึดเกาะ (%)	กิจกรรมเอนไซม์ที่ ถูกตีริง (ยูนิต/มก. ตัวพยุง)
4	95.32	95.34	0.61
25	95.12	95.02	0.60
30	95.03	94.91	0.60

### 4.3 ระยะเวลาในการตรึงเอนไซม์

การศึกษาหาเวลาที่เหมาะสมในการเก็บกันอย่างสมบูรณ์ระหว่างเอนไซม์กับตัวพุ่ง ทำการทดลองโดยใช้เอนไซม์ไลป์ตีด LP ความเข้มข้น 2.5 มิลลิกรัมต่อมิลลิลิตร ผสมกับซีไลท์ 2.0 กรัม ที่อุณหภูมิ 30 องศาเซลเซียส เป็นเวลา 15 นาทีจนถึง 12 ชั่วโมง พนว่าประสิทธิภาพการยึดเกาะของเอนไซม์จะเพิ่มขึ้นเมื่อเวลาในการตรึงเอนไซม์เพิ่มมากขึ้น โดยเฉพาะชั่วโมงแรกของการตรึงเอนไซม์ซึ่งมีค่าเท่ากับ 94.98 เปอร์เซ็นต์ หลังจากนั้นถึงแม้ว่าใช้เวลาในการตรึงเอนไซม์เพิ่มขึ้นเท่ากับ 6 และ 12 ชั่วโมง ประสิทธิภาพการยึดเกาะของเอนไซม์เพิ่มขึ้นเพียงเล็กน้อย (ตารางที่ 14) ทั้งนี้อาจเป็นผลเนื่องจากพื้นที่ผิวของซีไลท์มีจำกัด และเป็นผลเนื่องจากเอนไซม์ไลป์ตีดเก็บกับซีไลท์ในช่วงแรกของการตรึงเอนไซม์อย่างรวดเร็ว หลังจากนั้นแม้จะใช้เวลาในการตรึงเอนไซม์นานขึ้นก็ไม่ส่งผลให้เกิดการยึดเกาะเพิ่มมากขึ้น ซึ่งจะสังเกตได้จากปริมาณเอนไซม์ในสารละลายที่เหลืออยู่ยังคงมีปริมาณเท่าเดิมในขณะที่เวลาเพิ่มมากขึ้น ผลการทดลองที่ได้สอดคล้องกับผลการศึกษา Kamlangdee และ Yamane (1996) ซึ่งพบว่าการตรึงเอนไซม์ไลป์ตีดจาก *Chromobacterium viscosum* บนแก้วเซี่ยมคาร์บอนตเป็นเวลา 1 ชั่วโมงจะให้ค่ากิจกรรมของเอนไซม์สูงสุด Bornscheuer และ Yamane (1994) ตรึงเอนไซม์ไลป์ตีดจาก *Pseudomonas cepacia* บนซีไลท์ ที่อุณหภูมิห้อง เป็นเวลา 2 ชั่วโมง เพื่อนำไปผลิตโมโนเอซิลก็อเชอรอล โดยปฏิกริยากลีเซอโรไลซีต ได้ผลผลิตมากกว่า 90 เปอร์เซ็นต์

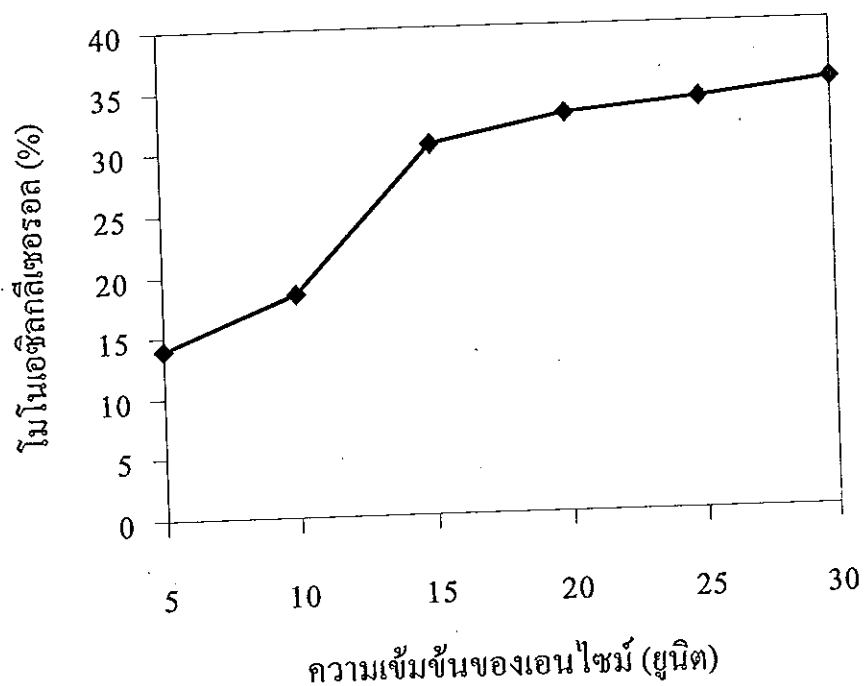
ตารางที่ 14 ผลของระยะเวลาต่อการตรึงเอนไชม์ไลเปส LP บนซีไลท์

เวลา	ประสิทธิภาพการยึดเกาะ	กิจกรรมเอนไชม์	กิจกรรมเอนไชม์ที่ถูกตรึง
	(%)	หลังการยึดเกาะ (%)	(ยูนิต/มก.ตัวพยุง)
15 นาที	67.91	57.23	0.43
30 นาที	73.43	76.84	0.48
1 ชั่วโมง	94.98	95.05	0.60
6 ชั่วโมง	95.71	95.63	0.62
12 ชั่วโมง	95.69	95.40	0.62

## 5. ปัจจัยที่มีผลต่อบัญชีกริยาคลีเซอโรไอลซีสของน้ำมันปาล์ม

### 5.1 ผลของปริมาณเอนไซม์

การใช้ปริมาณเอนไซม์ไอลิเปส LP ที่ตระวงน้ำที่ในบัญชีกริยาคลีเซอโรไอลซีสของน้ำมันปาล์มในปริมาณที่แตกต่างกันตั้งแต่ 0 ถึง 30 ยูนิต ปริมาณน้ำมันปาล์ม 13.07 กรัม กลีเซอรอล 2.84 กรัม ที่มีปริมาณน้ำ 4 เปอร์เซ็นต์ อุณหภูมิ 30 องศาเซลเซียส พบร่วงการใช้ปริมาณเอนไซม์ตระวงที่สูงขึ้น ทำให้การย่อยน้ำมันปาล์มเกิดขึ้นได้สูงและส่งผลให้ปริมาณโนโนเอชิลกลีเซอโรลสูงขึ้นด้วย ในโนโนเอชิลกลีเซอโรลถูกผลิตสูงสุดเท่ากับ 30.4 เปอร์เซ็นต์ เมื่อใช้อ่อนไชม์ตระวง 15 ยูนิต (ภาพที่ 10) แต่เมื่อเพิ่มปริมาณเอนไซม์มากกว่า 15 ยูนิต พบร่วงปริมาณโนโนเอชิลกลีเซอโรลเพิ่มขึ้นเพียงเล็กน้อย ดังนั้นในการศึกษาครั้งนี้จึงเลือกใช้ปริมาณของเอนไซม์ตระวงเท่ากับ 15 ยูนิต (ปริมาณเอนไซม์ตระวง 25 มิลลิกรัม) ซึ่งมีค่าน้อยกว่าการทดลองของ Stevenson และคณะ (1993) ซึ่งใช้อ่อนไชม์ไอลิเปส lipozyme 200 มิลลิกรัม ทำบัญชีกริยากับไขมันวัว 10 กรัม จะให้ปริมาณโนโนเอชิลกลีเซอโรลสูงที่สุด 47 เปอร์เซ็นต์ การใช้ปริมาณเอนไซม์ที่มากกว่านี้ไม่ได้ทำให้ปริมาณโนโนเอชิลกลีเซอโรลเพิ่มขึ้น นอกจากนี้ Kamlangdee และ Yamane (1996) ใช้ปริมาณเอนไซม์ไอลิเปสจาก *Chromobacterium viscosum* ที่ถูกตระวงบนแคลเซียมคาร์บอเนตเท่ากับ 6,000 ยูนิต ในบัญชีกริยาคลีเซอโรไอลซีสและใช้น้ำมันมะกอก 5 กรัม และกลีเซอรอล 2.6 กรัม ได้โนโนเอชิลกลีเซอโรลมากกว่า 90 เปอร์เซ็นต์ Tueter และคณะ (1998) พบร่วงปริมาณเอนไซม์ไอลิเปสจาก *Rhizopus delemar* ที่เหมาะสมต่อบัญชีกริยาคลีเซอโรไอลซีสของน้ำมันทานตะวันเท่ากับ 500 ยูนิตต่อกรัมน้ำมัน ให้ปริมาณโนโนเอชิลกลีเซอโรล 53 เปอร์เซ็นต์ จะเห็นได้ว่ามีการใช้ปริมาณเอนไซม์ที่แตกต่างกันมากในการทดลองแต่ละการทดลอง ทั้งนี้อาจเป็นผลจากชนิดและปริมาณเอนไซม์ต่อองค์จันทร์และสภาพการดำเนินบัญชีกริยาแตกต่างกันทำให้ได้ผลผลิตของโนโนเอชิลกลีเซอโรลที่ได้แตกต่างกันด้วย



ภาพที่ 11 ผลของปริมาณเอนไซม์ไลเปส LP trifunctional ต่อการผลิตโไมโนเอซิลก็อกซ์เรียบร้อย

## 5.2 ผลของสัดส่วนกลีเซอโรลต่อน้ำมันปาล์ม

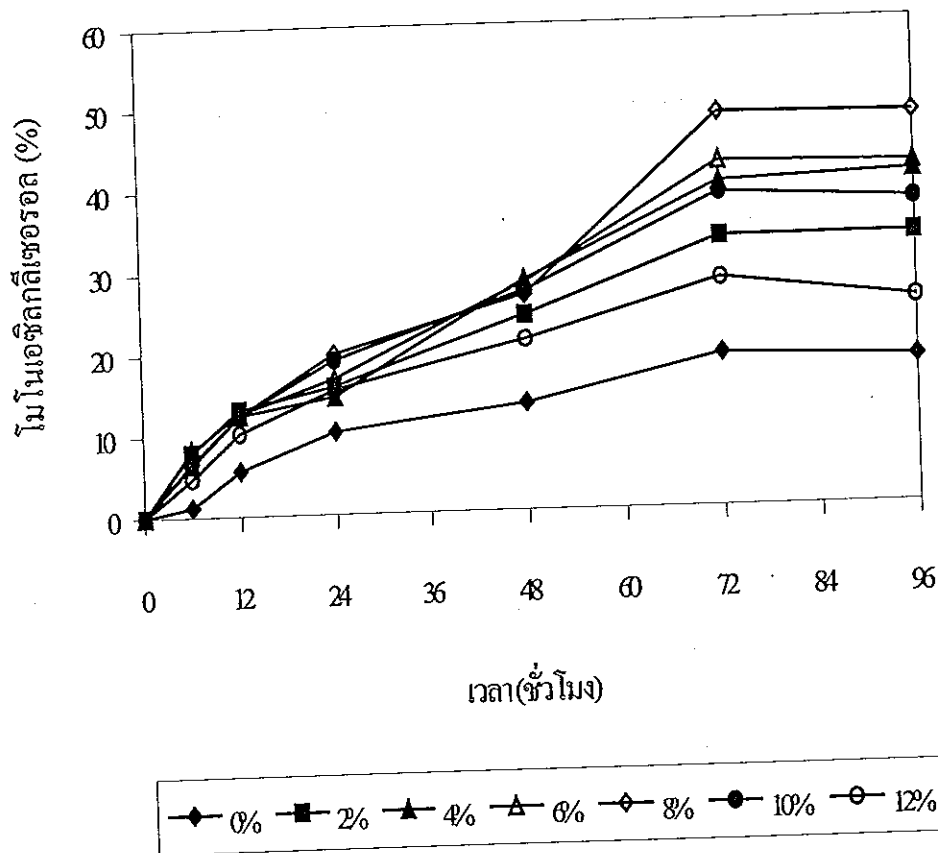
การศึกษาผลของสัดส่วนกลีเซอโรลต่อน้ำมันปาล์มที่ใช้ในปฏิกริยากลีเซอโรไลซิสโดยใช้สัดส่วนโมลของกลีเซอโรลต่อน้ำมันปาล์มเท่ากับ 2.0 ถึง 4.8 ปริมาณเอนไซม์ไอลิปase LP ตระหง่าน 15 ยูนิต ที่อุณหภูมิ 30 องศาเซลเซียส เป็นเวลา 72 ชั่วโมง พบว่าสัดส่วนโมลของกลีเซอโรลต่อน้ำมันปาล์มที่เหมาะสมคือ 3.7 ให้ผลผลิตโนโนเอชิลกลีเซอโรลสูงสุด 42.5 เปอร์เซ็นต์ (ตารางที่ 15) ถึงแม้ว่าจะเพิ่มปริมาณกลีเซอโรลมากกว่านี้ก็ไม่ส่งผลให้ปริมาณโนโนเอชิลกลีเซอโรลเพิ่มขึ้นมากนัก พบว่าถ้าปริมาณกลีเซอโรลในปฏิกริยามากเกินไปจะทำให้น้ำในปฏิกริยาเพิ่มมากขึ้นซึ่งจะส่งผลให้กรดไขมันถูกผลิตขึ้นมาแทน McNeill และคณะ (1990) พบว่าสัดส่วนโมลของกลีเซอโรลต่อไขมันวัวที่เหมาะสมในการผลิตโนโนเอชิลกลีเซอโรลคือ 1.5 ถึง 2.5 ที่อุณหภูมิ 42 องศาเซลเซียส นอกจากนี้ Stevenson และคณะ (1993) แสดงให้เห็นว่าสัดส่วนโมลของกลีเซอโรลต่อไขมันวัวมากกว่า 0.8 ไม่ส่งผลให้ปริมาณโนโนเอชิลกลีเซอโรลเพิ่มสูงขึ้นและยังมีกลีเซอโรลเหลืออยู่ในปฏิกริยาอีกด้วย Rosu และคณะ (1997) ใช้สัดส่วนโมลของกลีเซอโรลต่อน้ำมันมะกอกเท่ากับ 4.8 ให้ปริมาณโนโนเอชิลกลีเซอโรล 90 เปอร์เซ็นต์ Tuter และคณะ (1999) เดือกสัดส่วนโมลน้ำมันต่อกลีเซอโรลเท่ากับ 1:2 เพื่อใช้ในปฏิกริยากลีเซอโรไลซิสนำมันปาล์มโดยเอนไซม์ไอลิปase จาก *Rhizopus delemar*

ตารางที่ 15 ผลของสัดส่วนกลีเซอโรลต่อน้ำมันปาล์มในการผลิตโนโนเอชิลกลีเซอโรล โดยเอนไซม์ไอลิปase LP ตระหง่าน

กลีเซอโรล (กรัม)	น้ำมันปาล์ม (กรัม)	สัดส่วนโมล (กลีเซอโรล/น้ำมันปาล์ม)	โนโนเอชิลกลีเซอโรล (%)
1.47	7	2.0	30.4
1.84	7	2.5	37.1
1.98	7	2.7	28.7
2.84	7	3.7	42.5
3.53	7	4.8	25.1

### 5.3 ผลของปริมาณน้ำในกลีเซอรอล

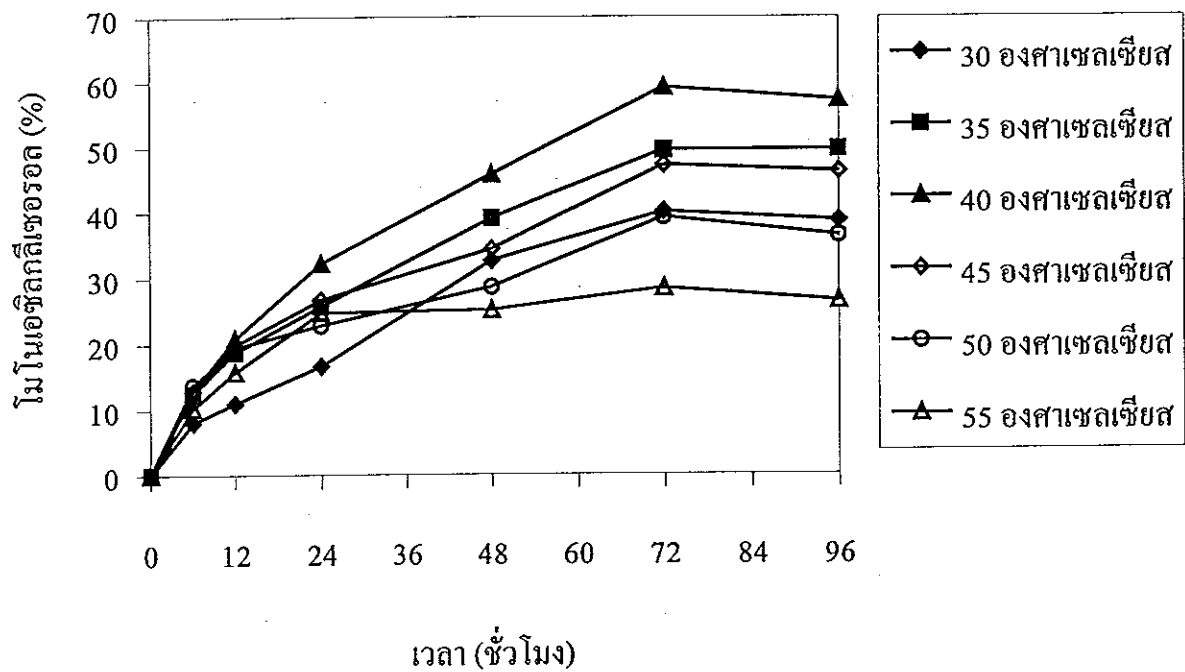
การผลิตโนโนเอชิกลีเซอรอลโดยเย็น ไขม์ไลเปส LP ตรีรูป โดยใช้ปริมาณเย็น ไขม์ไลเปส LP ตรีรูป 15 ยูนิต ที่มีสัดส่วนโนลิกลีเซอรอลต่อน้ำมันปาล์มเท่ากับ 3.7 (กลีเซอรอล 2.84 กรัม น้ำมันปาล์ม 7.0 กรัม) และให้ปริมาณน้ำในกลีเซอรอลเท่ากับ 0 ถึง 12 เปอร์เซ็นต์ ที่อุณหภูมิ 30 องศาเซลเซียส เป็นเวลา 72 ชั่วโมง พนว่างการใช้น้ำในปฏิกริยาเพิ่มขึ้นจาก 2 ถึง 8 เปอร์เซ็นต์ จะส่งผลให้การย่อยสลายน้ำมันปาล์มน้ำสูงขึ้นและปริมาณโนโนเอชิกลีเซอรอลสูงขึ้นด้วย ปริมาณน้ำในกลีเซอรอล 8 เปอร์เซ็นต์จะให้ปริมาณโนโนเอชิกลีเซอรอลสูงที่สุดเท่ากับ 48.4 เปอร์เซ็นต์ และปริมาณน้ำในกลีเซอรอล 4 และ 6 เปอร์เซ็นต์ คือ 40.4 และ 42.5 เปอร์เซ็นต์ ตามลำดับ (ภาพที่ 12) ปริมาณน้ำในกลีเซอรอลมากกว่า 8 เปอร์เซ็นต์ ส่งผลให้ปริมาณโนโนเอชิกลีเซอรอลลดลง หรือไม่มีน้ำในปฏิกริยาเลยเมื่อใช้มันก็ไม่สามารถย่อยน้ำมันปาล์มเพื่อผลิตโนโนเอชิกลีเซอรอลได้ ถ้ามีปริมาณน้ำในปฏิกริยามากจะส่งผลให้โอกาสเกิดปฏิกริยาการย่อยสลายน้ำมันปาล์มได้ดีมีกรดไขมันแทนการเกิดโนโนเอชิกลีเซอรอล เนื่องจากเกิดปฏิกริยาเอสเทอราฟิเเช่นน้อย ตอడคล้องกับการทดลองของ Chang และ Rhee (1991) พนว่างปริมาณน้ำในปฏิกริยากลีเซอโรไลซีสของน้ำมันมะกอกไม่ควรเกิน 8 เปอร์เซ็นต์ ถ้าปริมาณน้ำมากเกิดกรดไขมันมากด้วย ซึ่งแตกต่างกับผลการทดลองของ McNeill และคณะ (1991) รายงานว่าปริมาณน้ำในกลีเซอรอลที่เหมาะสมเท่ากับ 3.6 เปอร์เซ็นต์ สำหรับปฏิกริยากลีเซอโรไลซีสของไขมันวัวและพบว่าถ้ามีปริมาณน้ำในกลีเซอรอลมากกว่า 8 เปอร์เซ็นต์ กรดไขมันจะถูกผลิตขึ้นมาก Bornscheuer และคณะ (1994) เลือกปริมาณน้ำในกลีเซอรอล 4 เปอร์เซ็นต์ ในปฏิกริยากลีเซอโรไลซีสของไตรโอลิน สำหรับการทดลองในขั้นต่อไปจึงเลือกใช้ปริมาณน้ำในกลีเซอรอล 8 เปอร์เซ็นต์ ในปฏิกริยากลีเซอโรไลซีสของน้ำมันปาล์ม



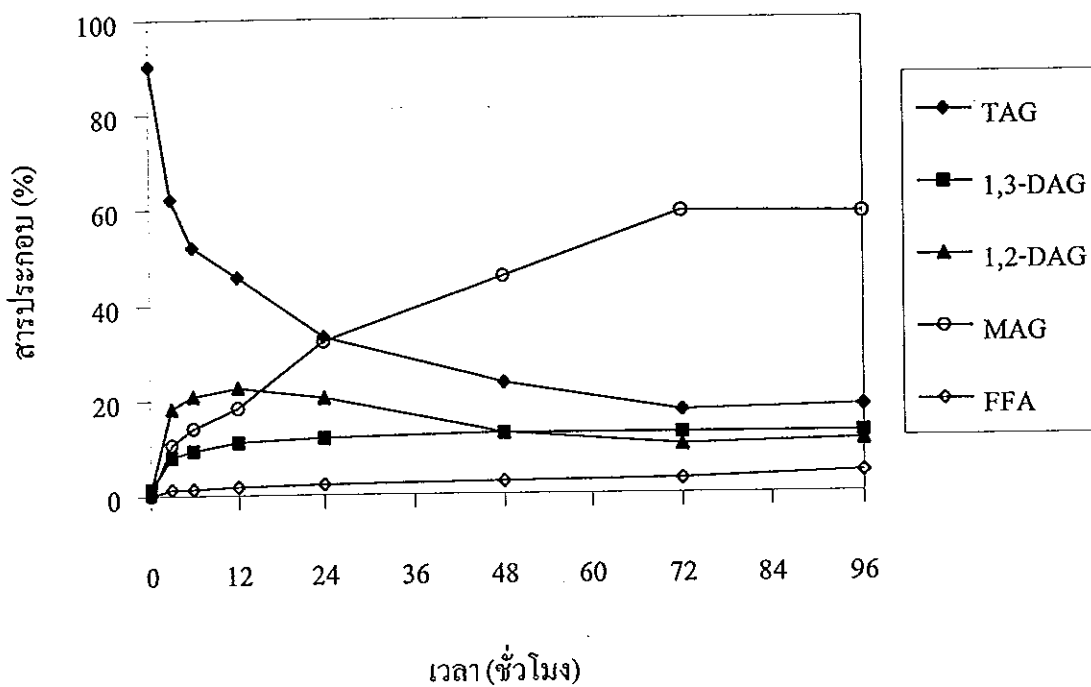
ภาพที่ 12 ผลของปริมาณน้ำในกลีเซอโรลต่อการผลิตโนโนเอชิลกลีเซอโรลจากน้ำมันปาล์มโดยเย็นไขม์ไลเปส LP ครึ่งรูป

#### 5.4 ผลของอุณหภูมิ

การผลิตโนโนเอชิกลีเชอรอลโดยเย็นใช้มีໄไลເປສ LP ຕຽງປັບ ທີ່ອຸນຫຼວມ 30 ຄື່ງ 55 ອົງຄາເຊລເຊີຍສ ພບວ່າເມື່ອອຸນຫຼວມເພີ່ມຈິ້ນກາຍຍ່ອຍສລາຍນໍາມັນປາລົມຈະເພີ່ມສູງຈິ້ນແລະປຣິມານໂນໂນເອົ້າລົກລື້ອງຮອດກີ່ເພີ່ມຈິ້ນດ້ວຍໂດຍເອນໃໝ່ມີໄໄລເປສ LP ຕຽງປັບສາມາຮັດຢ່ອຍສລາຍນໍາມັນປາລົມແລະໃຫ້ປຣິມານໂນໂນເອົ້າລົກລື້ອງສຸດສຸດ 59.2 ເປ່ອຮັ້ນຕໍ່ທີ່ອຸນຫຼວມ 40 ອົງຄາເຊລເຊີຍສ (ກາພທີ 13) ແລະເມື່ອເພີ່ມອຸນຫຼວມເປັນ 45, 50 ແລະ 55 ອົງຄາເຊລເຊີຍສ ເກີດໂນໂນເອົ້າລົກລື້ອງຮອດນ້ອຍລົງມີກ່າວເທົ່າກັນ 47.2, 39.2 ແລະ 28.4 ເປ່ອຮັ້ນຕໍ່ທີ່ຕາມລຳດັບ ໃນຂ່ວງແຮກປົງກົງກົງຍາກລື້ອງໂຮງໄລ້ສະຫະອູ້ໃນຮູບປຸງຂອງແລວ (liquid-phase) ແຕ່ເມື່ອປົງກົງຍາດໍານັນໄປສັກຮະບະປົງກົງຍາຈະອູ້ໃນຮູບປຸງແຈ້ງ (solid-phase) ຜົ່ງຈິ້ນອູ້ກັນອຸນຫຼວມ ທີ່ອຸນຫຼວມຕໍ່ກວ່າ 40 ອົງຄາເຊລເຊີຍສ ປົງກົງຍາຈະເຂົ້າສູ່ສກວະຂອງແຈ້ງຫລັງຈາກປົງກົງຍາດໍານັນໄປປະມາມ 3 ຫ້ວໂມງ ແຕ່ທີ່ອຸນຫຼວມສູງກວ່າ 45 ອົງຄາເຊລເຊີຍສປົງກົງຍາຈະອູ້ໃນຮູບປຸງຂອງແລວຕອນປົງກົງຍາ ອົບນາຍໄດ້ວ່າໄຕເອົ້າລົກລື້ອງຮອດໃນນໍາມັນປາລົມຈຸກເປົ້າໃນຮູບປຸງຂອງແລວຕອນປົງກົງຍາ ອົບນາຍໄດ້ວ່າໄຕເອົ້າລົກລື້ອງຮອດໃນປົງກົງຍາເກີດເປັນໂນໂນເອົ້າລົກລື້ອຍເປັນກຣດ ໄກມັນແລ້ວກຣດ ໄກມັນຈັບກັບກລື້ອງຮອດໃນປົງກົງຍາເກີດເປັນໂນໂນເອົ້າລົກລື້ອງຮອດຈຶ່ງມີຈຸດຫລອນແລວສູງກວ່າໄຕເອົ້າລົກລື້ອງຮອດຈຶ່ງທຳໃຫ້ປົງກົງຍາອູ້ໃນຮູບປຸງຂອງແຈ້ງ ການເປັ້ນແປງຂອງສາրປະກອນໃນປົງກົງຍາກລື້ອງໂຮງໄລ້ສະຫອງນໍາມັນປາລົມທີ່ແຈ້ງ ການເປັ້ນແປງຂອງສາຮັດກົດມາກ ແຕ່ຫລັງຈາກປົງກົງຍາດໍານັນໄປ 3 ຫ້ວໂມງ ປຣິມານໂນໂນເອົ້າລົກລື້ອງຮອດຖຸກພັດມາກ ແຕ່ຈະມີ 1,2 ໄດ້ເອົ້າລົກລື້ອງຮອດຖຸກພັດທີ່ນຳມາແທນແລ້ວຄ່ອຍໆ ເປັ້ນແປງເຊື່ອຮອດຈະລຸດລົງ ແຕ່ຈະມີ 1,3 ໄດ້ເອົ້າລົກລື້ອງຮອດໃນປົງກົງຍາຈະຖຸກພັດມານ້ອຍເປັນໂນໂນເອົ້າລົກລື້ອງຮອດ ສ່ວນ 1,3 ໄດ້ເອົ້າລົກລື້ອງຮອດໃນປົງກົງຍາຈະຖຸກພັດມານ້ອຍ ຕິ່ງແມ່ວ່າປົງກົງຍາຈະເຂົ້າສູ່ສກວະຂອງແຈ້ງແຕກີ່ຍັງມີກາຍພັດໂນໂນເອົ້າລົກລື້ອງຮອດເກີດຈິ້ນ ສັງເກດໄດ້ຈາກປຣິມານໂນໂນເອົ້າລົກລື້ອງຮອດທີ່ເພີ່ມຈິ້ນເມື່ອເວລານານັ້ນ ພັດທະນາທີ່ໄດ້ສອດຄດລູ້ກັບພັດທະນາຂອງ Tueter ແລະຄົນະ (1998) ແສດງໃຫ້ເຫັນວ່າກາຍເກີດປົງກົງຍາກລື້ອງໂຮງໄລ້ສະຫອງນໍາມັນຄອກການທະວັນສູງທີ່ສຸດທີ່ອຸນຫຼວມ 40 ອົງຄາເຊລເຊີຍສ ໂດຍໃຊ້ເອນໃໝ່ມີໄໄລເປສຈາກ *Rhizopus delemar* ທີ່ໄມ່ຕຽງປັບ ໃຫ້ປຣິມານໂນໂນເອົ້າລົກລື້ອງຮອດ ໂດຍໃຊ້ເອນໃໝ່ມີໄໄລເປສຈາກ *Rhizopus delemar* ທີ່ໄມ່ຕຽງປັບ ໃຫ້ປຣິມານໂນໂນເອົ້າລົກລື້ອງຮອດ 53 ເປ່ອຮັ້ນຕໍ່ Tueter ແລະຄົນະ (1999) ພບວ່າອຸນຫຼວມທີ່ເໜີມະສົມໃນກາຍເກີດຮອດ 40 ອົງຄາເຊລເຊີຍສ ໂດຍໃຊ້ເອນໃໝ່ມີໄໄລເປສຈາກ *Rhizopus delemar* ທີ່ໄມ່ຕຽງປັບ ໃຫ້ປຣິມານໂນໂນເອົ້າລົກລື້ອງຮອດ 66 ເປ່ອຮັ້ນຕໍ່ ໂດຍໃຊ້ເອນໃໝ່ມີໄໄລເປສຈາກ *Rhizopus delemar* ທີ່ໄມ່ຕຽງປັບ



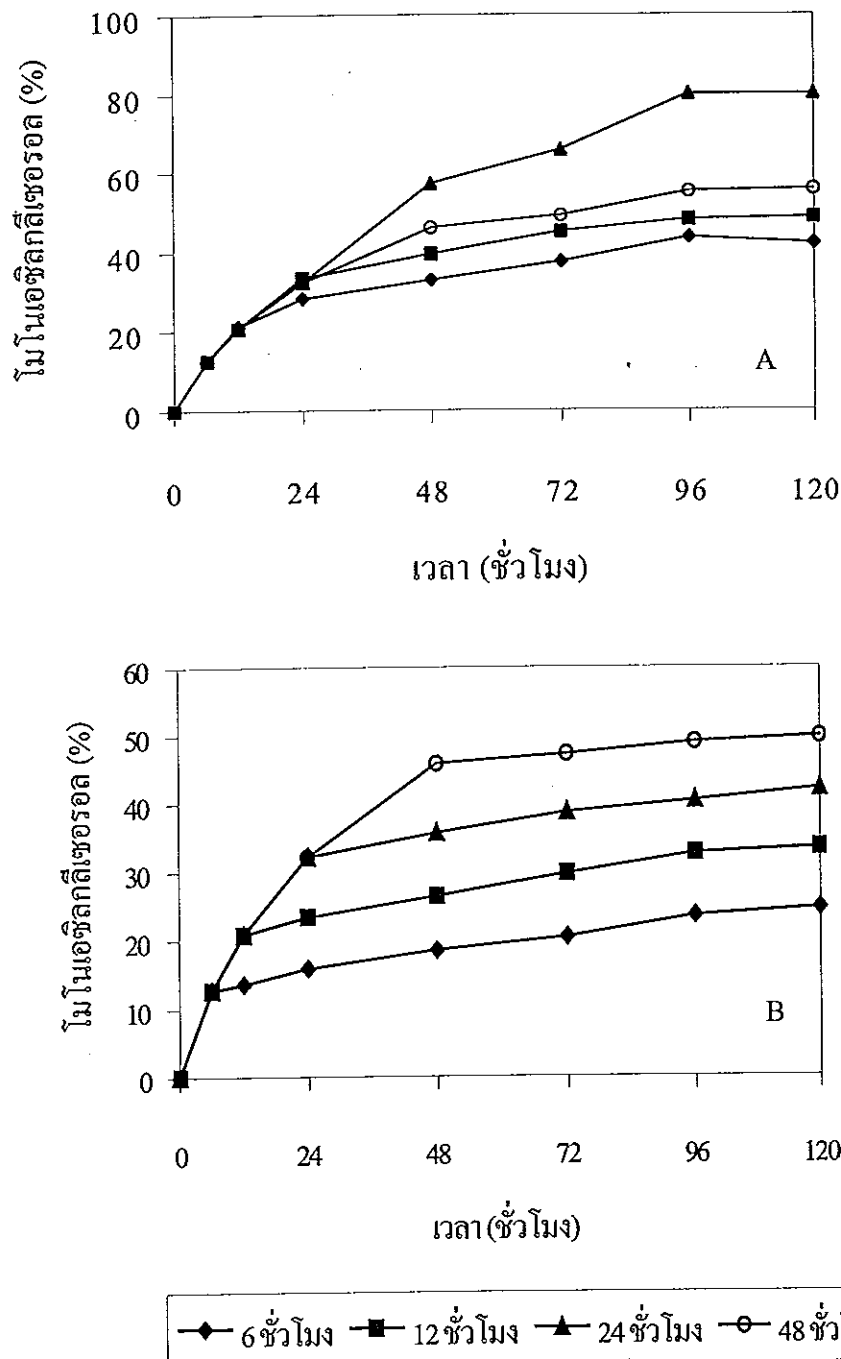
ภาพที่ 13 ผลของอุณหภูมิต่อการผลิตโนโนเอซิลก็อกซีโรลจากน้ำมันปาล์มโดยเอนไซม์ไลเปส LP ตึงรูป  
เอนไซม์ไลเปส LP ตึงรูป



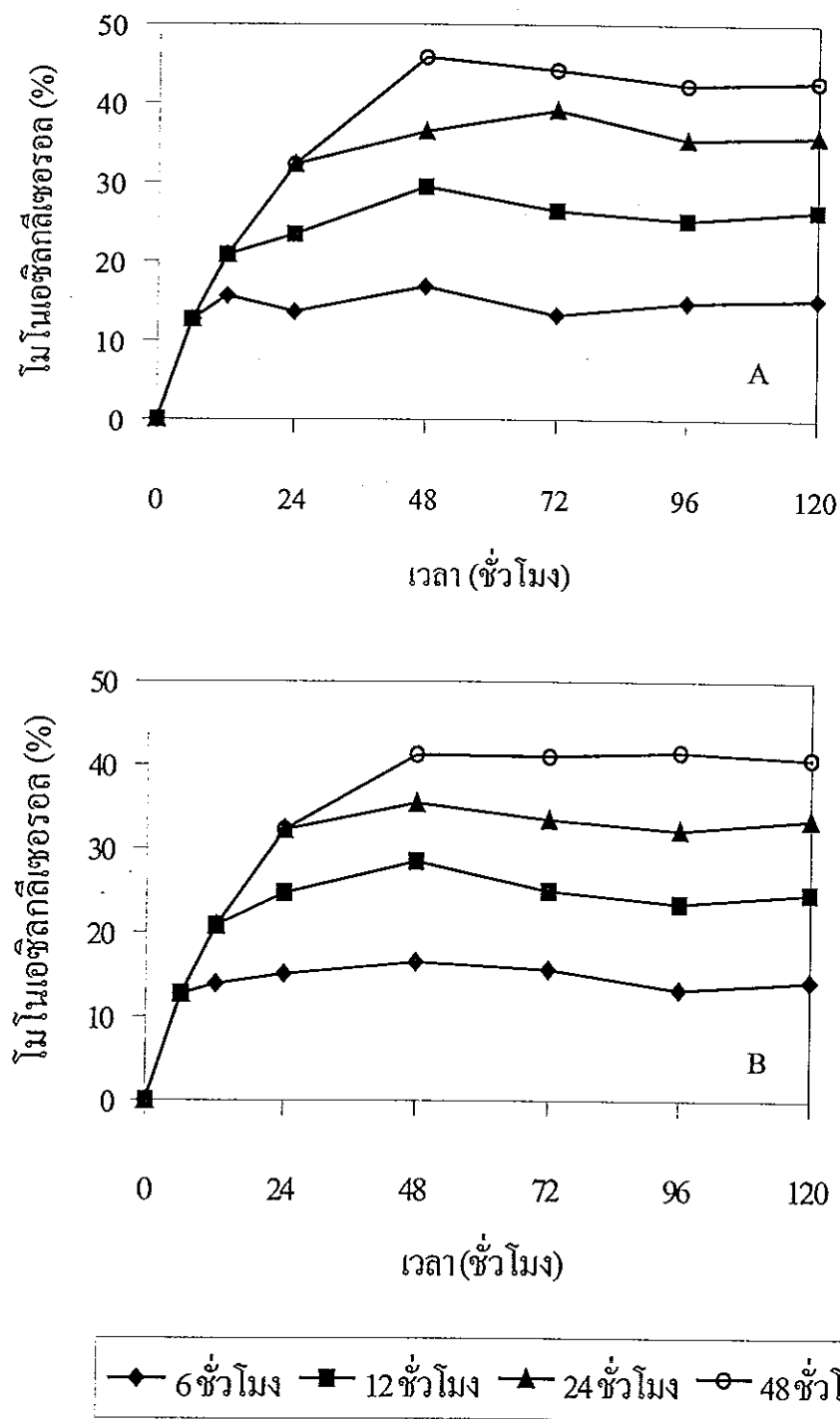
ภาพที่ 14 สารประกอบต่างๆ ที่เกิดจากปฏิกิริยาถีเรอโรไอลซีสของน้ำมันปาล์มโดย  
เออนไซม์ไดเปส LP ตรึงรูป ที่อุณหภูมิ 40 องศาเซลเซียส เป็นเวลา 96 ชั่วโมง

### 5.5 ผลของระยะเวลาการบ่ม

จากการทดลองผลของอุณหภูมิในปฏิกิริยาเกิดปฏิกิริยาได้ดีที่สุด เมื่ออุณหภูมิ 40 องศาเซลเซียสลดลงเหลือ 20 องศาเซลเซียส ผลของการลดลงจะไม่ทำให้ปริมาณไโนเอซิลก็อสตินเพิ่มขึ้น หรือบางครั้งปริมาณไโนเอซิลก็อสตินลดลง เนื่องจากไโนเอซิลก็อสตินที่ถูกผลิตขึ้นมาเปลี่ยนรูปไปเมื่ออุณหภูมิสูง ดังนั้นการทดลองครั้งนี้ได้ทำการทดลองการเกิดปฏิกิริยาเกิดปฏิกิริยาเริ่มต้น 40 องศาเซลเซียส ที่เวลาต่างๆ กัน ดังนี้ 6, 12, 24 และ 48 ชั่วโมง แล้วลดอุณหภูมิเป็น 30, 25, 10 และ 5 องศาเซลเซียส จนครบเวลา 120 ชั่วโมง ผลการทดลองดังแสดงในภาพที่ 15-16 พบว่า การบ่มปฏิกิริยาที่อุณหภูมิ 40 องศาเซลเซียสเป็นเวลา 24 ชั่วโมงแล้วตามด้วยอุณหภูมิ 30 องศาเซลเซียส เป็นเวลา 72 ชั่วโมง จะเกิดไโนเอซิลก็อสตินสูงสุดเท่ากับ 80 เปอร์เซ็นต์ (ภาพที่ 15A) แต่พบว่าอุณหภูมิเริ่มต้นของปฏิกิริยาเป็น 40 องศาเซลเซียส แล้วลดอุณหภูมิเป็น 25, 10 และ 5 องศาเซลเซียส จนครบเวลา 120 ชั่วโมง จะเกิดไโนเอซิลก็อสตินน้อยกว่า (ภาพที่ 15B, 16A-B) การทดลองครั้งนี้ผลการทดลองอธิบายได้ เช่นเดียวกับการทดลองของ McNeill และ คณะ (1990) รายงานว่าเมื่อใช้อุณหภูมิ 50 องศาเซลเซียสทดลองปฏิกิริยาเกิดปฏิกิริยา ไโนเอซิลก็อสติน 30 เปอร์เซ็นต์ แต่เมื่อบ่มปฏิกิริยาที่ 50 องศาเซลเซียสเป็นเวลา 20 ชั่วโมงแล้วลดอุณหภูมิเป็น 40 องศาเซลเซียส จนครบเวลา 50 ชั่วโมง จะให้ปริมาณไโนเอซิลก็อสตินเพิ่มขึ้นเป็น 70 เปอร์เซ็นต์ และการทดลองของ Thude และคณะ (1997) พบว่าปฏิกิริยาเกิดปฏิกิริยา ไโนเอซิลก็อสติน จำกัดการบ่ม โดยใช้อุณหภูมิไโนเอซิลก็อสติน *Chromobacterium viscosum* เริ่มต้นที่ อุณหภูมิ 25 องศาเซลเซียส เป็นเวลา 7 ชั่วโมง แล้วตามด้วยอุณหภูมิ 7 องศาเซลเซียส จนครบเวลา 160 ชั่วโมง เกิดไโนเอซิลก็อสติน 90 เปอร์เซ็นต์



ภาพที่ 15 ผลของระยะเวลาการบ่มต่อการผลิตไมโนเนอซิลกีเซอร์อลจากน้ำมันปาล์มโดยเอ็นไซม์ LP ศรีงูป อุณหภูมireิ่มต้น 40 องศาเซลเซียส เป็นเวลา 6, 12, 24 และ 48 ชั่วโมง และลดอุณหภูมิเป็น 30 องศาเซลเซียส (A) และอุณหภูมิ 25 องศาเซลเซียส (B) จนครบเวลา 120 ชั่วโมง



ภาพที่ 16 ผลของระยะเวลาการบ่มต่อการผลิตไมโนนอซิลก็อเซอรอลจากน้ำมันปาล์มโดยเย็นไชเม LP ตรีจูป อุณหภูมิเริ่มต้น 40 องศาเซลเซียส เป็นเวลา 6, 12, 24 และ 48 ชั่วโมงแล้วลดอุณหภูมิเป็น 10 องศาเซลเซียส (A) และอุณหภูมิ 5 องศาเซลเซียส (B) จนครบเวลา 120 ชั่วโมง

## 6. การนำเอนไซม์ไอลเปสต์ริงรูปกลับมาใช้ใหม่

ศึกษาการนำเอนไซม์ไอลเปส LP ตรึงรูปกลับมาใช้ใหม่โดยการเติมสารละลายน้ำอะซิโตน 100 มิลลิลิตรลงในปฏิกิริยาที่ประกอบด้วยเอนไซม์ไอลเปสต์ริงรูป 15 ยูนิต น้ำมันปาล์ม 7 กรัม กลีเซอรอล 2.84 กรัมที่มีน้ำ 8 เปอร์เซ็นต์ ที่อุณหภูมิ 40 องศาเซลเซียส เป็นเวลา 24 ชั่วโมง แล้วลดอุณหภูมิเป็น 30 องศาเซลเซียส เป็นเวลา 72 ชั่วโมง ละลายสารพิษในปฏิกิริยาให้เป็นเนื้อเดียวกันแล้วกรองเอนไซม์ตรึงรูปออกจากปฏิกิริยา ล้างเอนไซม์อีก 2-3 ครั้งด้วยอะซิโตน แล้วนำเอนไซม์ไอลเปสต์ริงรูปไปทำให้แห้งในโถคุณภาพน้ำที่อุณหภูมิห้องเป็นเวลา 24 ชั่วโมง ก่อนนำไปใช้ในครั้งต่อไป จากการศึกษาพบว่าเอนไซม์ไอลเปสต์ริงรูปที่ผ่านการใช้ในปฏิกิริยากลีเซอโรไลซีสของน้ำมันปาล์มน้ำมันกลับมาใช้ใหม่ได้ 3 ครั้ง (ตารางที่ 16) กิจกรรมการย่อยสลายของเอนไซม์ไอลเปส LP ตรึงรูปลดลงจาก 0.6 ยูนิตต่อมิลลิกรัมตัวพยุงเป็น 0.18 ยูนิตต่อมิลลิกรัมตัวพยุงผลิตไมโนเอซิลกลีเซอรอลได้เท่ากับ 28 เปอร์เซ็นต์ ซึ่งพบว่ากิจกรรมของเอนไซม์ลดลงมากอาจเนื่องมาจากเอนไซม์สูญเสียกิจกรรมระหว่างการแยกออกมานอกปฏิกิริยาหรือเอนไซม์หลุดออกจากตัวพยุง เพราะเอนไซม์เกาะกับตัวพยุงด้วยพันธะที่ไม่แข็งแรง ซึ่งน่าจะมีการศึกษาในขั้นต่อไป การทดลองของ Mojovic และคณะ (1993) พบว่าเอนไซม์ไอลเปส LP จาก *Rhizopus arrhizus* ที่ตรึงบนซีໄลท์นำมาใช้ในปฏิกิริยาอินเทอร์ເօສເທອຣີຟิເຄື່ນຂອງน้ำมันปาล์มเพื่อผลิตໂກໂກບັດເຫວົ້າສາມາດนำมาใช้ได้ 4 ครั้งและสูญเสียกิจกรรมไปมากกว่า 50 ເປົ້ອຮັ້ນຕໍ່

ตารางที่ 16 การนำเข้าใช้มีโลเปสตรีงรูปกลั้มมาใช้ใหม่

จำนวนครั้ง ที่นำเข้าใช้	ในโโนเอชิกลีเซอรอล (%)	กิจกรรมเอนไซม์ที่เหลือ (ยูนิต/มก.ตัวพยุง)
0	80	0.48
1	57	0.25
2	28	0.18
3	11	0.07
4	1.2	0

## บทที่ 4

### สรุป

1. การศึกษากรรมการย่อยสลายน้ำมันปาล์มของเอนไซม์ทางการค้า 5 ชนิด พบว่า เออนไซม์ไอลิปส์ LP จากเชื้อ *Chromobacterium viscosum* มีกิจกรรมจำเพาะสูงสุด 233.0 ยูนิตต่อมิลลิกรัม โปรตีน
2. การคัดเลือกเอนไซม์ไอลิปส์ทางการค้า 5 ชนิด เพื่อผลิตโนโนเอชิกลีเซอรอลจาก การกลีเซอโรไอลิซิสของน้ำมันปาล์ม พบว่าเอนไซม์ไอลิปส์ LP สามารถผลิตโนโนเอชิกลีเซอรอลสูงสุด 70 เปอร์เซ็นต์ ที่อุณหภูมิ 30 องศาเซลเซียส เป็นเวลา 72 ชั่วโมง
3. การศึกษาคุณสมบัติของเอนไซม์ไอลิปส์ LP พบว่าอุณหภูมิและพีเอชที่เหมาะสมต่อ กิจกรรมการย่อยสลายน้ำมันปาล์ม คือ 55 องศาเซลเซียสและ 6.5 ตามลำดับ โดย เออนไซม์มีความคงตัวสูงที่อุณหภูมิต่ำกว่า 40 องศาเซลเซียส
4. การตรึงเอนไซม์ไอลิปส์ LP โดยการดูดซับกับตัวพยุง 6 ชนิด คือ แคตเตอ์ม คาร์บอนเนต แคตเตอ์มชัลเฟต แคตเตอ์มไฟฟอฟอสเฟต ซีไลท์ ซิลิกาเจล และแอคทีฟแอลูมิเนียม พบว่าการตรึงเอนไซม์ไอลิปส์ LP บนซีไลท์และแอคทีฟแอลูมิเนียมให้ค่ากิจกรรมการยึดเกาะสูงสุดเท่ากับ 82.81 และ 80.28 เปอร์เซ็นต์ และมีค่ากิจกรรมการย่อยสลายน้ำมันปาล์มเท่ากับ 0.46 และ 0.45 ยูนิตต่อมิลลิกรัมตัวพยุงตามลำดับ และเมื่อนำเอนไซม์ไอลิปส์ LP ที่ตรึงบนตัวพยุงชนิดต่างๆ มาใช้ในปฏิกริยากลีเซอโรไอลิซิส ของน้ำมันปาล์ม พบว่าเอนไซม์ที่ตรึงบนซีไลท์ให้ปริมาณโนโนเอชิกลีเซอรอลสูงสุด 28.6 เปอร์เซ็นต์ ที่อุณหภูมิ 30 องศาเซลเซียส เป็นเวลา 72 ชั่วโมง
5. สรุปว่าที่เหมาะสมต่อการตรึงเอนไซม์ไอลิปส์ LP บนซีไลท์ คือ ความเข้มข้นของ เออนไซม์ 2.5 มิลลิกรัมต่อมิลลิลิตร อุณหภูมิ 4-30 องศาเซลเซียส และระยะเวลา ในการตรึง 1 ชั่วโมง จะให้ค่ากิจกรรมการยึดเกาะสูงสุด 95.05 เปอร์เซ็นต์ มีกิจกรรมเอนไซม์ที่ถูกตรึงเท่ากับ 0.60 ยูนิตต่อมิลลิกรัมตัวพยุง

6. สภาพที่เหมาะสมของปฏิกริยากลีเซอโรไลซีสของน้ำมันปาล์มโดยเอ็นไซม์ไลเปส LP ตรึงรูป คือ ปริมาณของเอนไซม์ 15 ยูนิต สัดส่วนโมลของกลีเซอรอลต่อน้ำมันปาล์มเท่ากับ 3.7 ปริมาณน้ำในกลีเซอรอล 8 เปอร์เซ็นต์ อุณหภูมิ 40 องศาเซลเซียส เป็นเวลา 24 ชั่วโมง แล้วตามด้วยอุณหภูมิ 30 องศาเซลเซียส เป็นเวลา 72 ชั่วโมง เกิดโมโนเอชิลกลีเซอรอลสูงสุด 80 เปอร์เซ็นต์
7. เอ็นไซม์ไลเปส LP ตรึงรูป เมื่อนำมาใช้ในปฏิกริยากลีเซอโรไลซีสของน้ำมันปาล์ม เป็นครั้งที่ 3 ให้โมโนเอชิลกลีเซอรอลต่ำสุด 28 เปอร์เซ็นต์ และคงเหลือกิจกรรมการย่อยสลายน้ำมันปาล์ม 0.18 ยูนิตต่อมิลลิกรัมตัวพยุง

## เอกสารอ้างอิง

ฉัตรชัย สังข์มุด. 2542. การย่อยถัลยน้ำมันปาล์มโดยเอ็นไนท์เรีย์โดยใช้เอนไซม์ไลเปสต์รีงรูป. วิทยานิพนธ์วิทยาศาสตร์มหาบัณฑิต. มหาวิทยาลัยสงขลานครินทร์.

เกิดชัย วิรุพานิช. 2533. อุตสาหกรรมเคมีภัณฑ์จากน้ำมันปาล์ม. รายงานเศรษฐกิจประจำเดือน เมษายน. ธนาคารกรุงไทย จำกัด : 47-54.

ปราณี อ่านเบรื่อง. 2535. เอนไซม์ทางอาหารตอนที่ 1. พิมพ์ครั้งที่ 2. กรุงเทพฯ : โรงพิมพ์จุฬาลงกรณ์มหาวิทยาลัย.

ไฟจิตร จันทรวงศ์. 2530. คู่มือการใช้ประโยชน์และตรวจสอบคุณภาพของพืชน้ำมันและน้ำมันพืช 52 ชนิด. กรุงเทพฯ: โรงพยาบาลคุรุสภากาชาดพระร้าว.

วุฒิชัย พิชัยยุทธ. 2540. การย่อยถัลยน้ำมันปาล์มโดยเอนไซม์ไลเปสที่ถูกต้อง. วิทยานิพนธ์วิทยาศาสตร์มหาบัณฑิต. มหาวิทยาลัยสงขลานครินทร์.

อาภัสสรา ชุมิดท์. 2537. ลิพิด ใน ชีวเคมี. หน้า 187-217. กรุงเทพฯ. เค.ย. เพลส.

อาภัสสรา ชุมิดท์. 2537. เทคนิคที่สำคัญทางชีวเคมี ใน คู่มือทางชีวเคมี. หน้า 32-56. กรุงเทพฯ. โรงพยาบาลคุรุสภากาชาดพระรัตน์.

Akoh, C.C., Cooper, C. and Nwosu, C.U. 1992. Lipase G-catalyzed synthesis of monoglycerides in organic solvent and analysis by HPLC. JAOCS. 69 : 257-260.

Balcao, V.M., Piava, A.L. and Malcata, F.X. 1996. Bioreactors with immobilized lipase: State of art. Enzyme Microb. Technol. 18 : 392-416.

Bernath, F.R. and Venkatasubramanian, K. 1986. Methods of enzyme immobilization. In Manual of Industrial Microbiology and Biotechnology. pp. 230-247. Tainer, J.M. ed. Washington, D.C: American Society for Microbiology.

Bosley, J.A. 1996. Turning lipase into industrial biocatalysts. Biochem. Soc. Trans. 25 : 174-178.

- Brady, C., Metcalfe, L., Staboszewski, D. and Frak, D. 1988. Lipase immobilized on hydrophobic microporous support for the hydrolysis of fat. JAOCS. 65 : 917-921.
- Bornscheuer, U.T. 1995. Lipase-catalyzed syntheses of monoacylglycerols. Enzyme Microb. Technol. 17 : 578-586.
- Bornscheuer, U.T., Stamatis, H., Xenakis, A., Yamane, T. and Kolisis, F.N. 1994. A comparison of different strategies for lipase-catalyzed synthesis of partial glycerides. Biotechnol. Letters. 16 : 697-702.
- Bornscheuer, U.T. and Yamane, T. 1994. Activity and stability of lipase in the solid-phase glycerolysis of triolein. Enzyme Microb. Technol. 16 : 864-869.
- Cao, S.G., Yang, H., Ma, L. and Guo, S.Q. 1996. Enhancing enzymatic properties by the immobilization method. Appl. Biochem. Biotechnol. 59 : 7-14.
- Castella, M.R., Taipa, M.A. and Cabral, J.M.S. 1995. Kinetic and stability characterization of *Chromobacterium viscosum* lipase and its comparison with *Pseudomonas glumae* lipase. Appl. Biochem. Biotechnol. 61 : 299-313.
- Chang, P.S. and Rhee, J.S. 1991. Continuous glycerolysis of olive oil by *Chromobacterium viscosum* lipase immobilized on liposome in reversed micelles. Biotechnol. Bioeng. 38 : 1159-1165.
- Coteron, A., Martinez, M. and Aracil, J. 1998. Reaction of olive oil and glycerol over immobilized lipases. JAOCS. 75 : 657-660.
- Gandhi, N.N. 1997. Applications of lipase. JAOCS. 74 : 621-634.
- Gilbert, E.J. 1993. *Pseudomonas* lipases: biochemical properties and molecular cloning. Enzyme Microb. Technol. 15 : 634-636.
- Goldberg, M., Thomas, D. and Legoy, M.D. 1990. Water activity as a key parameter of synthesis reaction the example of lipase in biphasic (liquid solid) media. Enzyme Microb. Technol. 12 : 976-981.

- Godtfredsen, S.E. 1993. Lipases. In Enzyme in food Processing 3<sup>rd</sup> ed. (eds. T. Nagodawithana and G. Reed) pp. 205-219. California : Academic Press.
- Hoegh, I., Patkar, S., Halkier, T. and Hansen, M.T. 1995. Two lipases from *Candida antarctica*-cloning and expression in *Aspergillus oryzae*. Can. J. Botan. 73 : S869-S875.
- Hui, Y.H. 1996. Palm oil. In Bailey's Industrial Oil and Fat Products. Vol II : Edible oil and fat : Oil and oilseeds, pp. 271-367. New York : John wiley and sons, INC.
- IUPAC. 1979. Standard Methods for the Analysis of Oils, Fats and Derivatives. 6<sup>th</sup> ed. Part I. Pp. 56-59. Paris : Pergamon Press.
- Jackson, M.A. and King, J.W. 1997. Lipase-catalyzed glycerolysis of soybean oil in supercritical carbon dioxide. JAOCS. 72 : 103-106.
- Kamlangdee, N. and Yamane, T. 1996. Monoglyceride formation from fat by immobilized lipase. Songklanakarin J. Sci. Technol. 18 : 363-370.
- Kang, S.T. and Rhee, J.S. 1989. Effect of solvents on hydrolysis of olive oil by immobilized lipase in reverse phase system. Biotechnol. Letters. 11 : 37-42.
- Kawakami, K. 1996. Enhancement of thermostability of lipase by the sol-gel entrapment into methyl 1-substituted organic silicates form on diatomaceous eart. Biotechnol. Tech. 10 : 491-494.
- Kazlauskas, R.J. and Bornscheuer, U.T. 1997. Biotransformation with lipases. In Biotechnology (eds. H.J. Rehm, G. Reed, A. Puhler, P.J.M. Stadler and D.R. Kelly) Vol. VIII : Biotransformation, pp. 226. Weinheim : VCH Verlagagesellschaft mbH.
- Kenedy, J.F. and Cabral, J.M.S. 1987. Enzyme Immobilization, pp.349-402. In J.F.Kennedy(ed.), Biotechnology. 7a : Enzyme Technology. Fed. Repub. Of Germany, Weinheim.

- Kimura, Y. and Tanaka, A., Somonato, K., Nihira, T. and Fukuki, S. 1983. Application of immobilized lipase to hydrolysis of triacylglyceride. Eur. J. Appl. Microbial. Biotechnol. 17 : 107-122.
- Kosugi, Y. and Tomizuka, N. 1995. Continuous lipolysis reactor with a loop connecting an immobilized lipase column and oil-water separator. JAOCS. 72 : 1329-1332.
- Kosugi, Y., Takahashi, K. and Lopez, C. 1995. Large-scale immobilization of lipase from *Pseudomonas fluorescens* biotype I and an application for sardine oil hydrolysis. JAOCS. 72 : 1281-1285.
- Kwon, D.Y. and Rhee, J.S. 1986. A simple and rapid calorimetric method for determination of free fatty acid for lipase assay. JAOCS. 63 : 89-95.
- Kwon, D.Y., Song, H.N. and Yeon, S.H. 1996. Synthesis of medium-chain glycerides by lipase in organic solvent. JAOCS. 73 : 1521-1525.
- Kwon, S.J., Han, J.J. and Rhee, J.S. 1995. Production and *in situ* separation of mono- or diacylglycerol catalyzed by lipase in n-hexane. Enzyme Microb. Technol. 17 : 700-704.
- Lee, S.Y. and Rhee, J.S. 1993. Production and partial purification of a lipase from *Pseudomonas putida* 3SK. Enzyme Microb. Technol. 15 : 617-623.
- Li, Y. Z. and Ward, O.P. 1993. Synthesis of monoglyceride containing omega-3 fatty acids by microbial lipase in organic solvent. JAOCS. 70 : 745-748.
- Lowry, O.H., Rosebrough, N.J., Farr, L.A. and Randall, R.J. 1951. Protein measurement with the folin phenol reagent. J. Biol. Chem. 193 : 265-275.
- Macrae, A.R. 1983. Lipase-catalyzed interesterification of oils and fat. JAOCS. 61 : 1067-1071.
- Malcata, F.X., Reyes, H.R., Garcia, H.S., Hill, C.G. and Amundson, C.H. 1992. Kinetics and mechanisms of catalyzed by immobilized lipases. Enzyme Microb. Technol. 14 : 426-446.

- Maclellan, M. 1983. Palm Oil. JAOCS. 60 : 320-325.
- McNeill, G.P., Shimizu, S. and Yamane, T. 1990. Solid phase enzymatic glycerolysis of beef tallow resulting in a high yield monoglycerol. JAOCS. 67 : 779-783.
- McNeill, G.P. and Yamane, T. 1991. Further improvements in the yield of monoglycerides during enzymatic glycerolysis of fat and oil. JAOCS. 68 : 6-10.
- McNeill, G.P., Shimuzu, S. and Yamane, T. 1991. High-yield enzymatic glycerolysis of fats and oils. JAOCS. 68 : 1-5.
- Millqvist, A., Adlercreutz, P. and Mattiasson, B. 1994. Lipase catalyzed alcoholysis of triglycerides for the preparation of 2-monoglycerides. Enzyme Microb. Technol. 16 : 1042-1047.
- Mojovic, L., Marinkovic, S.S., Kukic, G. and Novakovic, G.V. 1993. *Rhizopus arrhizus* lipase catalyzed interesterification of the midfraction of palm oil to a cocoa butter equivalent fat. Enzyme Microb. Technol. 15 : 438-443.
- Montero, S., Blanco, A., Virtro, D.M., Landata, C.L., Agud, I., Solozabal, R., Lascarry, M.L., Robobales, D.M., Lama, J.M. and Serra, L.J. 1993. Immobilization of *Candida rugosa* lipase and some properties of the immobilized enzyme. Enzyme Microb. Technol. 15 : 239-247.
- Mukherjee, K.D. 1990. Lipase-catalyzed reactions for modification of fats and other lipids. Biocatalysis 3 : 277-293.
- Myrnes, B., Barstad, H., Olsen, R.L. and Elvevoll, E.O. 1995. Solvent-free enzymatic glycerolysis of marine oil. JAOCS. 72 : 1339-1344.
- Ohta, Y., Yamane, T. and Shimuzu, S. 1989. Inhibition and inactivation of lipase by fat peroxide in the course of batch and continuous glycerolyses of fat by lipase. Agric. Biol. Chem. 53 : 1885-1890.
- Okumura, S., Iwai, M. and Tsujisaka, Y. 1981. The effect of reverse action on triglyceride hydrolysis by lipase. Agric. Biol. Chem. 45 : 180-189.

- Otero, O.H., Rosebrough, N.J., Farr, A.L. and Randall, R.J. 1990. Influence of the support on the reaction course of tributyrin hydrolysis catalyzed by soluble and immobilized lipase. *Appl. Biochem. Biotechnol.* 23 :237-247.
- Patel, M.T., Nagarajan, R. and Kilara, A. 1995. Characteristics of lipase-catalyzed hydrolysis of triglycerols in aerosol-ot/iso-octane reverse-micellar media. *Appl. Biochem. Biotechnol.* 22 : 1-14.
- Perin, D.D. and Dempsey, B. 1974. Buffer for pH and Metal Ion Contral. London : Chapman and Hall.
- Prazeresb, D.M.F., Garcia, F.A.P. and Calbral, J.M.S. 1992. Kinetics and stability of a *Chromobacterium viscosum* lipase in reverse micellar and aqueous media. *J. Chem. Tech. Biotechnol.* 53 : 159-164.
- Rosu, R., Uozaki, Y., Iwasaki, Y. and Yamane, T. 1997. Repeated use of immobilized lipase for monoacylglycerol production by solid-phase glycerolysis of olive oil. *JAOCS.* 74 : 445-450.
- Schwimmer, S. 1981. Source Book of Food Enzymology. Westport Connecticut: The AVI Publishing Company, INC.
- Shahani, K.M. 1975. Lipase and esterase. In *Enzyme in Food Processing.* 2<sup>nd</sup> ed. (ed. G. Reed) pp. 181-217. New York : Academic Press.
- Shaw, J.F. and Wang, D.L. 1991. Lipase catalyzed ethanolysis and isopropanolysis of triglycerides with long-chain fatty acid. *Enzyme Microb. Technol.* 13 : 544-546.
- Shaw, J.F., Chang, R.C., Wang, F.F. and Wang Y. S. 1989. Lipolytic activity of a lipase immobilized on six selected supporting material. *Biotechnol. Bioeng.* 35 : 132-137.
- Sontag. 1982. In *Bailey's Industrial Oil and Fat Products.* Vol II : Edible oil and fat : Oil and oilseeds, pp. 134-144. New York : John wiley and sons, INC.

- Stevenson, D.E., Stanley, R.A. and Furneaux, R.H. 1993. Glycerolysis of tallow with immobilized lipase. *Biotechnol. Lett.* 15 : 1043-1048.
- Suree, P. and Pawinee, K. 1992. Immobilization of lipase on various supports and its activity in water poor media. *In Chem* 10-010. Chiang Mai University.
- Tanaka, M., Itoh, T. and Kancko, H. 1980. Quantitative determination of isomeric glycerides, free fatty acids and triglycerides by thin layer chromatography flame ionization detector system. *Lipids.* 15 : 872-875.
- Thude, S., Shukun, L., Said, M.B. and Bornscheuer, U.T. 1997. Lipase-catalyzed synthesis of monoacylglyceride by glycerolysis of camphor tree seed oil. *J. CA Section.* 99 : 246-250.
- Tuter, M., Arat, F., Dandik, L. and Aksoy, H.A. 1998. Solvent-free glycerolysis of sunflower oil and anchovy oil catalyzed by a 1,3-specific lipase. *Biotechnol. Lett.* 20 : 291-294.
- Tuter, M., Babah, B., Koese, O., Dural, S. and Aksoy, H.A. 1999. Solvent-free glycerolysis of palm and palm kernel oils catalyzed by a 1,3-specific lipase and fatty acid composition of glycerolysis product. *Biotechnol. Lett.* 21 : 245-248.
- Vercraragaran, K. and Gibbs, B.F. 1989. Detection and partial purification of two lipase from *Candida rugosa*. *Biotechnol Lett.* 11 : 345-348.
- Wang, X. and Ruckenstein, E. 1993. Lipase immobilized on hydrophobic porous polymer supports prepared by concentrated emulsion polymerization and their activity in the hydrolysis of triglycerides. *Biotechnol. Bioeng.* 42 : 821-828.
- Yamane, T. 1987. Enzyme technology for the lipid industry : An engineering overview. *JAOCS.* 64 : 1657-1661.
- Yamane, T., Mohammad, M.H., Itoh, S. and Shimizu, S. 1986. Glycerolysis of fat by lipase. *Jpn. Oil Chem. Soc.* 8 : 625-631.

Yang, B., Harper, W.J. and Parkin, K.L. 1993. Control of lipase-mediated glycerolysis reaction with butter oil in dual liquid phase media devoid of organic solvent. *J. Agric. Food Chem.* 41 : 1905-1909.

Yang, B. and Parkin, K.L. 1994. Monoacylglycerol production from butter oil by glycerolysis with a gel-entrapped microbial lipase in microaqueous media. *J. Food Sci.* 59 :47-52

## ภาคผนวก

### ภาคผนวก ก

#### วิธีการวิเคราะห์

##### 1. การวิเคราะห์ปริมาณโปรตีน ตามวิธี Lowry (Lowry, et al., 1951)

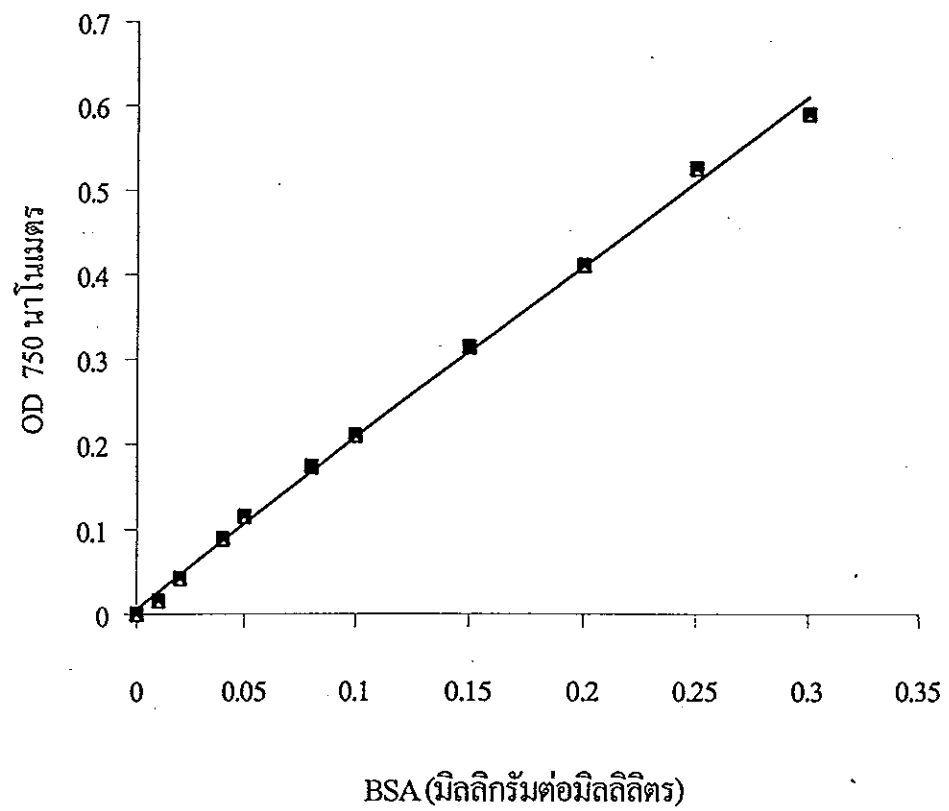
สารเคมีที่ใช้วิเคราะห์

1. สารละลายน้ำ A : 1% (W/V) คอปเปอร์ซัลเฟต ( $\text{CuSO}_4 \cdot \text{H}_2\text{O}$ )
2. สารละลายน้ำ B : 2% (W/V) โซเดียมโพแทสเซียมทาร์เตต (Sodium potassium tartrate)
3. สารละลายน้ำ C : 0.2 มอลาร์ โซเดียมไฮดรอกไซด์ (Sodium hydroxide)
4. สารละลายน้ำ D : 4% (W/V) โซเดียมคาร์บอนเนต (Sodium carbonate)
5. Folin-Ciocalteau reagent

#### วิธีการวิเคราะห์

1. เตรียมสารละลายน้ำ E โดยผสมสารละลายน้ำ C 49 มิลลิลิตรกับสารละลายน้ำ D 49 มิลลิลิตร แล้วเติมสารละลายน้ำ A 1 มิลลิลิตร จากนั้นจึงใส่สารละลายน้ำ B 1 มิลลิลิตร สารละลายน้ำ E ต้องเตรียมใหม่ทุกครั้งก่อนทำการทดลอง
2. เจือจาง Folin-Ciocalteau reagent ในอัตราส่วน 1:1 ด้วยน้ำกลั่นเรียกว่าสารละลายน้ำ F
3. ใช้สารตัวอย่างที่ต้องการหาปริมาณโปรตีน 1.0 มิลลิลิตร เติมสารละลายน้ำ E 2.5 มิลลิลิตร เขย่าให้เข้ากันทึบไว้นาน 10 นาที
4. ใส่สารละลายน้ำ F 0.5 มิลลิลิตรลงไปในหลอดในข้อ 3
5. เขย่าให้เข้ากันและตั้งทึบไว้ 30 นาที
6. วัดค่าการดูดกลืนแสงที่ 750 นาโนเมตร โดยใช้สารละลายน้ำฟเฟอร์ที่เตรียมตัวอย่างเป็น blank โดยทำตามขั้นตอน 3-6

7. เตรียมกราฟโปรตีนมาตรฐานโดยใช้ BSA ความเข้มข้น 0.01-0.3 มิลลิกรัม ต่อมิลลิลิตรตามขั้นตอน 3-6 โดยใช้สารละลายโปรตีนแทนสารตัวอย่างสำหรับวิเคราะห์
8. นำข้อมูลมาเตรียมกราฟมาตรฐานระหว่างการดูดกลืนแสงกับปริมาณโปรตีน (BSA) ดังแสดงในภาคผนวก ก 1



ภาพภาคผนวก ก1 グラฟมาตรฐานของโปรตีน

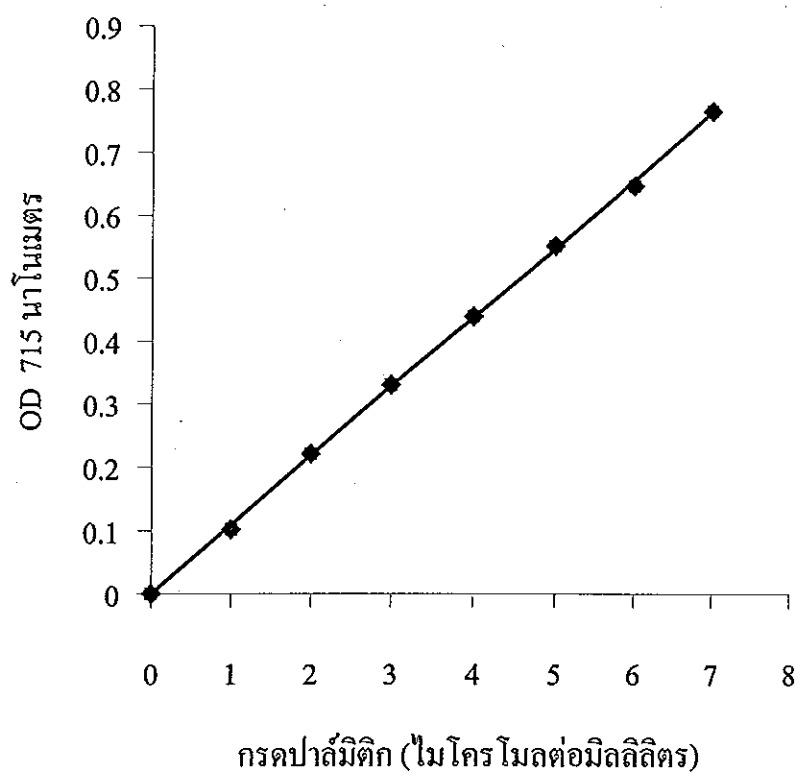
## 2. การเตรียมกราฟมาตรฐานของกรดปานีมิติก

### สารเคมีที่ใช้ในเคราะห์

สารละลายน้ำ cupric acetate-pyridine reagent เตรียมโดยชั่ง cupric acetate ( $C_4H_6CuO_4 \cdot H_2O$ ) 50 กรัม ละลายในน้ำกลั่น 850 มิลลิลิตร กรองส่วนที่ไม่ละลายออก ปรับพิอิจให้ได้เท่ากับ 6.1 โดยใช้ไพริดีน (pyridine) ปรับปริมาตรสุดท้ายเท่ากับ 1 ลิตร ด้วยน้ำกลั่น

### วิธีการวิเคราะห์

1. ชั่งปานีมิติกที่มีความบริสุทธิ์สูง (extra pure) 0.2564 กรัม ละลายในไอโซออกเทน แฟ่นอ่างควบคุมอุณหภูมิ 60 องศาเซลเซียสเพื่อช่วยในการละลาย เมื่อละลาย หมดปรับปริมาตรสุดท้ายเท่ากับ 100 มิลลิลิตร ด้วยขวดปริมาตร (จะได้กรดปานีมิติกเข้มข้นเท่ากับ 10 ไมโครโมลต์/มิลลิลิตร)
2. นำสารละลายน้ำที่เตรียมได้ในข้อที่ 1 ปริมาตร 1, 2, 3, 4, 5, 6, 7 และ 8 มิลลิลิตร ปรับปริมาตรด้วยไอโซออกเทนให้ได้ปริมาตรสุดท้ายเท่ากับ 10 มิลลิลิตร
3. เติมสารละลายน้ำ cupric acetate-pyridine reagent ปริมาตร 4 มิลลิลิตร ผสมให้เข้ากันทั่วไปแล้วชั่ง
4. ดูดสารละลายน้ำที่ได้เขียนกราฟมาตรฐานระหว่างการดูดกลืนแสงที่ 715 นาโนเมตร โดยใช้ไอโซออกเทนเป็น Blank
5. นำข้อมูลที่ได้เขียนกราฟมาตรฐานระหว่างการดูดกลืนแสงกับความเข้มข้นของกรดปานีมิติกดังแสดงในภาพหน้าก 2



ภาพภาคผนวก ก3 กราฟมาตรฐานของกรดปาล์มิติก

### 3. การวิเคราะห์ค่าสปอนนิฟิเคชัน (saponification value) ตามวิธีของ IUPAC (1979)

#### สารเคมีที่ใช้วิเคราะห์

1. สารละลายนอกออยดอลิก โพแทสเซียมไออกอิไซด์ความเข้มข้น 0.5 นอร์มอล (ภาคผนวก ๑)
2. สารละลายกรดไออกอิคลอริกความเข้มข้น 0.5 นอร์มอล (ภาคผนวก ๑)
3. สารละลายฟีโนฟทาลีน ความเข้มข้น 1 เปอร์เซ็นต์ (ภาคผนวก ๑)

#### วิธีการวิเคราะห์

1. ชั่งตัวอย่างน้ำหนักเท่ากับ 2 กรัม ใส่ในขวดกลั้นที่แห้งและสะอาด
2. เติมสารละลายนอกออยดอลิก โพแทสเซียมไออกอิไซด์ 25 มิลลิลิตร โดยใช้ปีเปตและเติมถูกแก้ว
3. จัดเครื่องกลั้นพร้อมเปิดน้ำหล่อชุดควบแน่น รีฟลักษ์สารละลายน้ำ (ให้เดือดเบาๆ) นาน 1 ชั่วโมง
4. นำขวดใส่สารละลายนอกจากอุปกรณ์ความแน่นของชุดกลั้น
5. เติมฟีโนฟทาลีน 5 หยด และไวเตรทด้วยสารละลายกรดไออกอิคลอริก
6. เตรียมและไวเตรท blank เซ่นเดียวกับตัวอย่าง
7. คำนวณค่าสปอนนิฟิเคชันจากสูตร

$$\text{ค่าสปอนนิฟิเคชัน} = \frac{(B-A) \times N \times 56.1}{W}$$

โดย

B = ปริมาตรสารละลายกรดไออกอิคลอริกที่ใช้ไวเตรทกับ black (มิลลิลิตร)

A = ปริมาตรสารละลายกรดไออกอิคลอริกที่ใช้ไวเตรทกับตัวอย่าง (มิลลิลิตร)

N = ความเข้มข้นสารละลายกรดไออกอิคลอริก (นอร์มอล)

W = น้ำหนักตัวอย่าง (กรัม)

การประมาณค่าน้ำหนักโมเลกุลของน้ำมันปาล์ม

ค่าสปอนิฟิเคชั่นของน้ำมันปาล์มเท่ากับ 200.18

ค่าสปอนิฟิเคชั่น คือ จำนวนมิลลิกรัมของ KOH ที่ทำปฏิกิริยาพอดีกับกรดไขมันในน้ำมัน 1 กรัม

KOH มีน้ำหนักโมเลกุลเท่ากับ 56.11

การคำนวณ

KOH	55.11	กรัม	เท่ากับ	1	ไมล
-----	-------	------	---------	---	-----

KOH	200.17	มิลลิกรัม	เท่ากับ	$\frac{1 \times 200.17}{56.11 \times 1000}$	= 0.00357	ไมล
-----	--------	-----------	---------	---	-----------	-----

KOH	3.57	มิลลิไมล	ทำปฏิกิริยาพอดีกับกรดไขมัน	3.57	มิลลิไมล
-----	------	----------	----------------------------	------	----------

กรดไขมัน	3	ไมล	มาจากน้ำมันปาล์ม	1	ไมล
----------	---	-----	------------------	---	-----

กรดไขมัน	3.57	มิลลิไมล	มาจากน้ำมันปาล์ม	$\frac{1 \times 3.57}{3}$	= 1.19	มิลลิไมล
----------	------	----------	------------------	---------------------------	--------	----------

น้ำมันปาล์ม	1.19	มิลลิไมล	เท่ากับ	1	กรัม
-------------	------	----------	---------	---	------

น้ำมันปาล์ม	1000	มิลลิไมล	เท่ากับ	$\frac{1 \times 1000}{1.19}$	= 840.33	กรัม
-------------	------	----------	---------	------------------------------	----------	------

ดังนั้นน้ำมันปาล์มน้ำหนักโมเลกุลประมาณ 840.33 กรัม

#### 4. การหาค่ามาตรฐานของสารประกอบกลีเซอไรด์

##### สารเคมีที่ใช้วิเคราะห์

1. สารประกอบกลีเซอไรด์ (tripalmitin, triolein, 1,2-dipalmitoyl-sn-glycerol, 1,3-dipalmitoyl-sn-glycerol, palmitic acid, oleic acid, 1-monopalmitoyl rac-glycerol, 1-monooleoyl rac-glycerol) มาตรฐาน
2. 3 % กรดบอริก
3. คลอโรฟอร์ม
4. กรดอะซิติก
5. เบนซีน

##### วิธีการวิเคราะห์

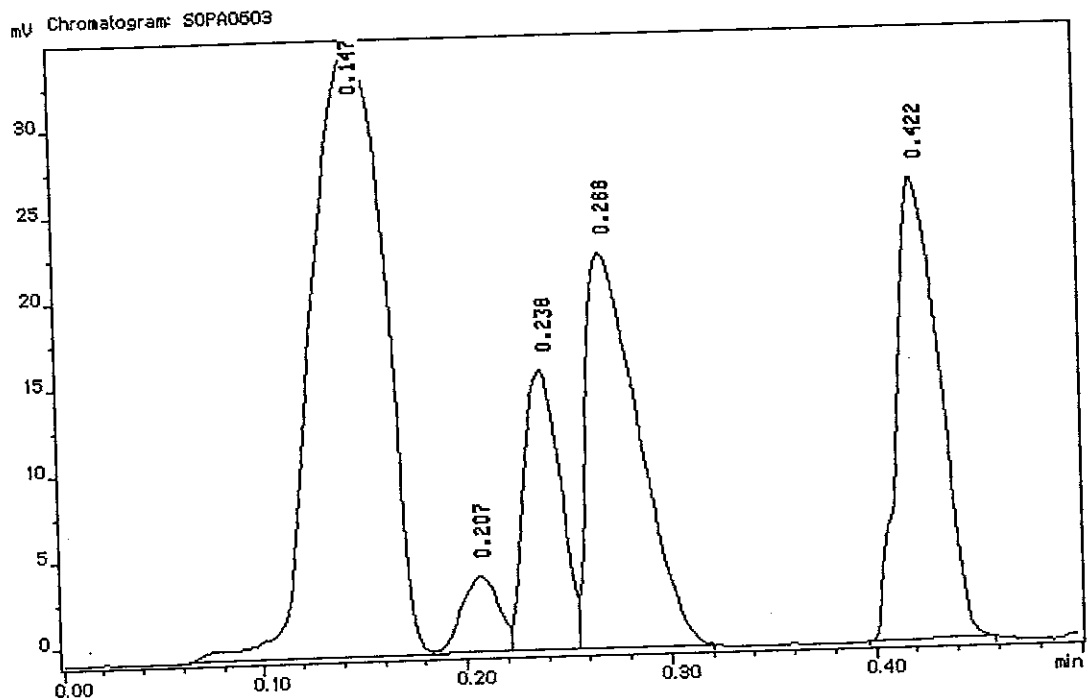
1. ละลายสารประกอบกลีเซอไรด์มาตรฐานความเข้มข้น 0.1 มิลลิกรัมต่อ มิลลิลิตรด้วยคลอโรฟอร์ม และเจือจางเป็น 100 เท่า

2. เตรียม quartz rod (Chromarod S-III) โดยแช่ใน 3% กรดบอริกเป็นเวลา 3 นาที อบแห้งที่อุณหภูมิ 105 องศาเซลเซียส ประมาณ 5 นาที นำไปทำ blank scan ด้วย เครื่อง Iatroskan MK-5 ภายใต้สภาวะ 30 วินาทีต่อสแกน การไฟลของอากาศเท่ากับ 2000 มิลลิลิตรต่อนาที การไฟลของแก๊สไฮโดรเจนเท่ากับ 160 มิลลิลิตรต่อนาที

3. หยดสารละลายสารประกอบกลีเซอไรด์มาตรฐาน 1-3 ไมโครลิตรบน quartz rods นำไปแช่ในสารตัวทำละลายที่มีสารผสมระหว่าง เบนซีน : คลอโรฟอร์ม : กรดอะซิติก (70 : 30 : 2) จนกระทั่งความสูงของสารตัวทำละลายสูงประมาณ 10 เซนติเมตร

4. นำ quartz rod ไปอุ่นแห้งที่ 105 องศาเซลเซียส ประมาณ 5 นาที อีกครั้ง แล้วนำไปสแกนภายใต้สภาวะเดียวกับ blank scan

5. อ่านผลการวิเคราะห์จากโปรแกรม ChromStar light ผลการทดลองจะแสดง ในรูปเปอร์เซ็นต์ peak ดังภาพ ผนวก ก3



TAG      FFA    1,3-DAG    1,2-DAG      MAG

Peak- No.	Ret.Time (min)	Pk.Start (min)	Pk.End (min)	Area	Height (mV)	Area%
1	0.147	0.063	0.183	45735	35.32	45.41
2	0.207	0.183	0.222	2965	4.43	2.94
3	0.238	0.222	0.255	10575	16.25	10.50
4	0.268	0.255	0.320	21131	23.06	20.98
5	0.422	0.397	0.458	20306	26.88	20.16
Totals:				100713	105.95	100.00

ภาพผนวก ก 3 ค่า Retention time ของสารประกอบกลีเซอไรด์มานาตรฐาน

**สารประกอบต่างๆ ในน้ำมันปาล์มโอลีน**

สารประกอบ	ปริมาณ (%)
TAG	90.5
1,3-DAG	6.2
1,2-DAG	3.0
MAG	0
FFA	1.2
รวม	100

## ภาคผนวก ข

### การเตรียมสารเคมีที่ใช้วิเคราะห์

#### 1. การเตรียมสารคละลাযซิเตรทบัพเพอร์ ความเข้มข้น 0.1 ไมลาร์

(Perin and Dempsey, 1974)

เตรียมได้จากการผสมสารคละลाय A กับสารคละลाय B ตามพื้อเชที่ต้องการ

สารคละลाय A : 0.1 M citric acid ( $C_6H_8O_7 \cdot 2H_2O$  21.01 กรัมในน้ำกลั่น 1 ลิตร)

สารคละลाय B : 0.1 M sodium citrate (trisodium citrate  $2H_2O \cdot Na_3C_3H_5O_7 \cdot 2H_2O$

29.41 กรัมในน้ำ 1 ลิตร) และไม่ควรใช้เกลือ sodium citrate ชนิดที่มี  $5.5 H_2O$

พื้อเช	สารคละลায A (มิลลิลิตร)	สารคละลায B (มิลลิลิตร)
3.2	43.7	6.3
3.4	40.0	10.0
3.6	37.0	13.0
3.8	35.0	15.0
4.0	33.0	17.0
4.2	31.5	18.5
4.4	28.0	22.0
4.5	26.7	23.3
4.6	25.5	24.5
4.8	23.0	27.0
5.0	20.5	29.5
5.2	18.0	32.0
5.4	16.0	34.0
5.5	14.8	35.2
5.6	13.7	36.3
5.8	11.8	38.2
6.0	9.5	40.5

2. การเตรียมสารละลายนอกบีฟเฟอร์ ความเข้มข้น 0.1 มิลลาร์

(Perin and Dempsey, 1974)

เตรียมสารผสมสารละลายน A และ B ตามพื้อที่ต้องการ

สารละลายน A : 0.1 M monobasic sodium phosphate ( $\text{NaH}_2\text{PO}_4 \cdot 2\text{H}_2\text{O}$ ) 15.605  
กรัมในน้ำกลั่น 1 ลิตร)

สารละลายน B : 0.1 M dibasic sodium phosphate ( $\text{Na}_2\text{HPO}_4 \cdot 2\text{H}_2\text{O}$ ) 17.805  
กรัมในน้ำกลั่น 1 ลิตร)

พื้อที่	สารละลายน A (มิลลิลิตร)	สารละลายน B (มิลลิลิตร)
6.0	87.7	12.3
6.1	85.0	15.0
6.2	81.5	18.5
6.3	77.5	22.5
6.4	73.5	26.5
6.5	68.5	31.5
6.6	62.5	37.5
6.7	56.5	43.5
6.8	51.0	49.0
6.9	45.0	55.0
7.0	39.0	61.0
7.1	33.0	67.0
7.2	28.0	72.0
7.3	23.0	77.0
7.4	19.0	81.0
7.5	16.0	84.0
7.6	13.0	87.0
7.7	10.5	90.5
7.8	8.5	91.5
7.9	7.0	93.0
8.0	5.3	94.7

**3. การเตรียมและหาความเข้มข้นมาตรฐานของสารละลายน้ำกรดไฮโดรคลอริก ความเข้มข้น 0.5 นอร์มอล**

**วิธีเตรียม**

เติมกรดไฮโดรคลอริกเข้มข้น ปริมาตร 45 มิลลิลิตร ลงในขวดวัดปริมาตรขนาด 1 ลิตร ปรับปริมาตรด้วยน้ำกลั่นให้ครบ 1 ลิตร แล้วเบี่ยงให้เข้ากัน

**วิธีการหาความเข้มข้นมาตรฐาน**

ชั่งโซเดียมเทตราบอเรต (Borax :  $\text{Na}_2\text{B}_4\text{O}_7 \cdot 10 \text{H}_2\text{O}$ ) ให้ได้น้ำหนักแน่นอน 2.0 กรัม ใส่ลงในฟลาสก์ขนาด 250 มิลลิลิตร ละลายด้วยน้ำกลั่นปริมาณ 50 มิลลิลิตร เติม เมทิลเรด 3 หยด (เป็นอินดิเคเตอร์) นำไปปั๊บเทราทกับสารละลายน้ำกรดไฮโดรคลอริกที่เตรียมไว้ ที่จุดยุติสารละลายจะเปลี่ยนเป็นสีชมพู สามารถคำนวณความเข้มข้นที่แน่นอน ของกรดไฮโดรคลอริกได้จากสูตร

$$\text{ความเข้มข้น (นอร์มอล)} = \frac{\text{น้ำหนักของโซเดียมเทตราบอเรต (กรัม)}}{\text{ปริมาตรสารละลายน้ำกรดที่ใช้ปั๊บเทรา (มิลลิลิตร)} \times 0.1907}$$

**4. การเตรียมและหาความเข้มข้นมาตรฐานของสารละลายโซเดียมไฮดรอกไซด์ ความเข้มข้น 0.5 นอร์มอล**

**วิธีเตรียม**

ชั่งโซเดียมไฮดรอกไซด์น้ำหนัก 4 กรัม ละลายในน้ำกลั่นปรับปริมาตรในขวดวัดปริมาตรให้ได้ 1 ลิตร จากนั้นเจือจางด้วยน้ำกลั่น 2 เท่า จะได้สารละลายโซเดียมไฮดรอกไซด์ความเข้มข้น 0.5 นอร์มอล เก็บสารละลายโซเดียมไฮดรอกไซด์ ในขวดพลาสติก

### วิธีการหาความเข้มข้นมาตรฐาน

นำโพแทสเซียมเอซิดพาทาเลท (Potassium acid phthalate :  $\text{KHC}_8\text{H}_4\text{O}_4$ ) ไปอบที่อุณหภูมิ 120 องศาเซลเซียส นาน 2 ชั่วโมง แล้วทำให้เย็นโดยนำไปวางในโถดูดความชื้นซึ่งน้ำหนักให้ได้แน่นอน 0.4 กรัม ใส่ลงในฟลากก้นนาด 250 มิลลิลิตร เติมน้ำกลั่นที่ปลอดภัยร้อนไฮดรอกไซด์ ใช้สารละลายฟีโนฟทาลีนเป็นอินดิกเตอร์ คำนวณความเข้มข้นมาตรฐานของสารละลายโซเดียมไฮดรอกไซด์ได้จากสูตร

$$\text{ความเข้มข้นของสารละลายโซเดียมไฮดรอกไซด์} = \frac{\text{น้ำหนักโพแทสเซียมเอซิดพาทาเลท (กรัม)}}{\text{ปริมาตรสารละลายค้างที่ใช้ได้}} \times 100$$

5. การเตรียมสารละลายแอลกอฮอลิกโพแทสเซียมไฮดรอกไซด์ ความเข้มข้น 0.5 นอร์มอล ซึ่งโพแทสเซียมไฮดรอกไซด์ 40 กรัม ละลายน้ำกลั่น 20 มิลลิลิตร ปรับปริมาตรให้ครบ 1 ลิตร ด้วยเอทานอล (95 เปอร์เซ็นต์) สารละลายที่ได้ควรจะมีสีเหลืองฟางหรือไม่มีสี สารละลายที่เตรียมได้ทิ้งไว้ 5 วันก่อนนำไปใช้

6. การเตรียมสารละลายฟีโนฟทาลีน ความเข้มข้น 1 เปอร์เซ็นต์

ซึ่งฟีโนฟทาลีน 1 กรัม ละลายในเอทานอล (95 เปอร์เซ็นต์) ปริมาตร 100 มิลลิลิตร

## ประวัติผู้เขียน

ชื่อ นางสาวโสภา พรมดวง

วัน เดือน ปีเกิด 4 ธันวาคม 2516

### วุฒิการศึกษา

วุฒิ	ชื่อสถานบัน	ปีที่สำเร็จการศึกษา
วิทยาศาสตรบัณฑิต (จุลชีววิทยา)	มหาวิทยาลัยสงขลานครินทร์	2538

### ทุนการศึกษา (ที่ได้รับในระหว่างการศึกษา)

ทุนการศึกษาจากสำนักงานพัฒนาวิทยาศาสตร์และเทคโนโลยีแห่งชาติ

### ประสบการณ์การทำงาน

พ.ศ. 2539-2540 ผู้ช่วยวิจัยโครงการภูมิคุ้มกันโรคในสัตว์น้ำ สูนย์วิจัยสุขภาพสัตว์  
น้ำ มหาวิทยาลัยสงขลานครินทร์